

Fig. 7B

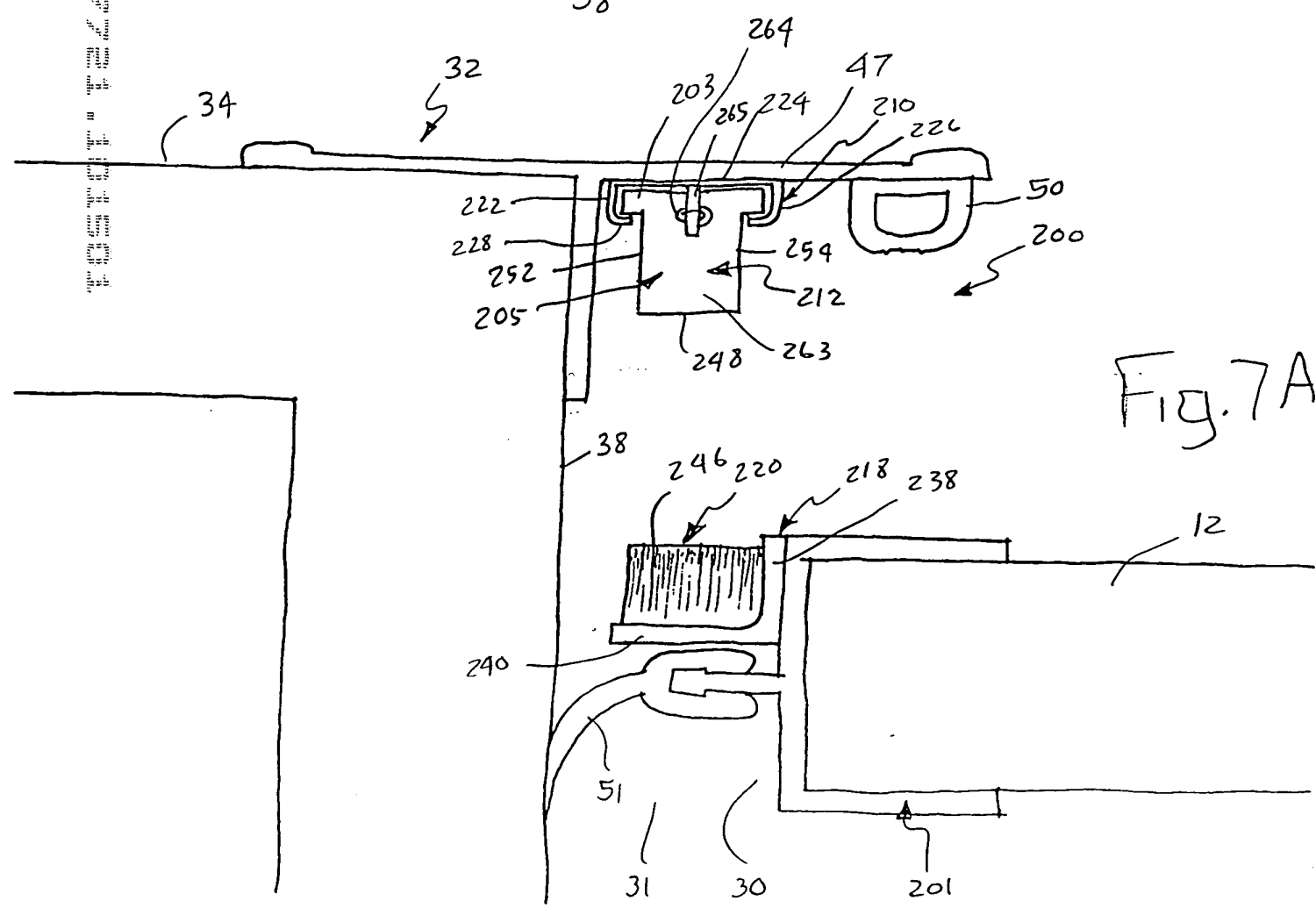
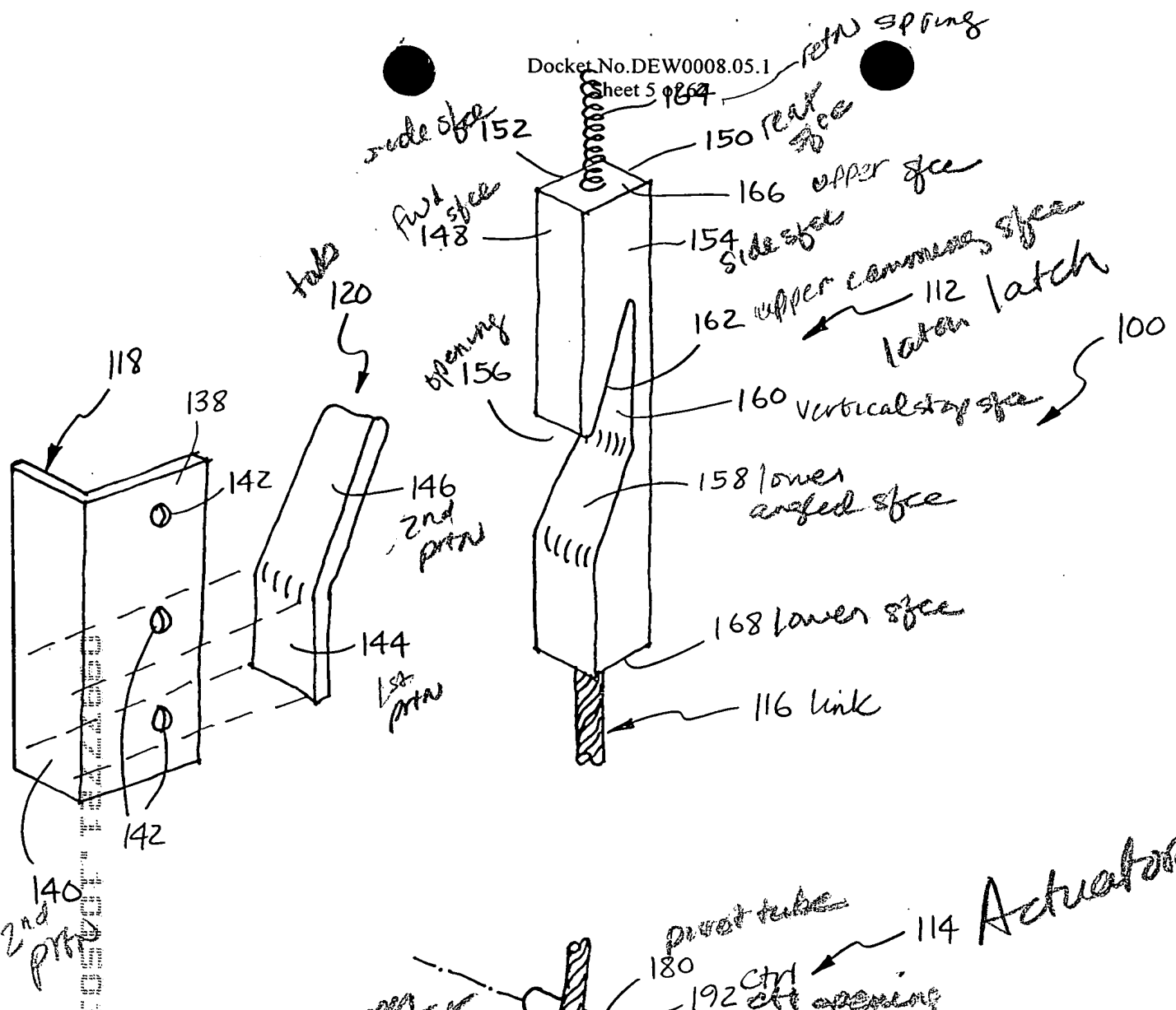


Fig. 7 A



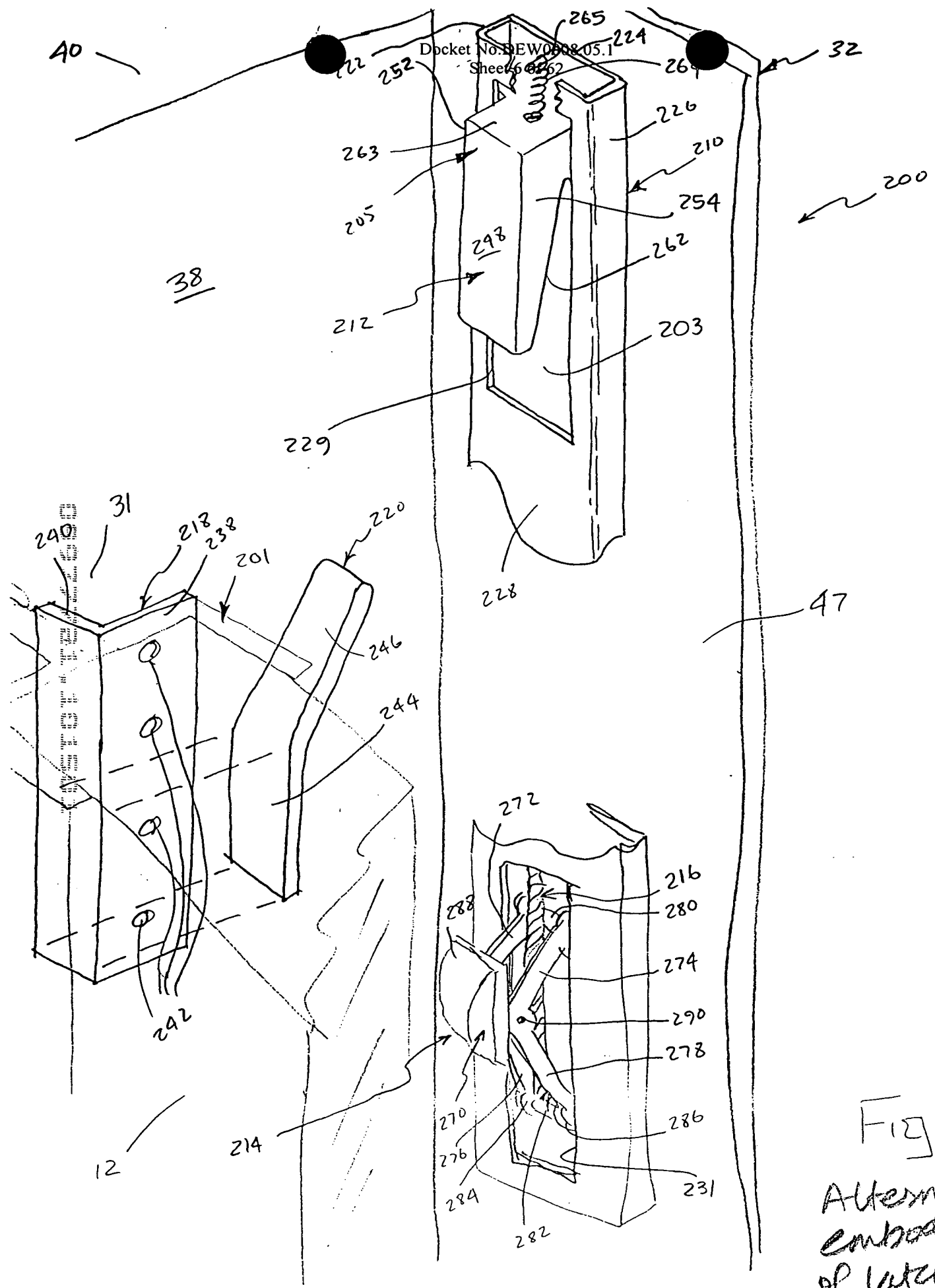
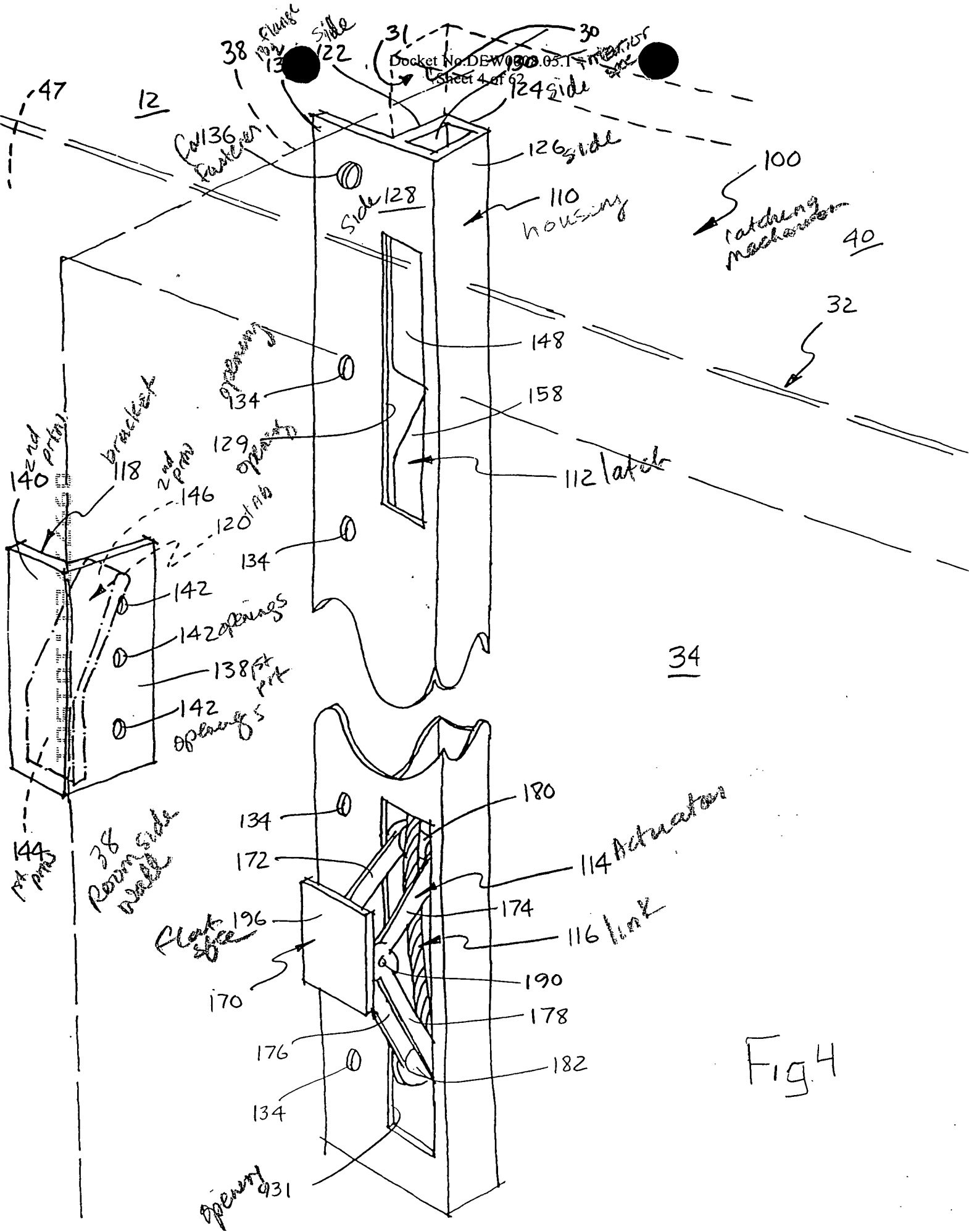
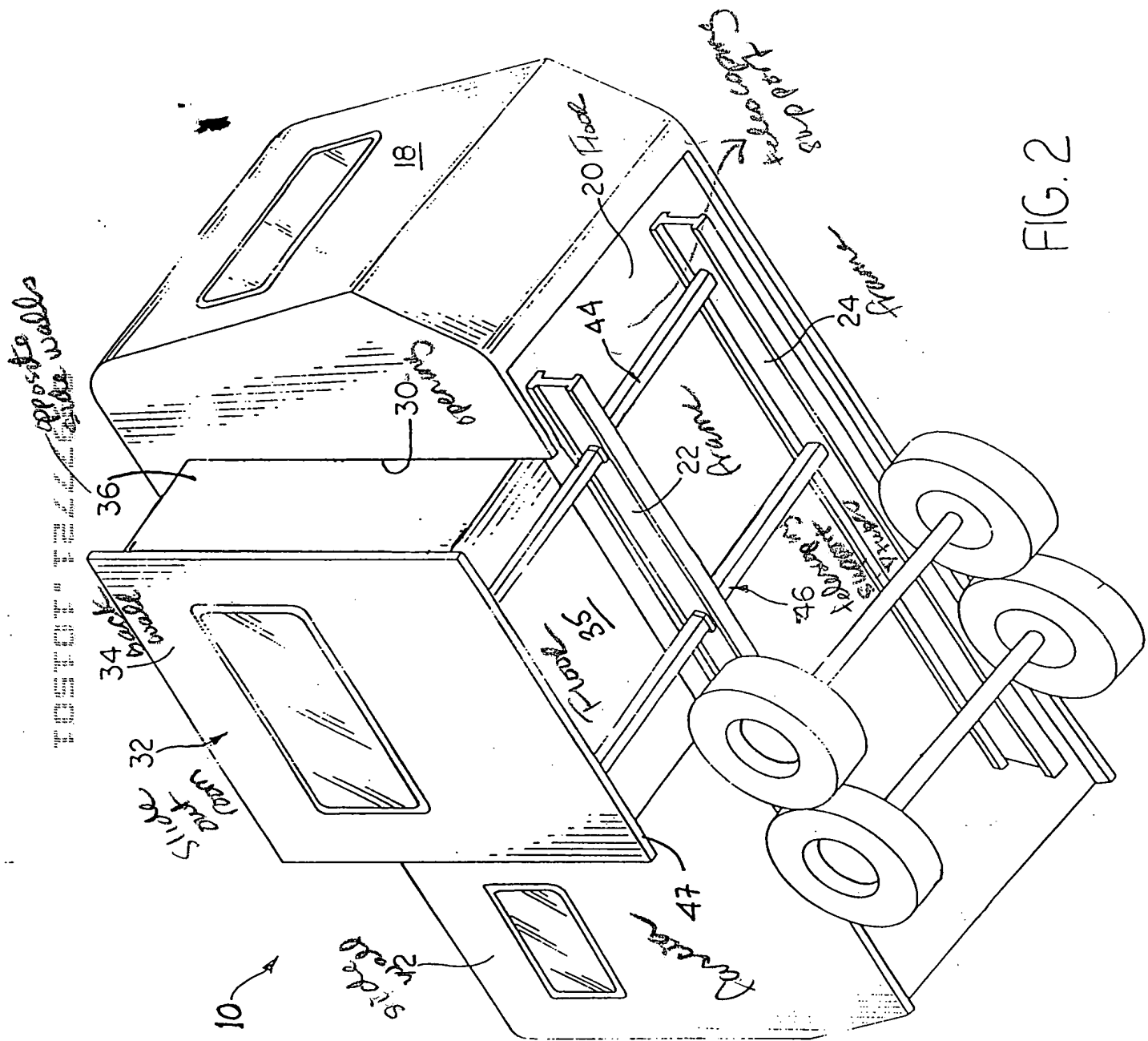
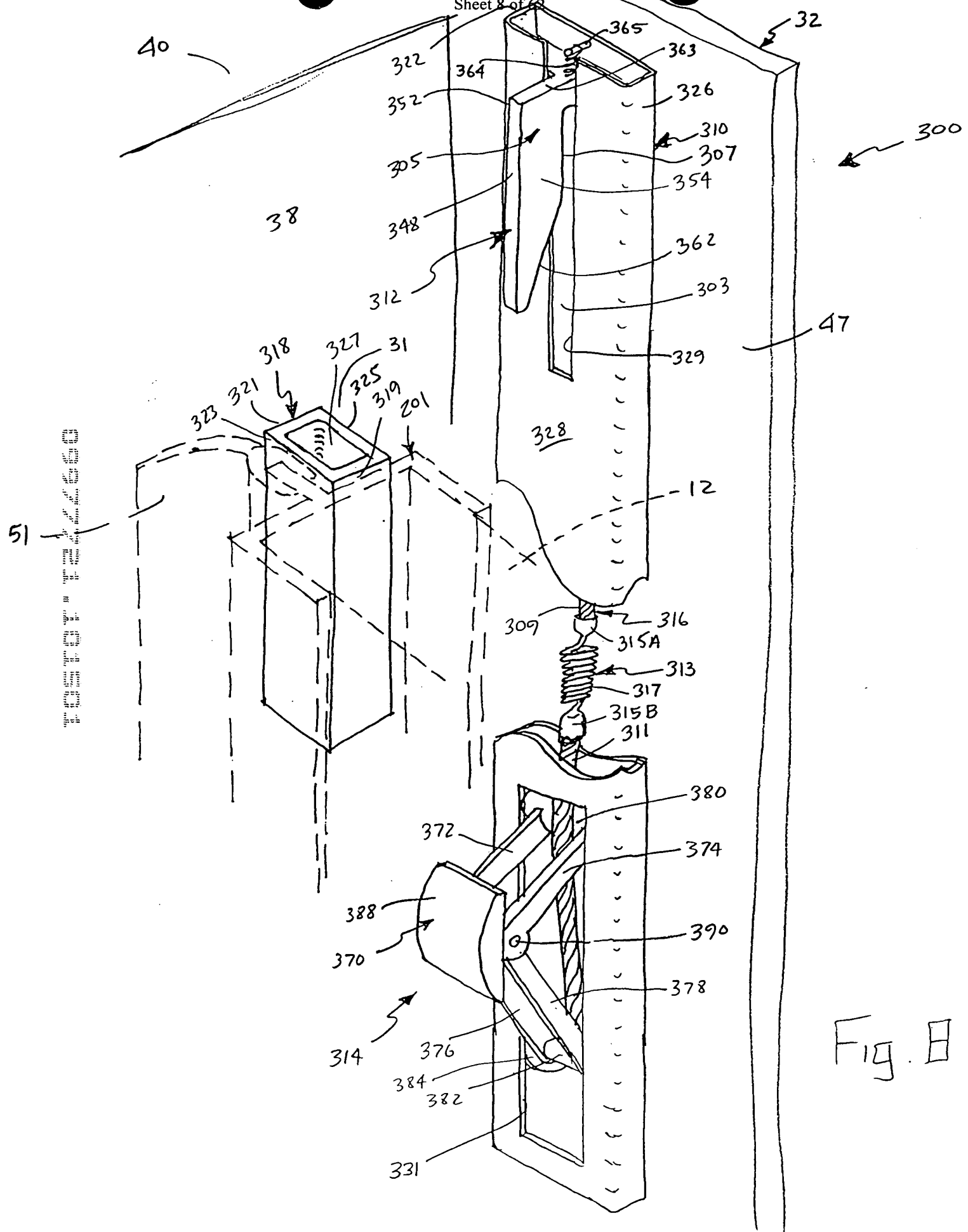


Fig. 6
Alternative
embodiment
of latch's
Mech.







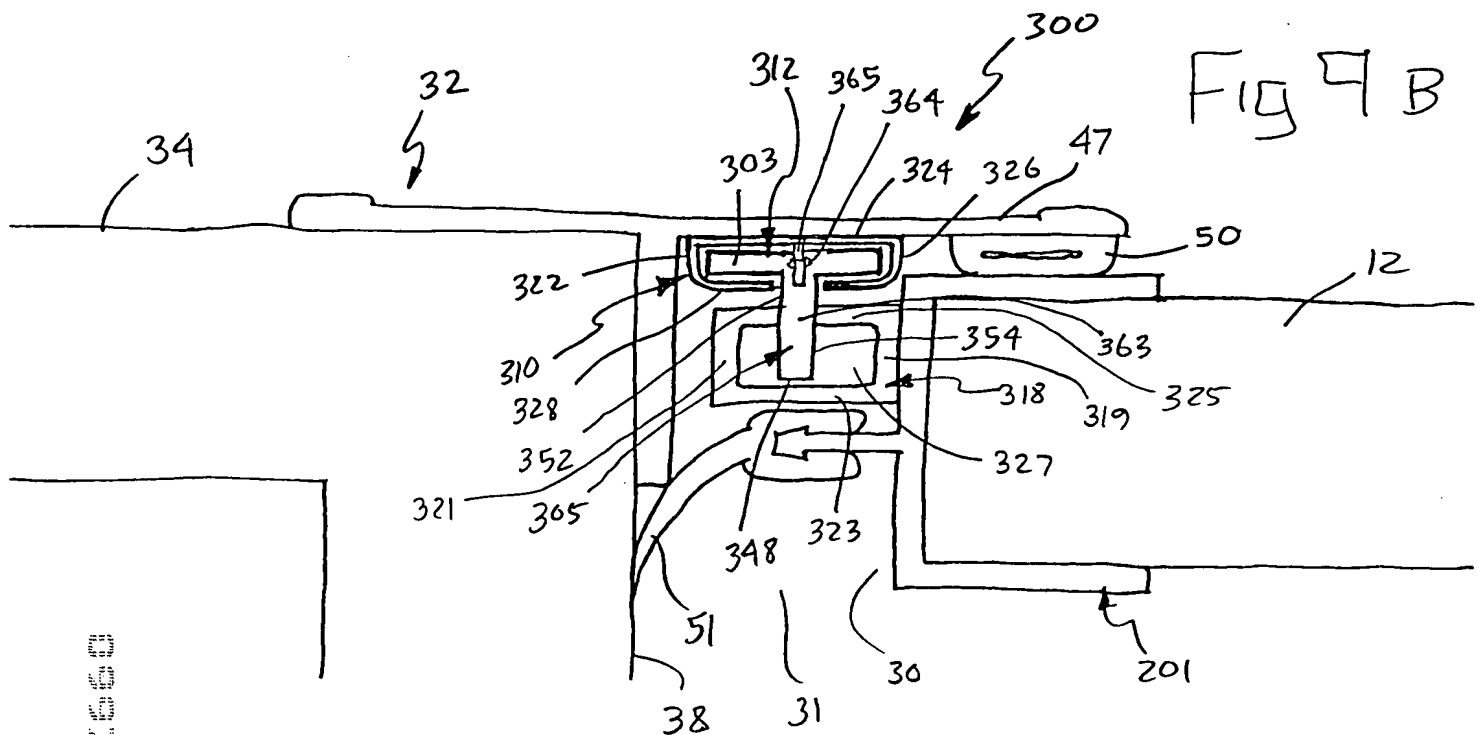


Fig 9 B

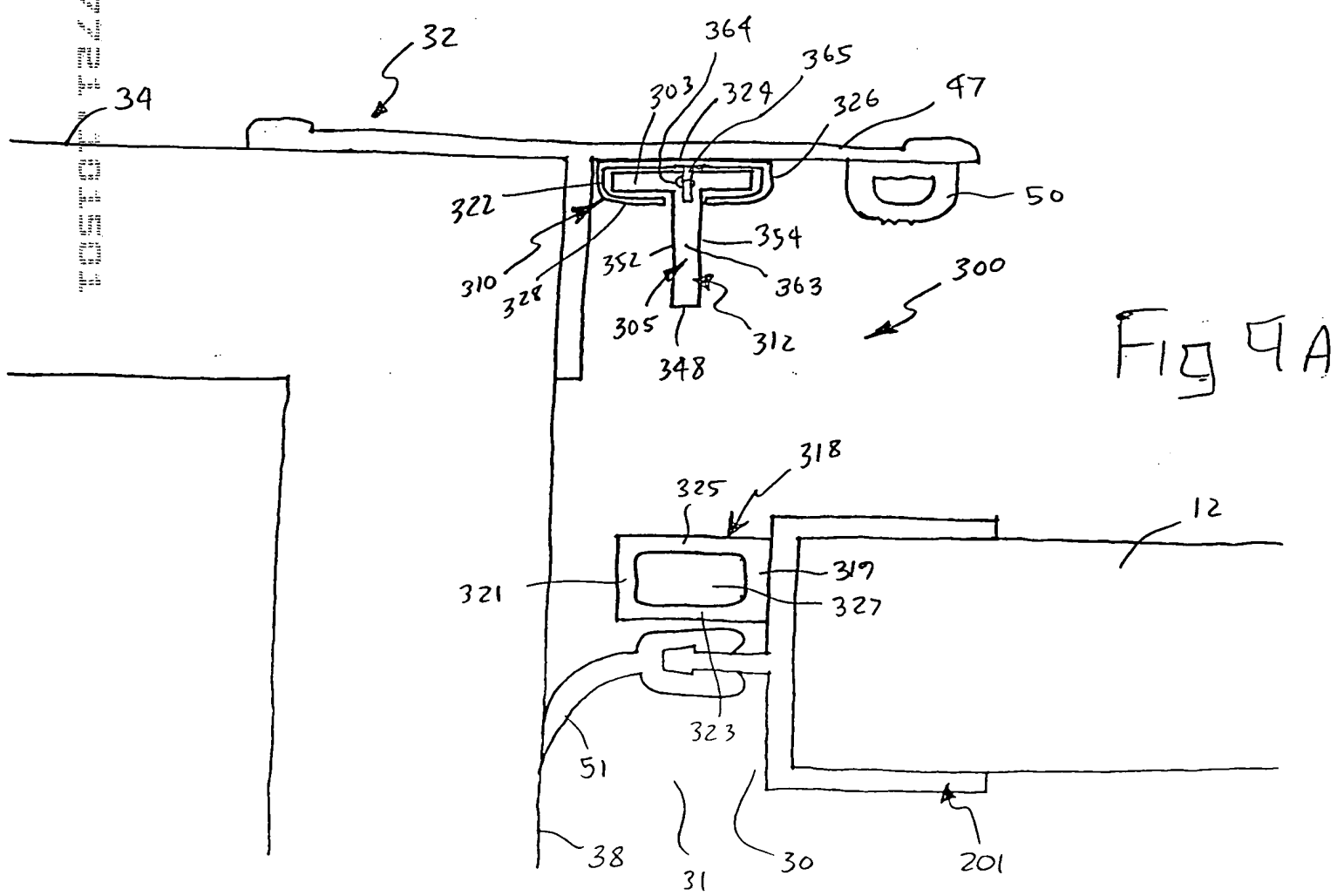
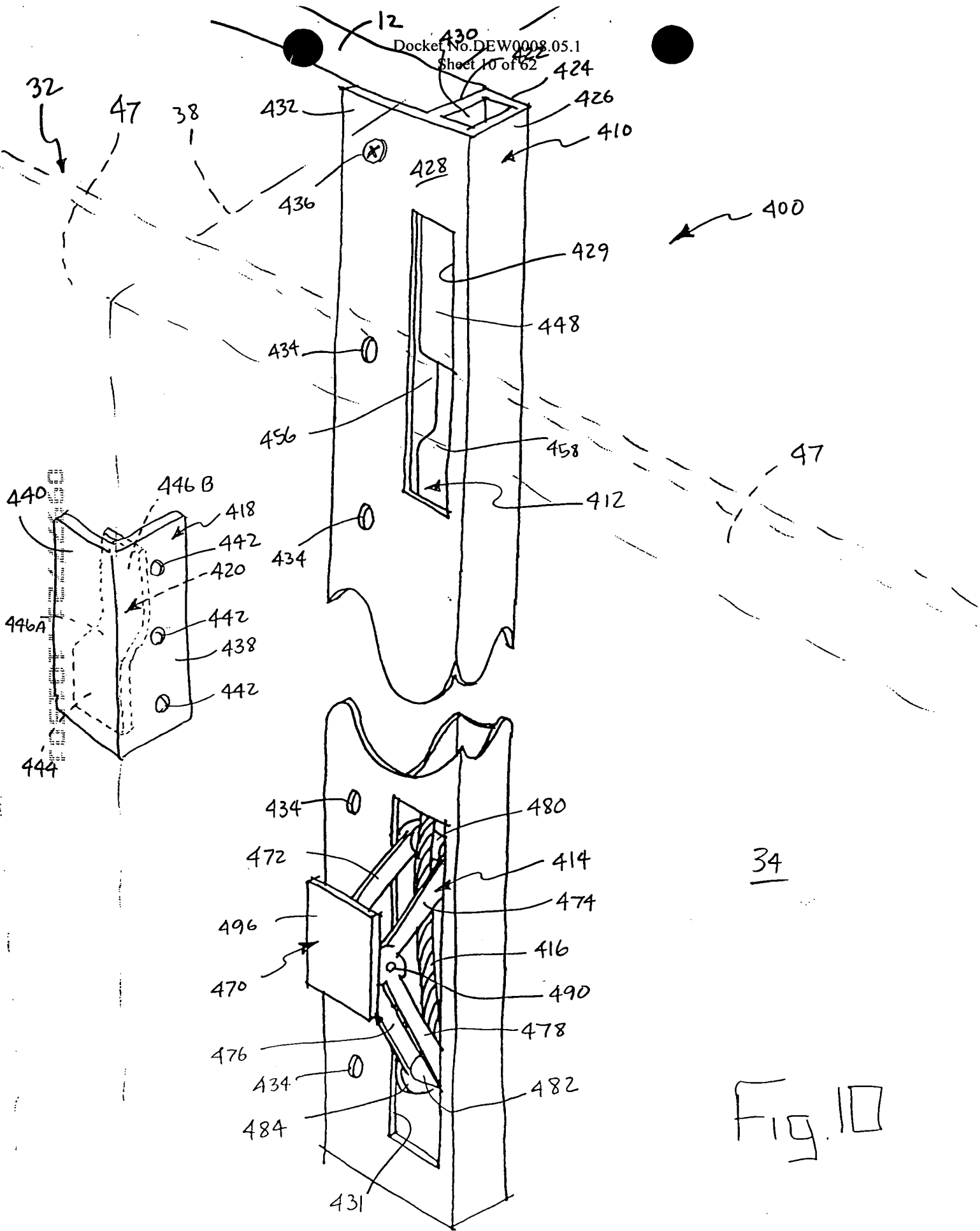


Fig 9A



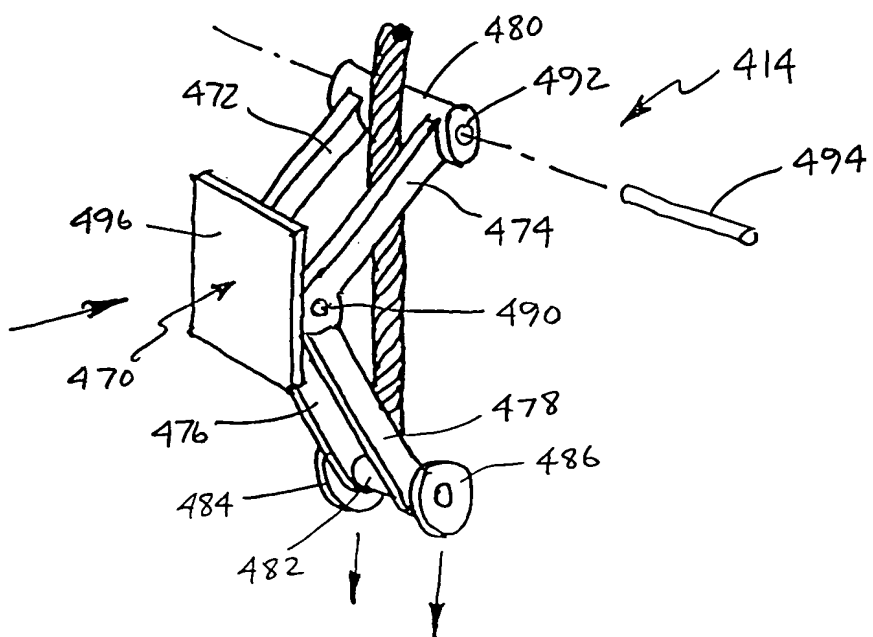
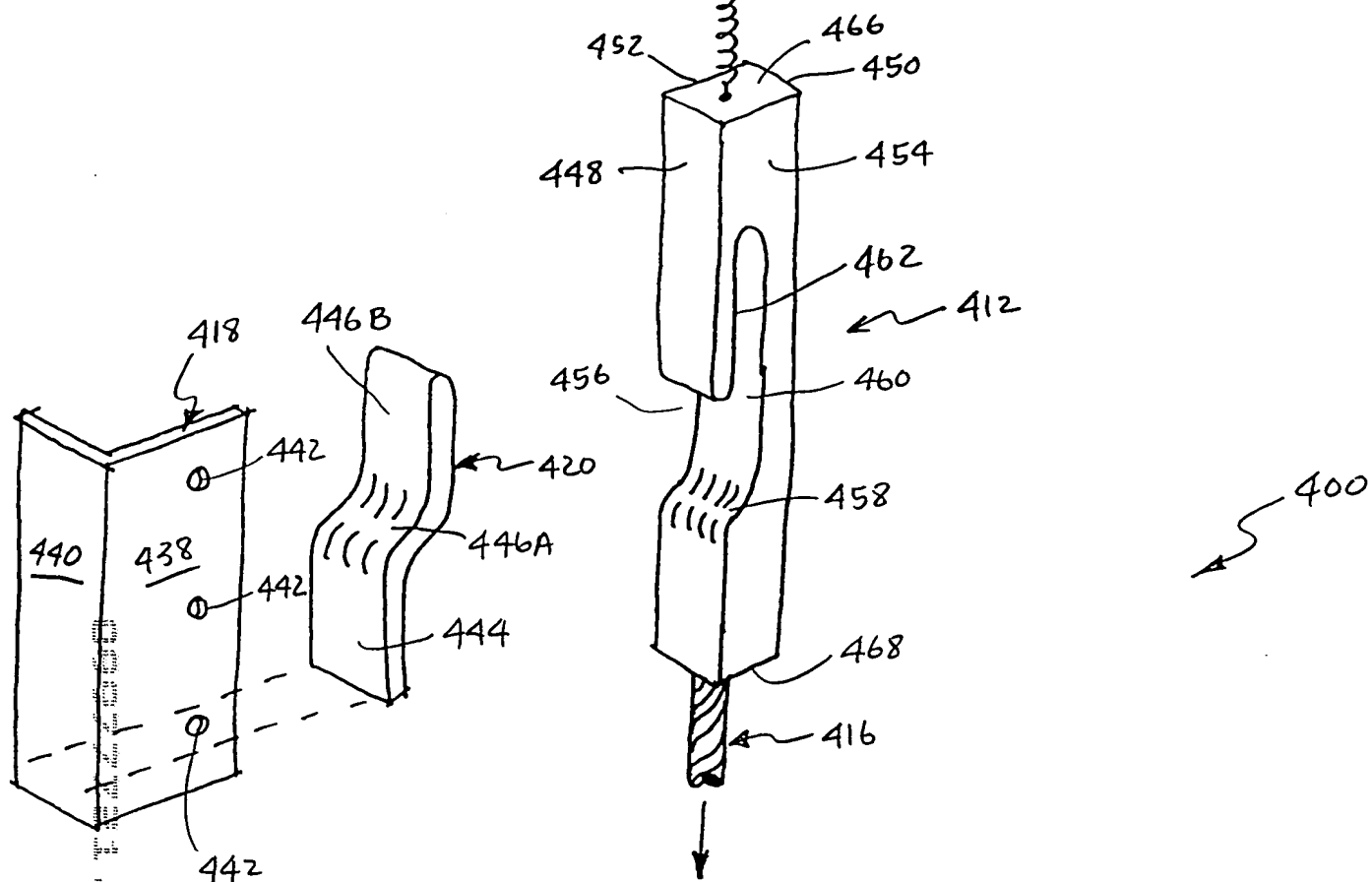


Fig 11

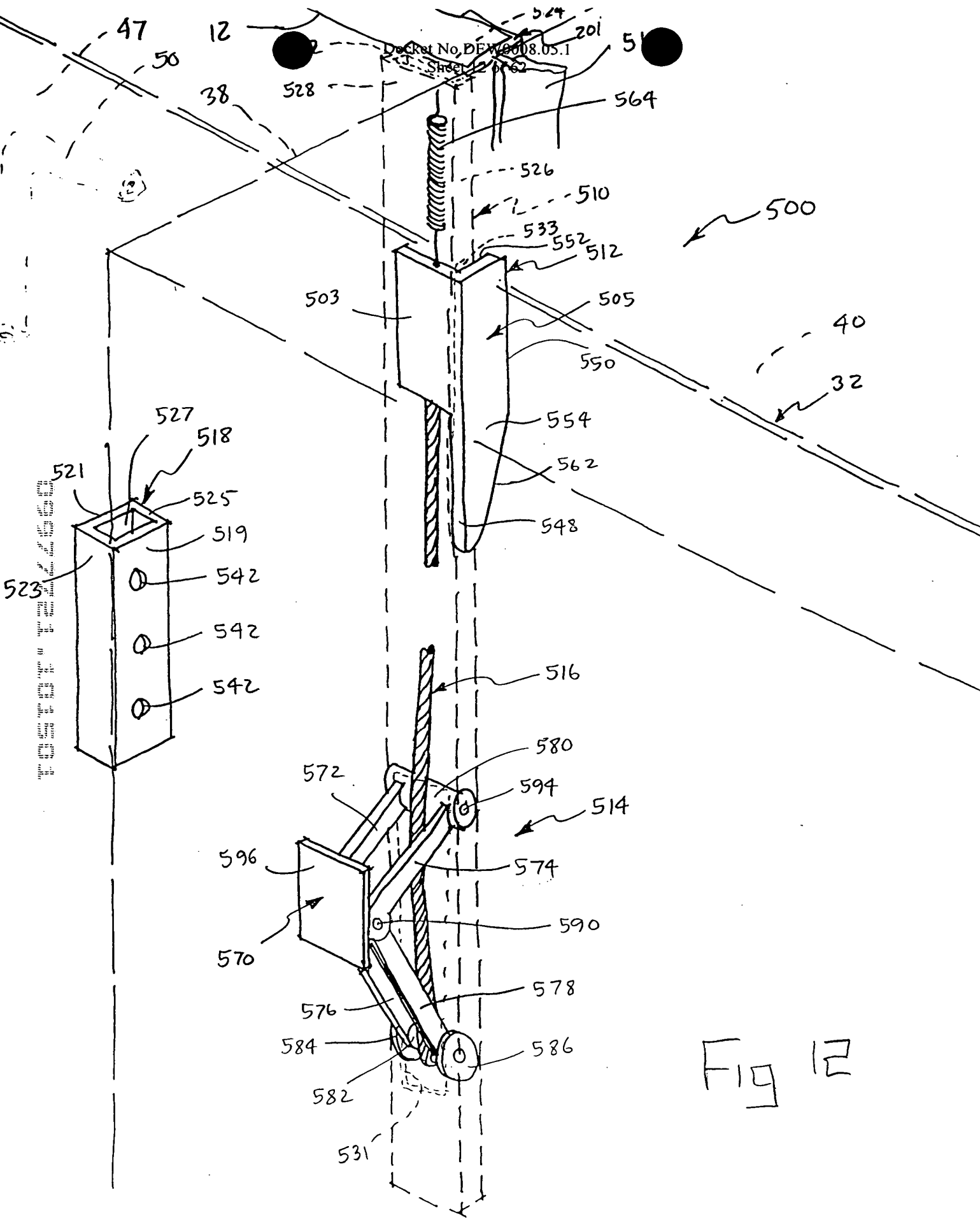


Fig 12

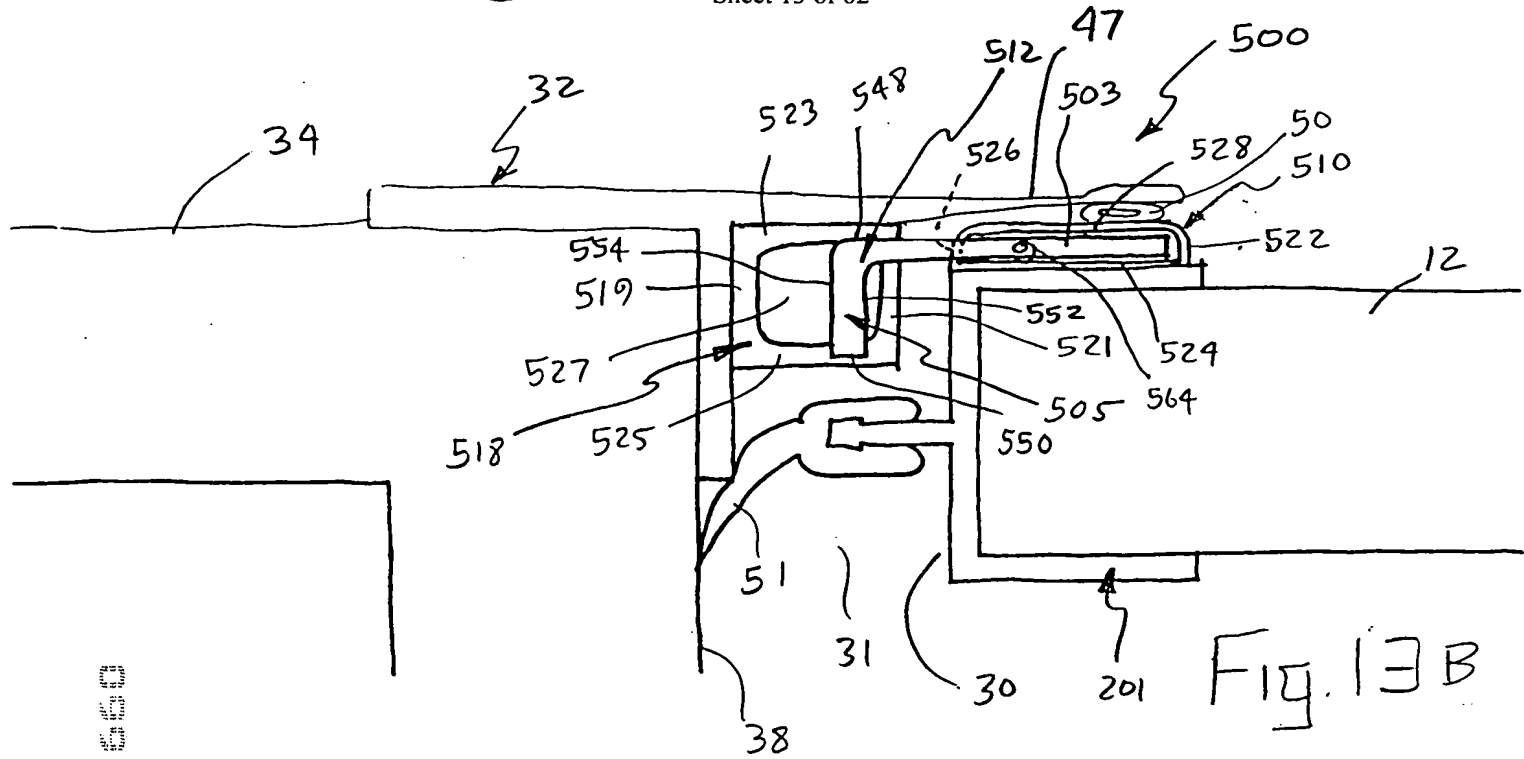


Fig. 13B

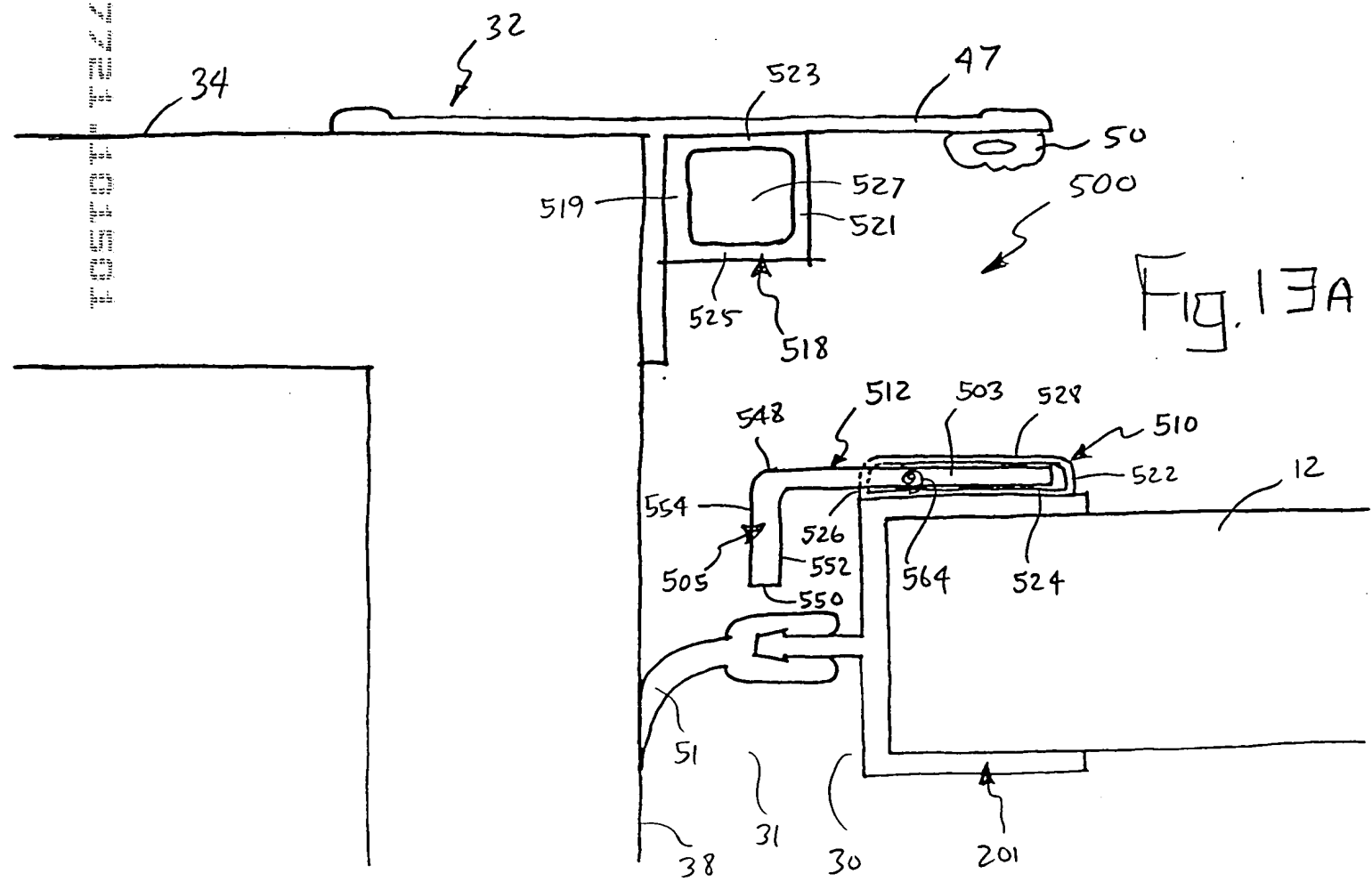


Fig. 13A

40

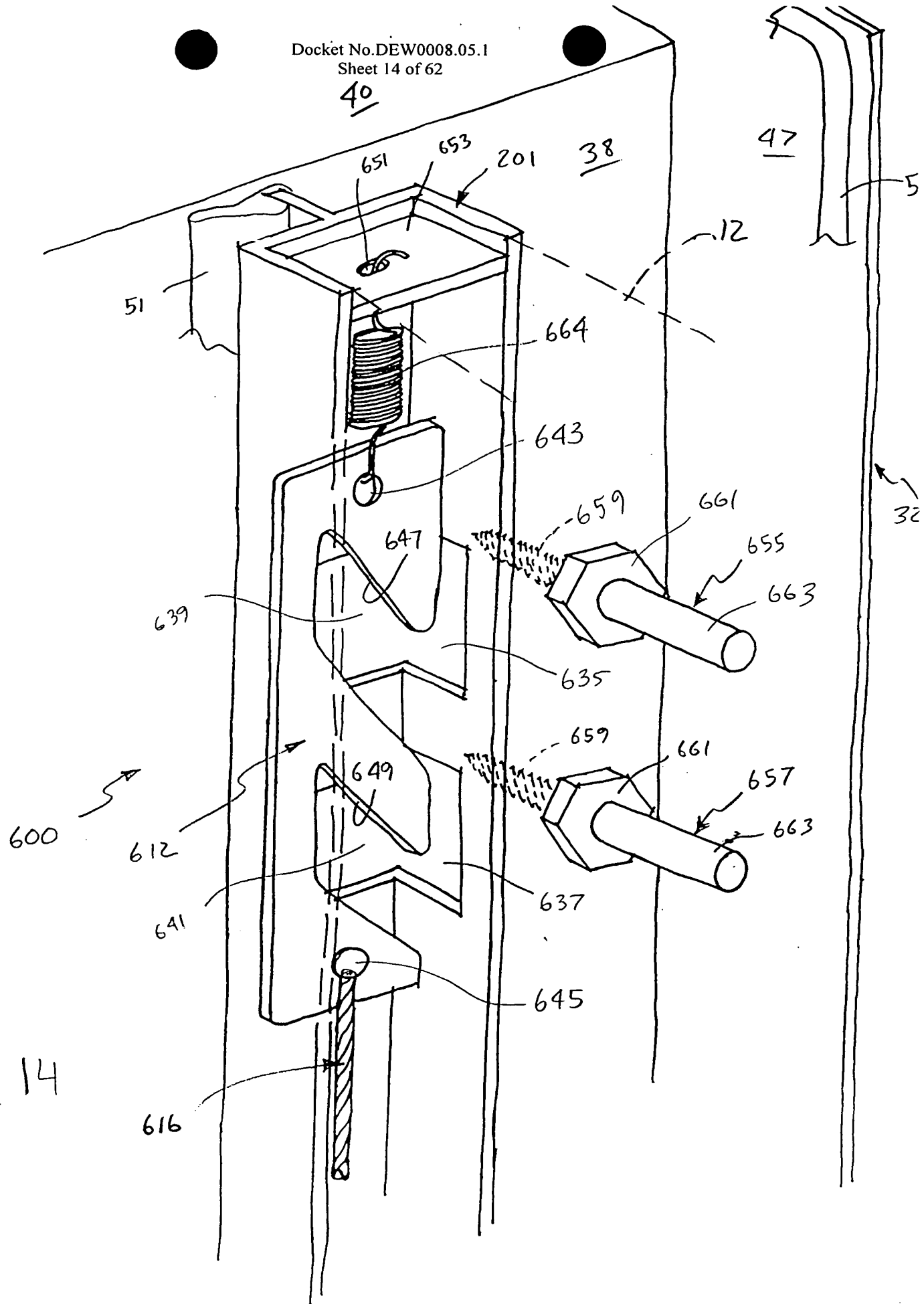


Fig. 14

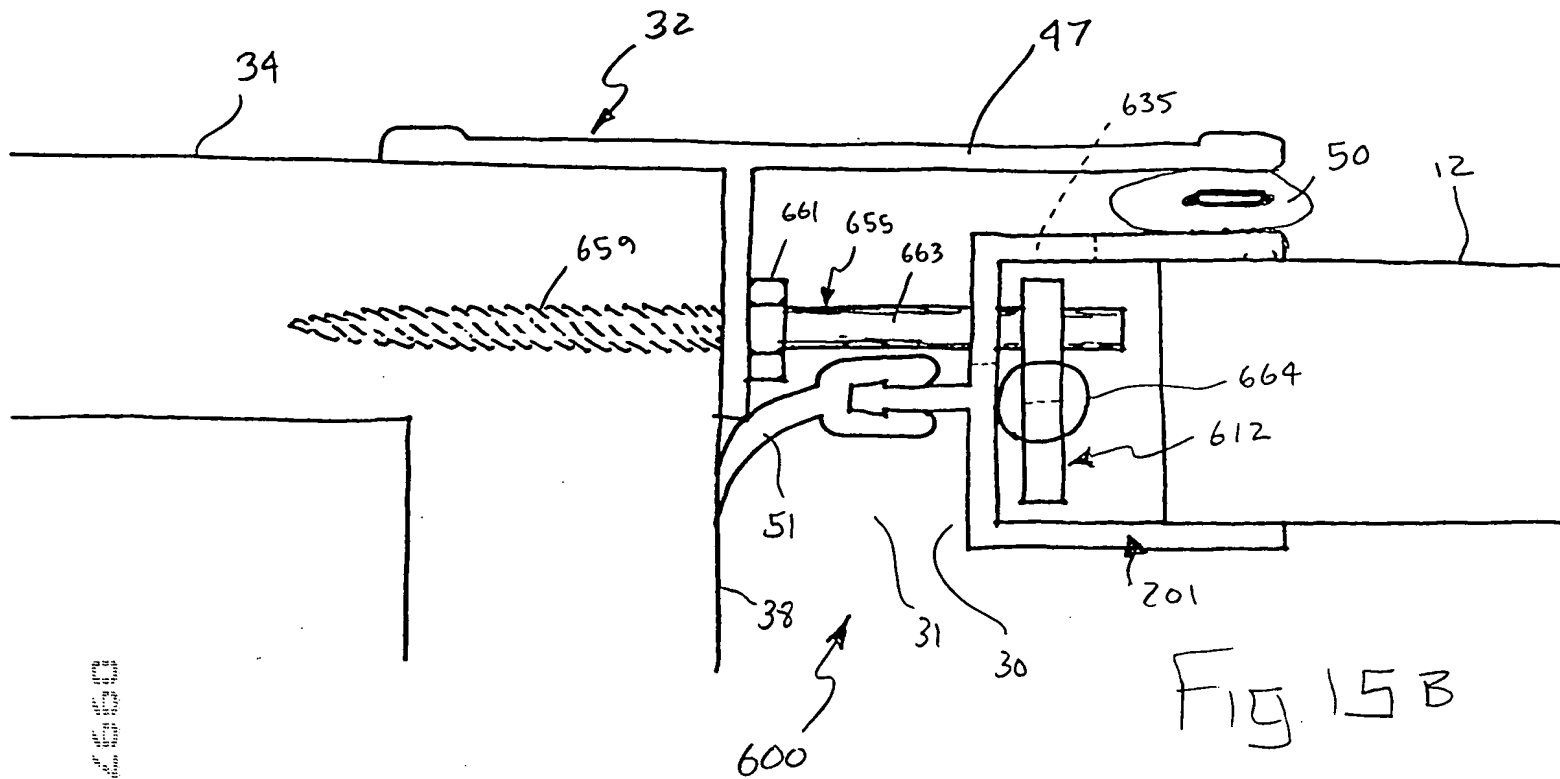


Fig. 15B

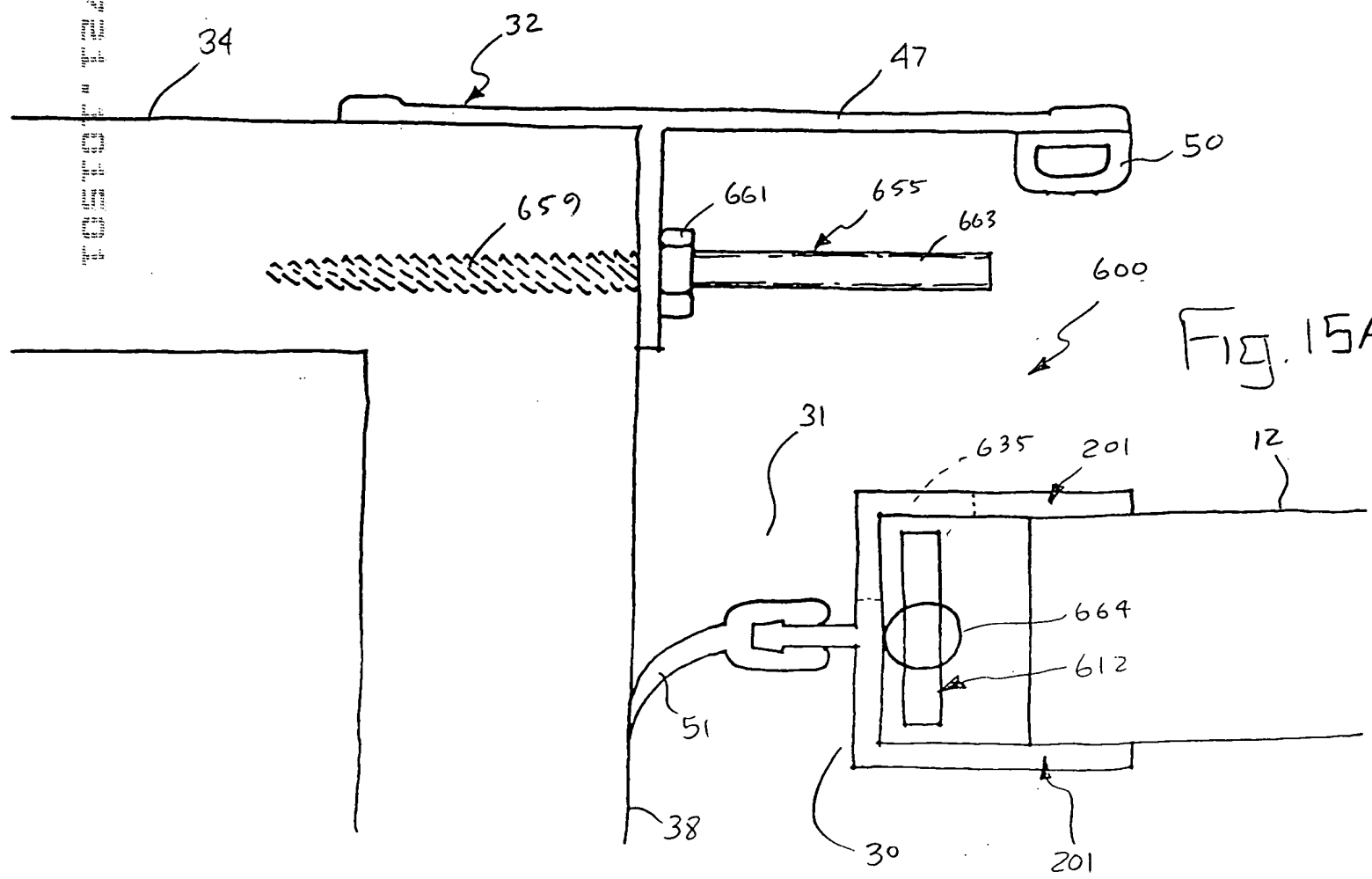


Fig. 15A

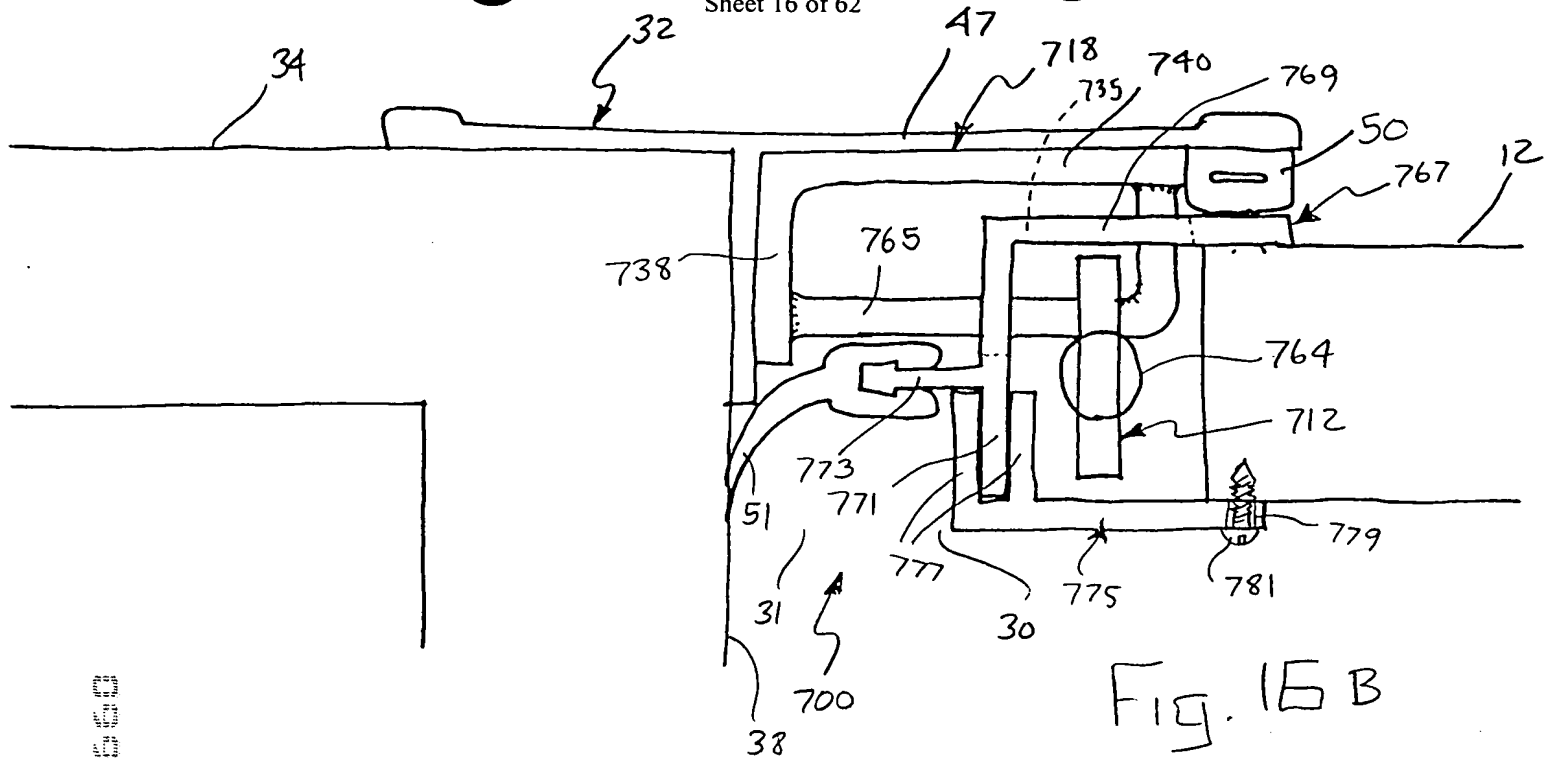


Fig. 15B

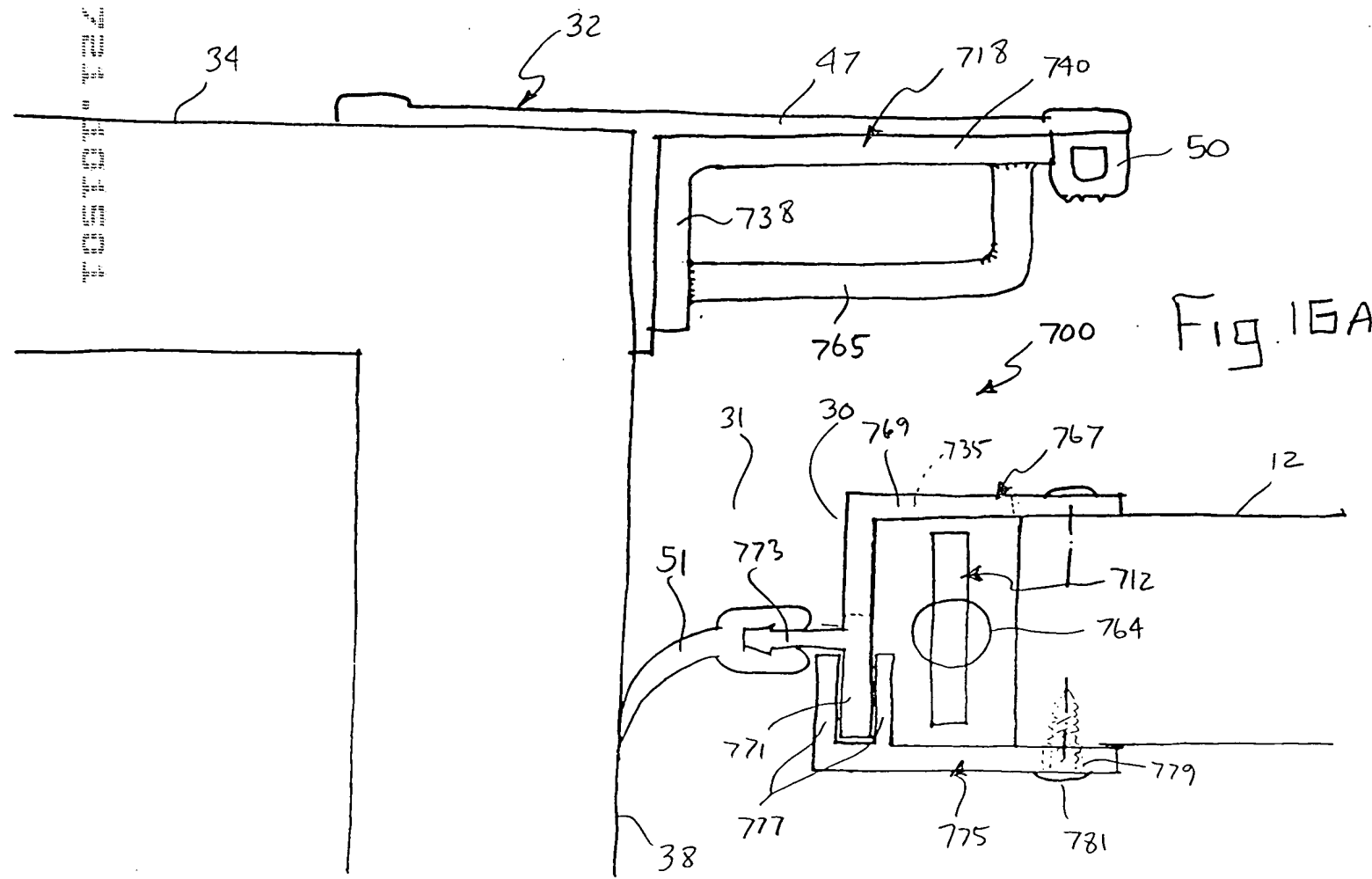


Fig. 15A

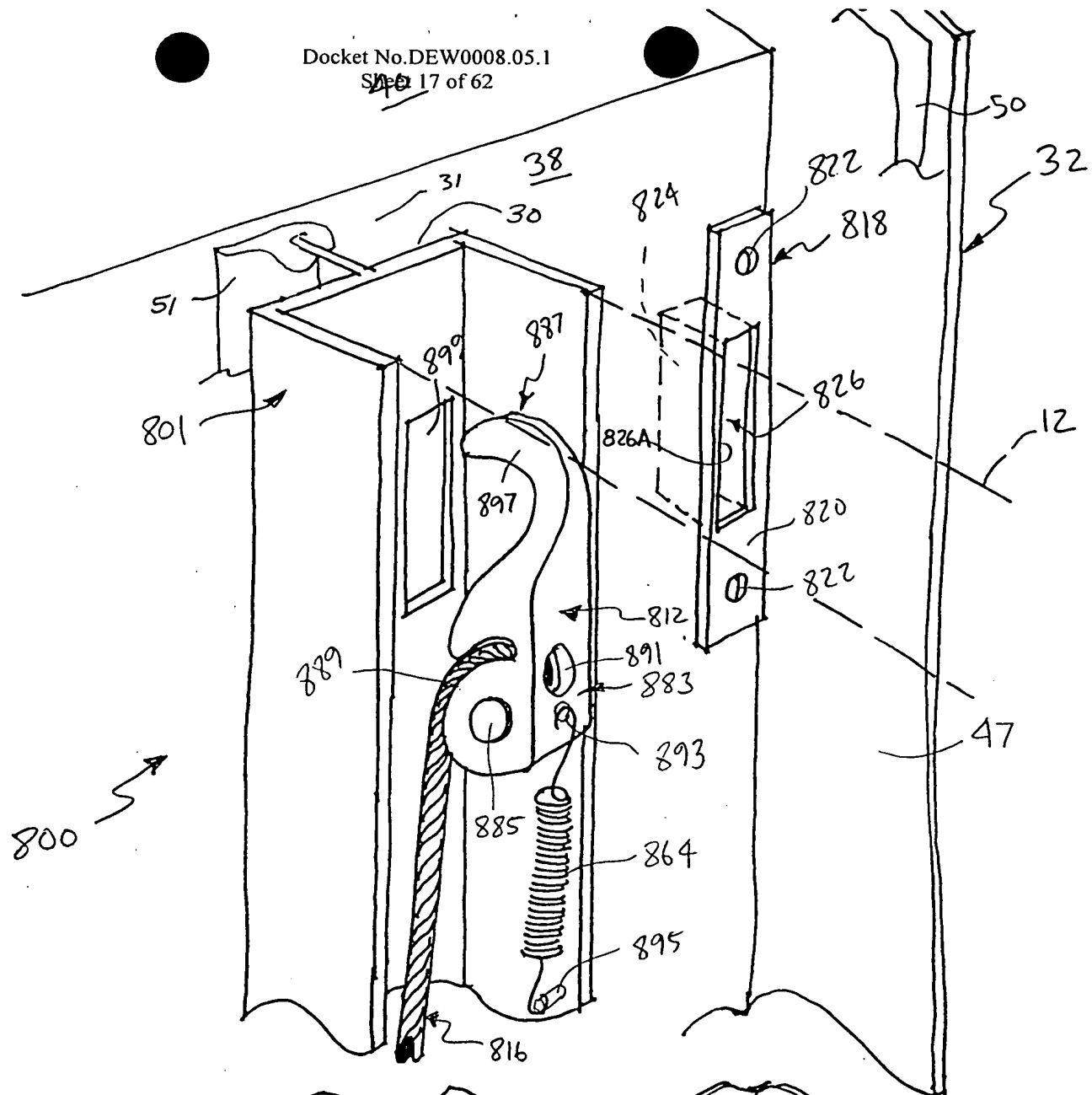
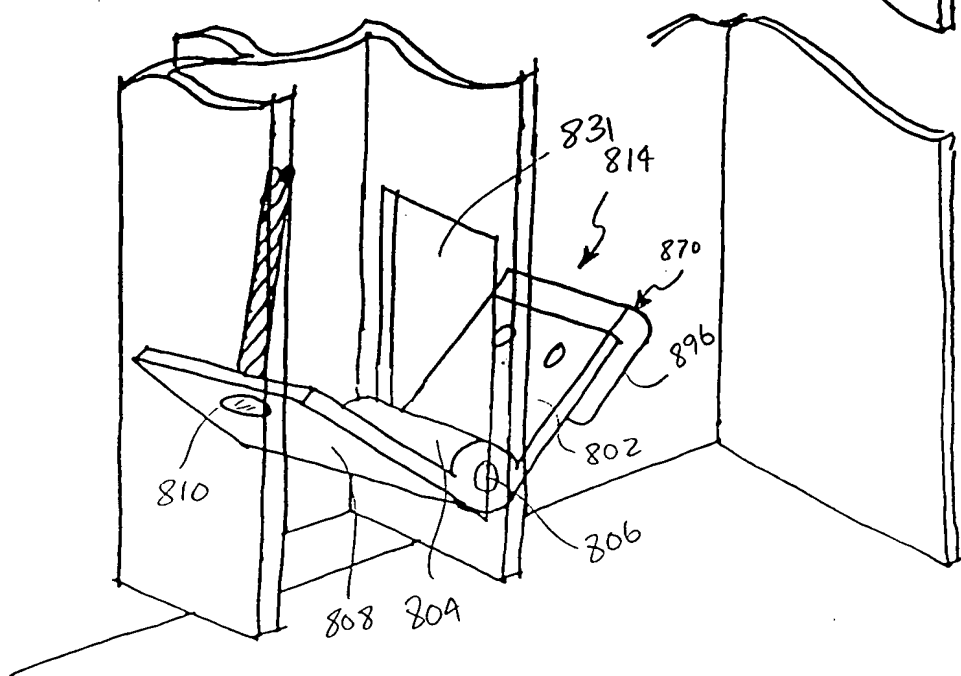


Fig. 17



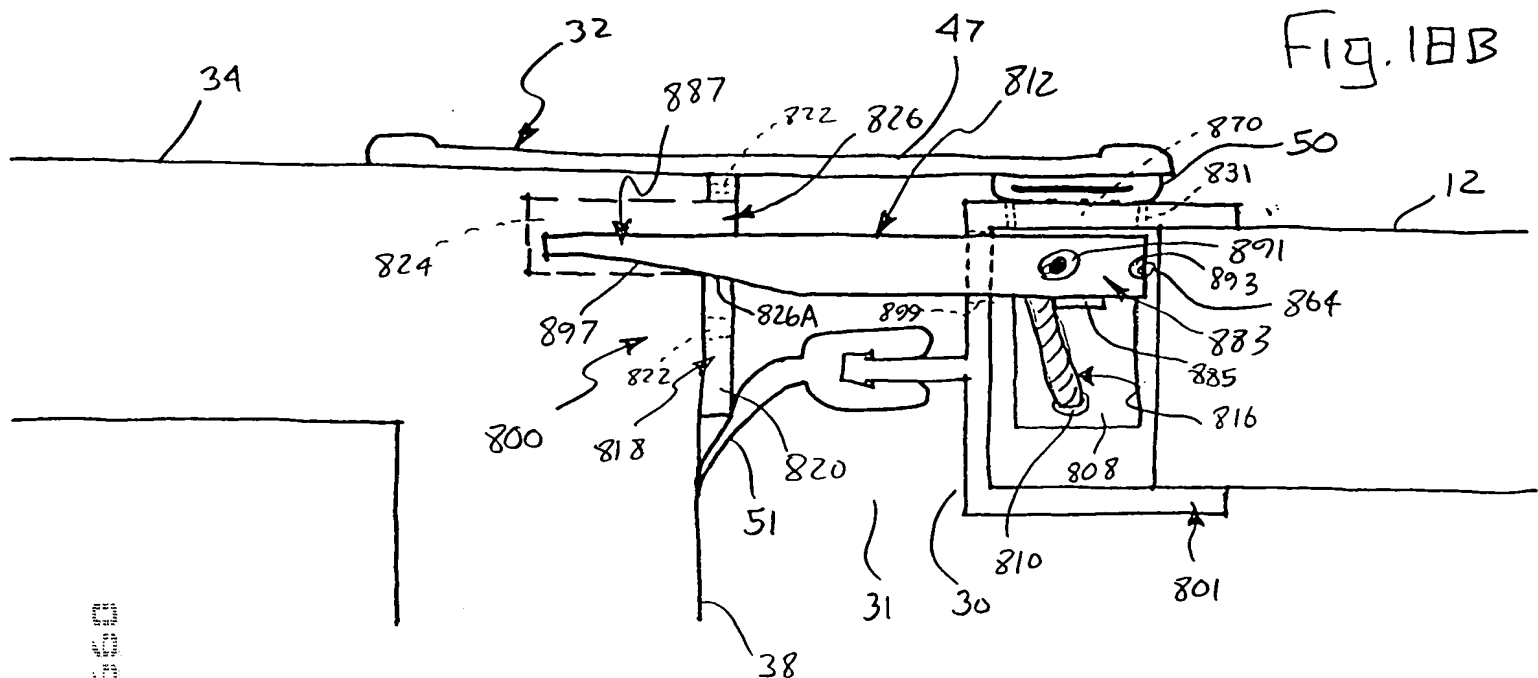


Fig. 1B3

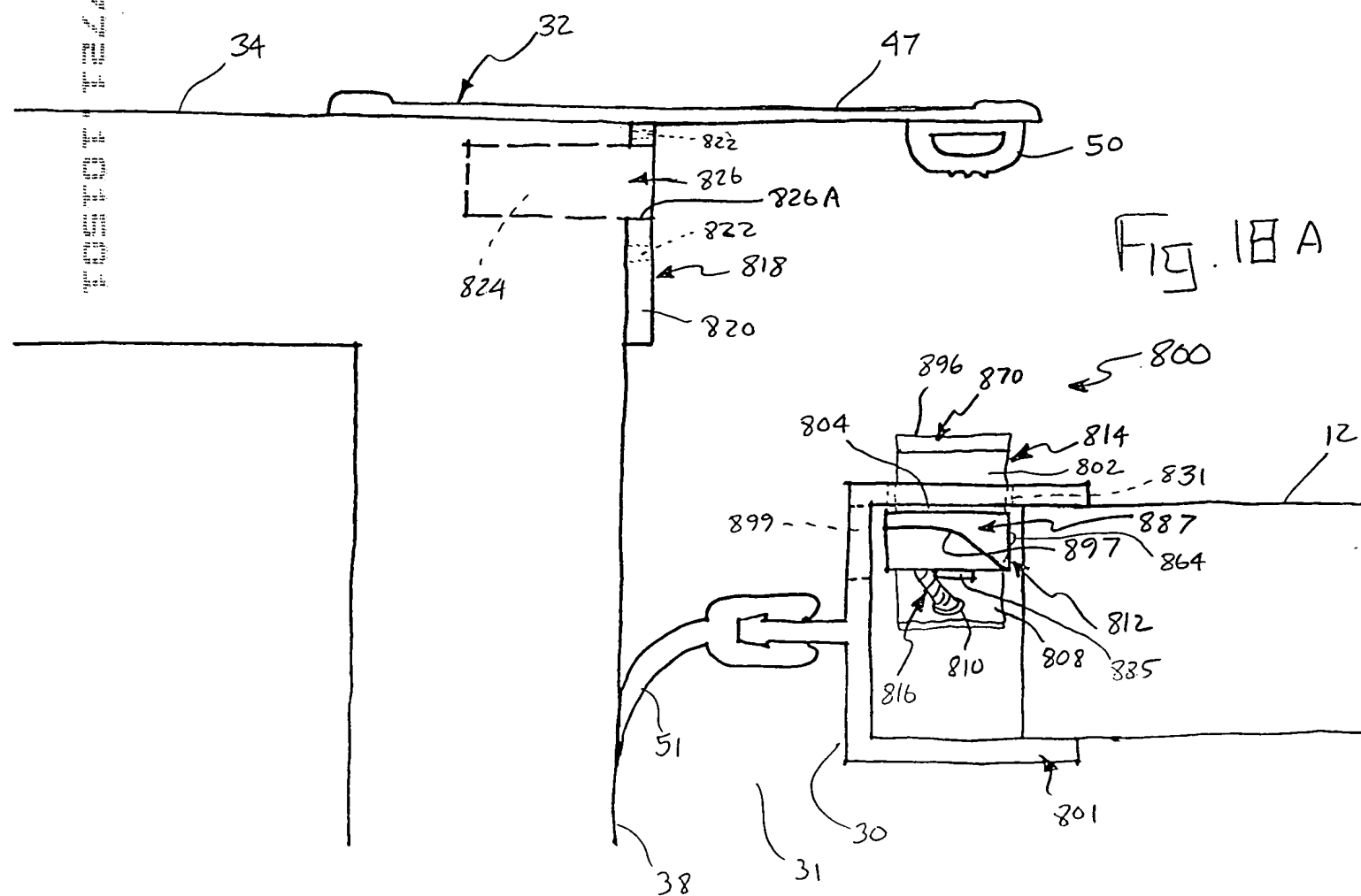


Fig. 18 A

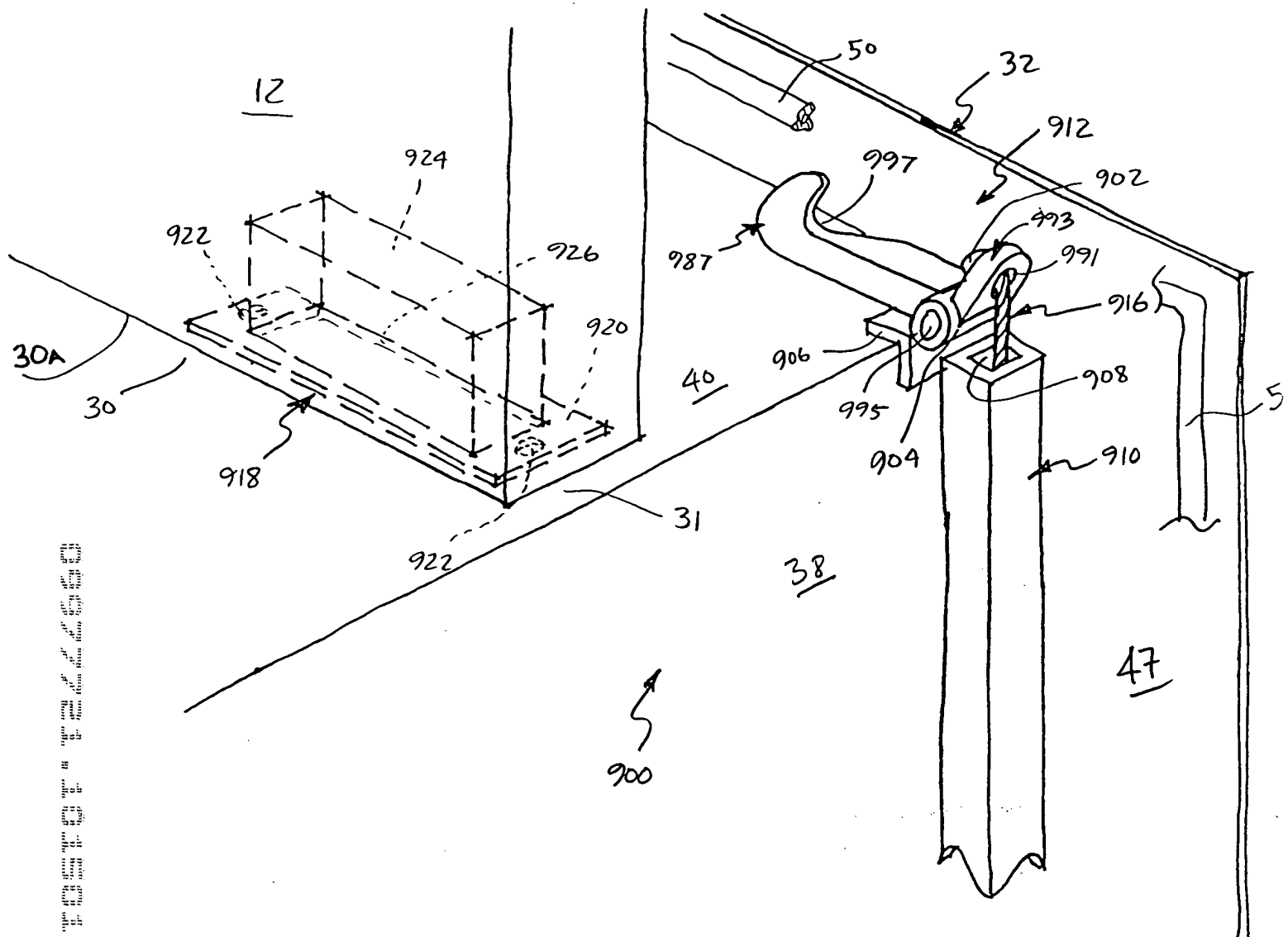


Fig. 19

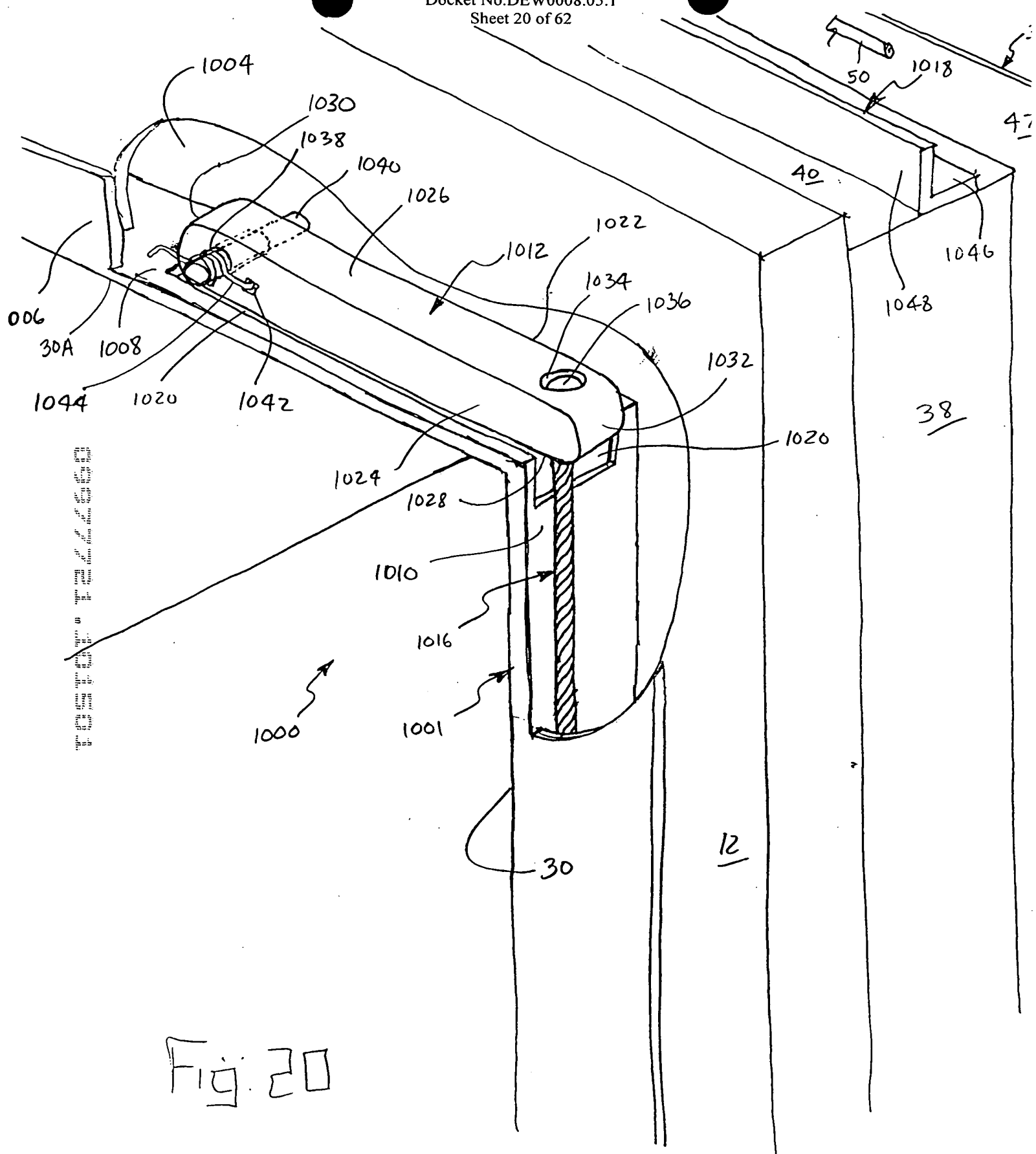


Fig. 20

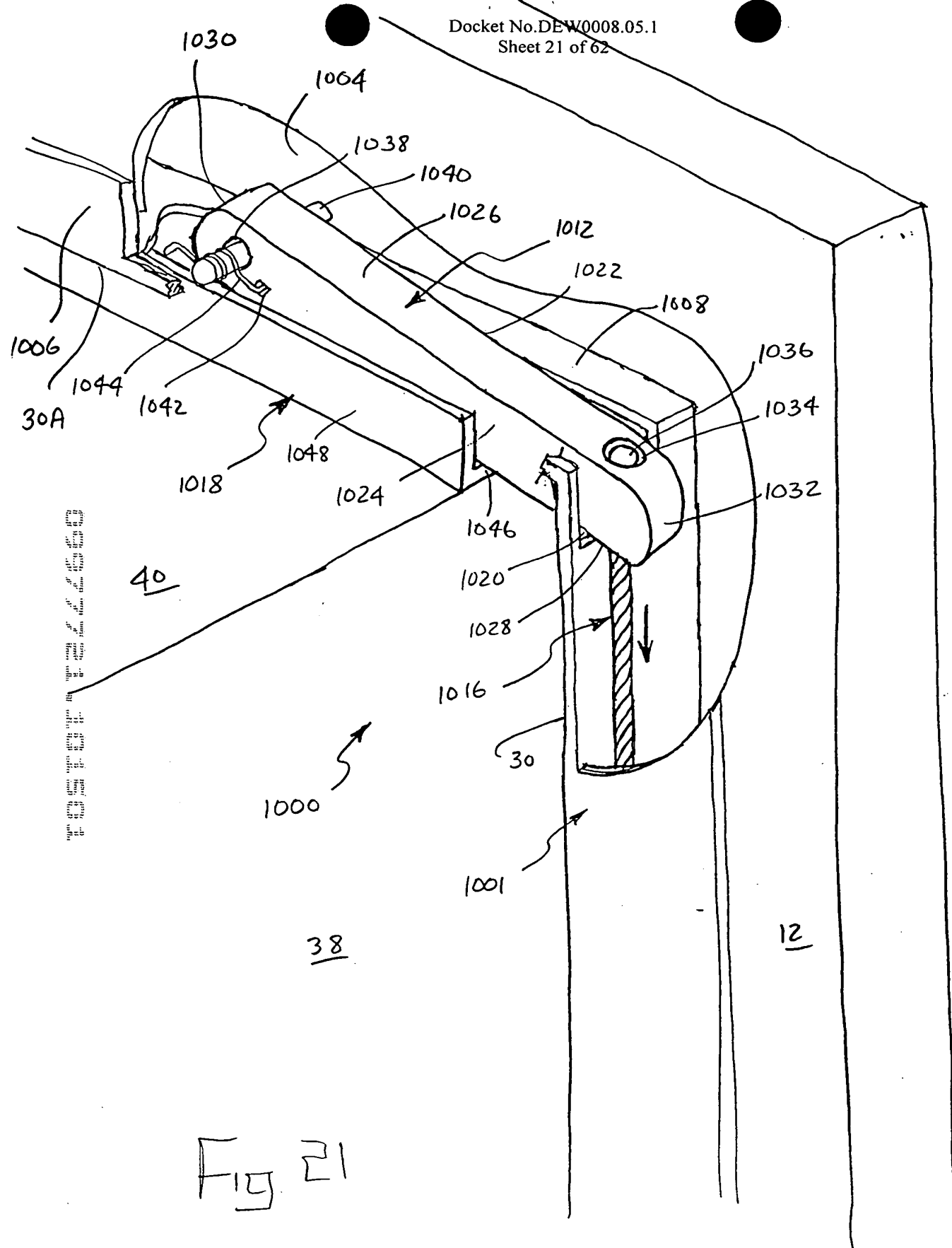


Fig 21

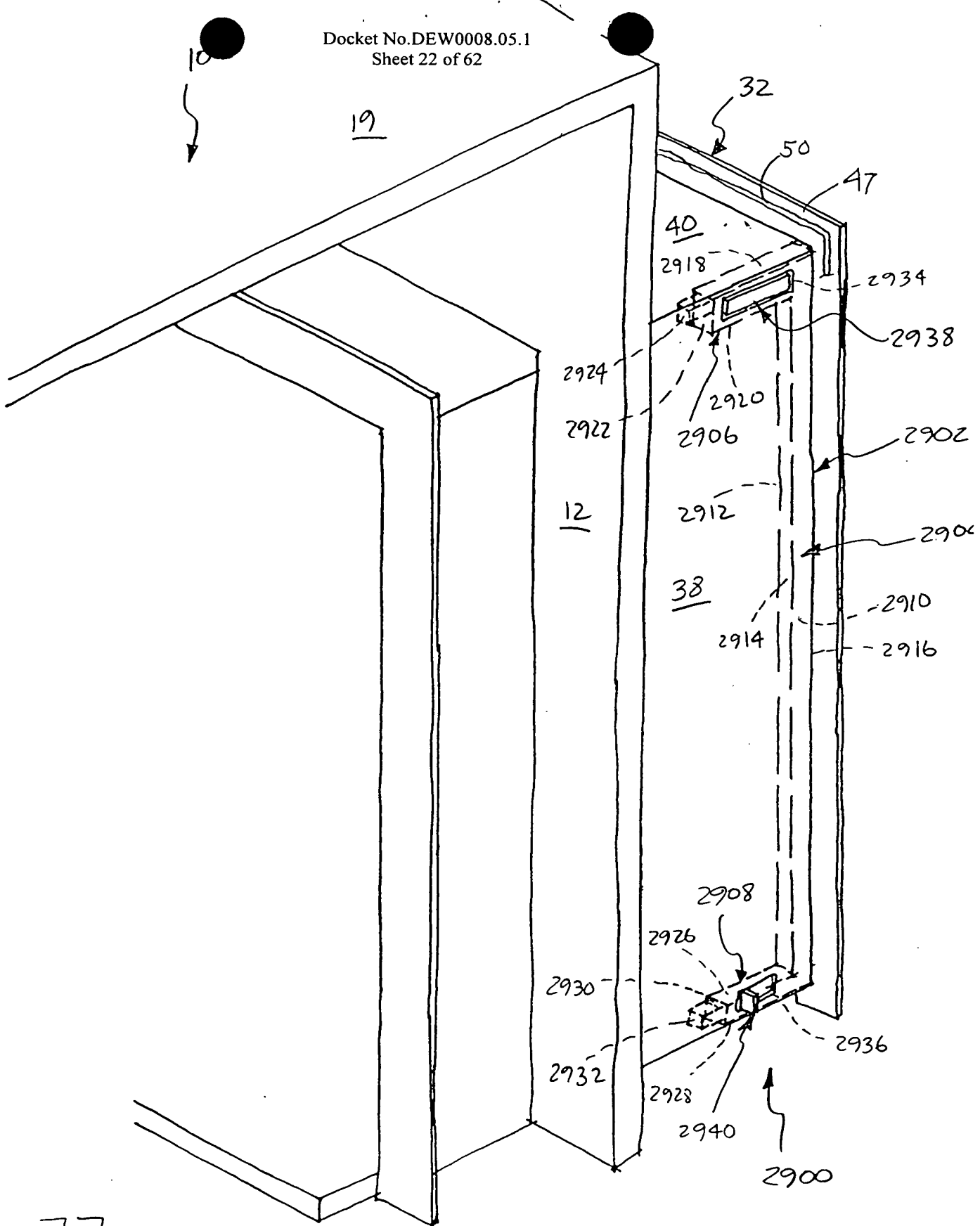


Fig. 22

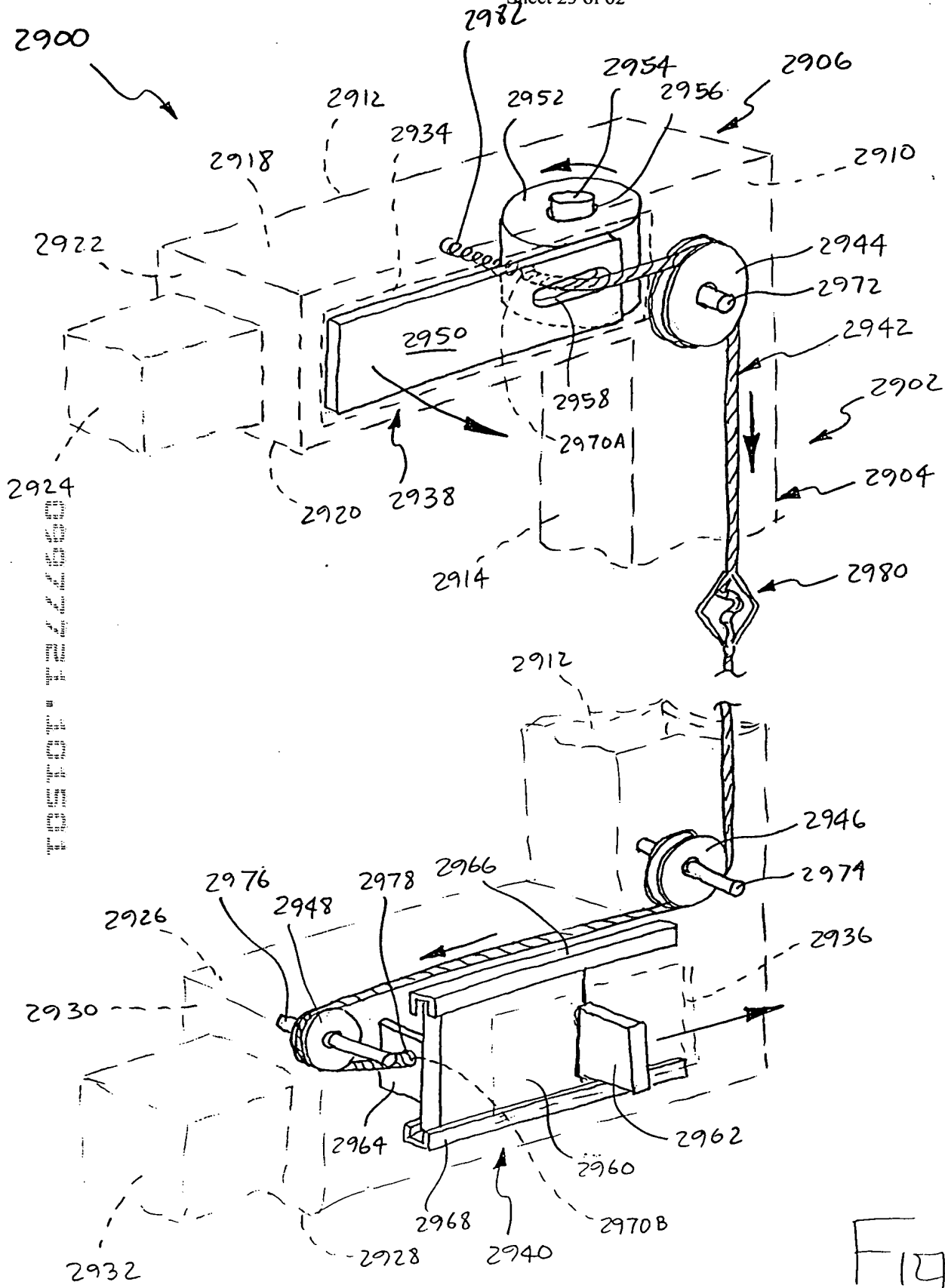


Fig. 23

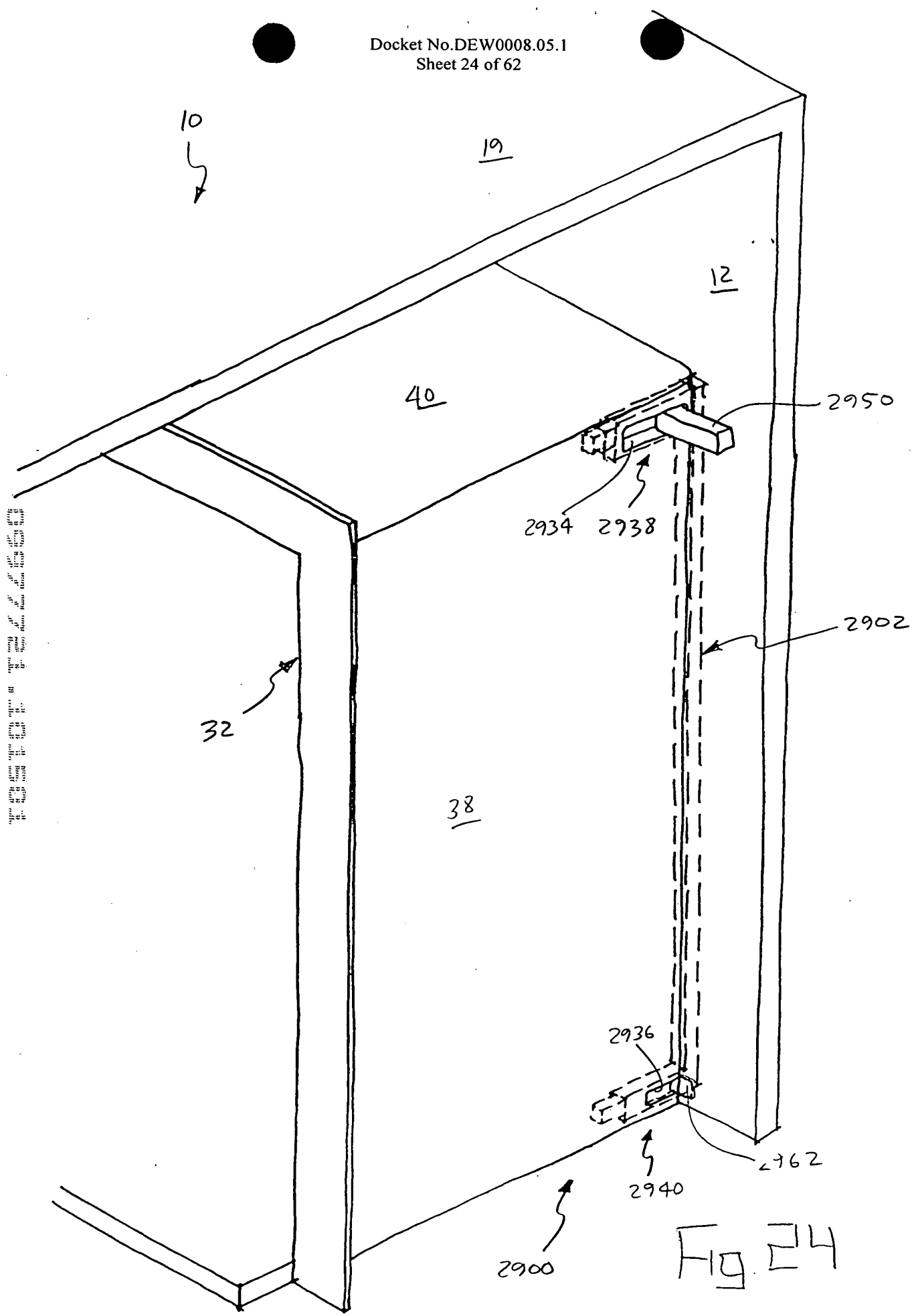


Fig. 24

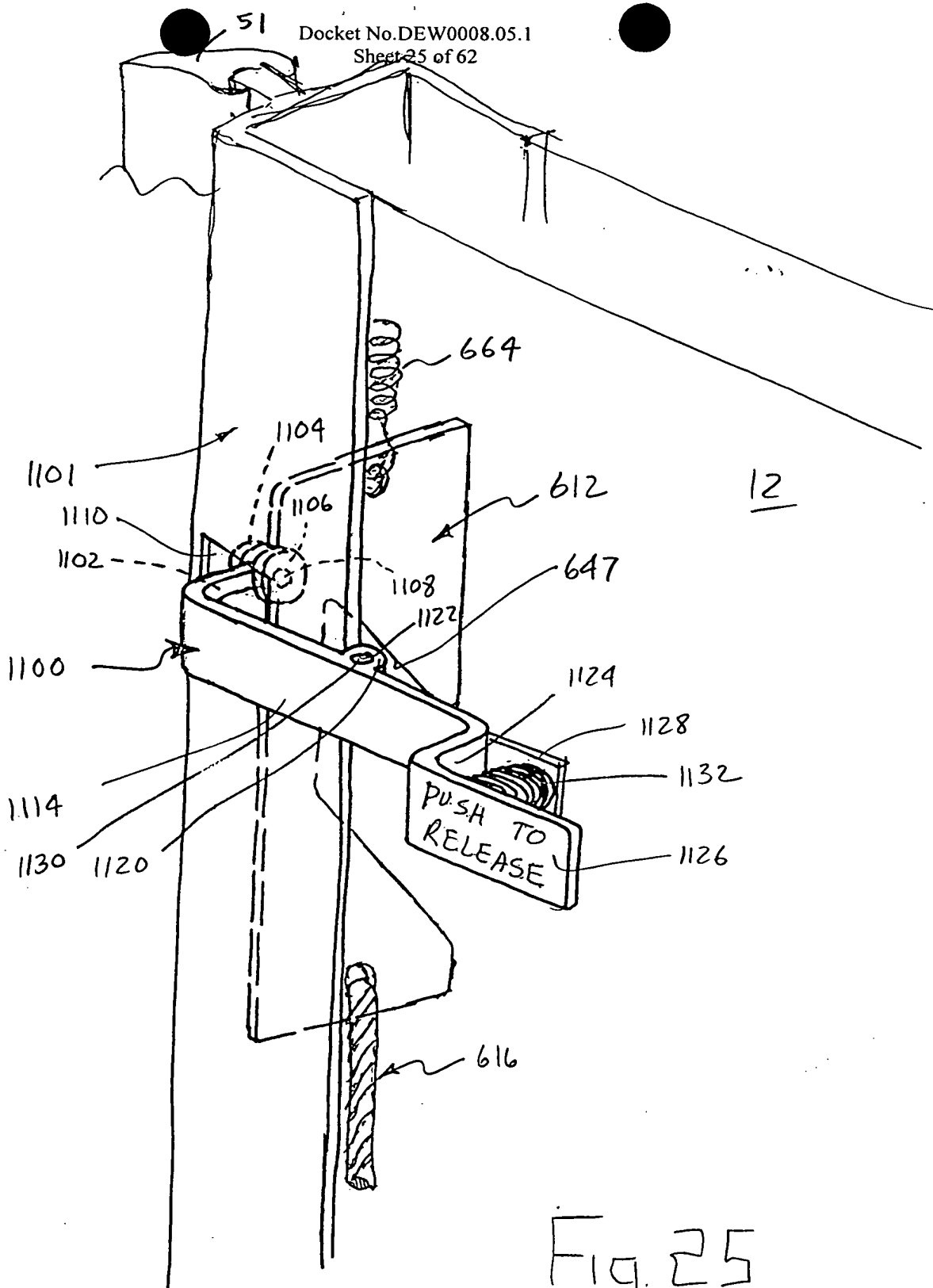


Fig. 25

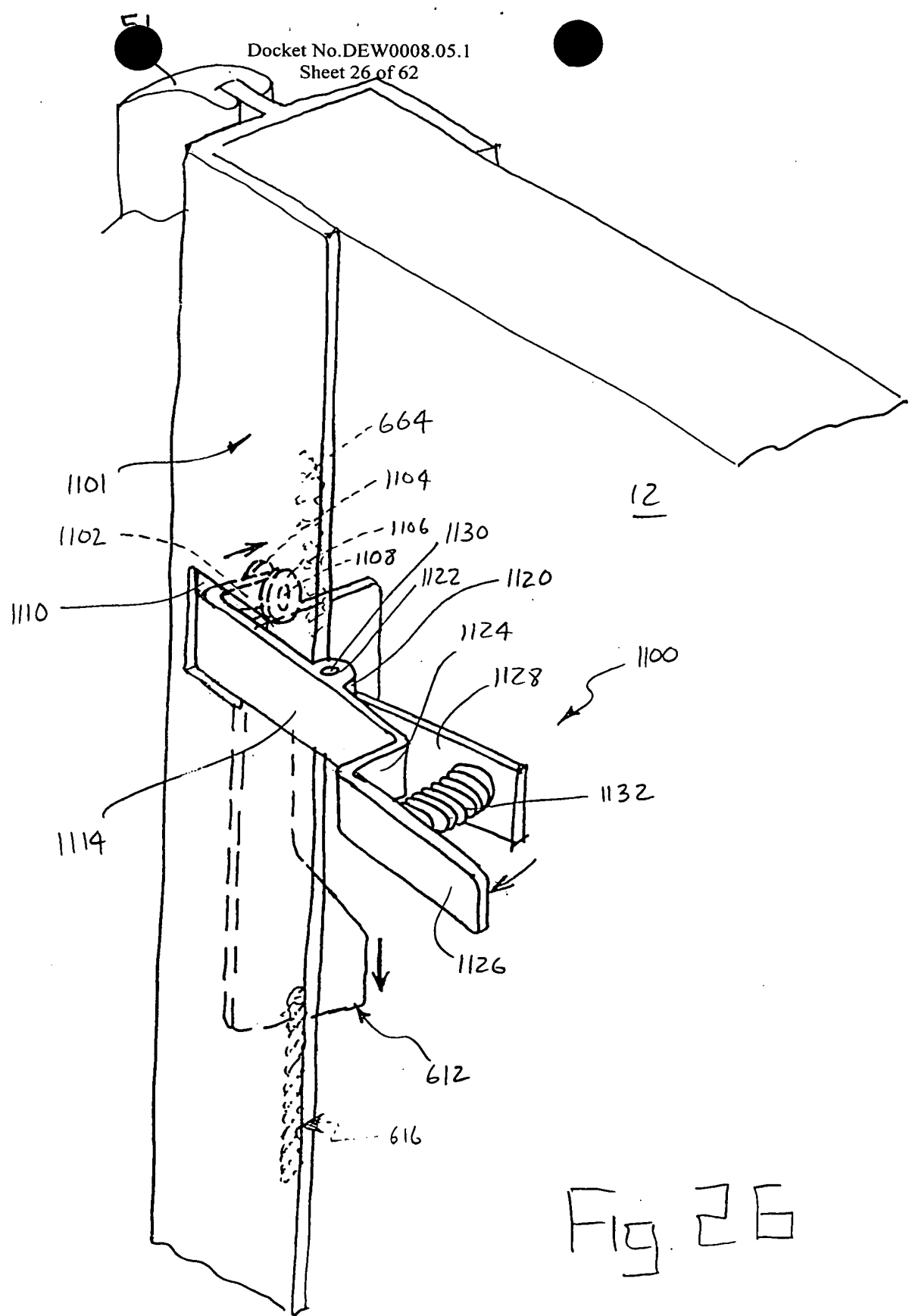
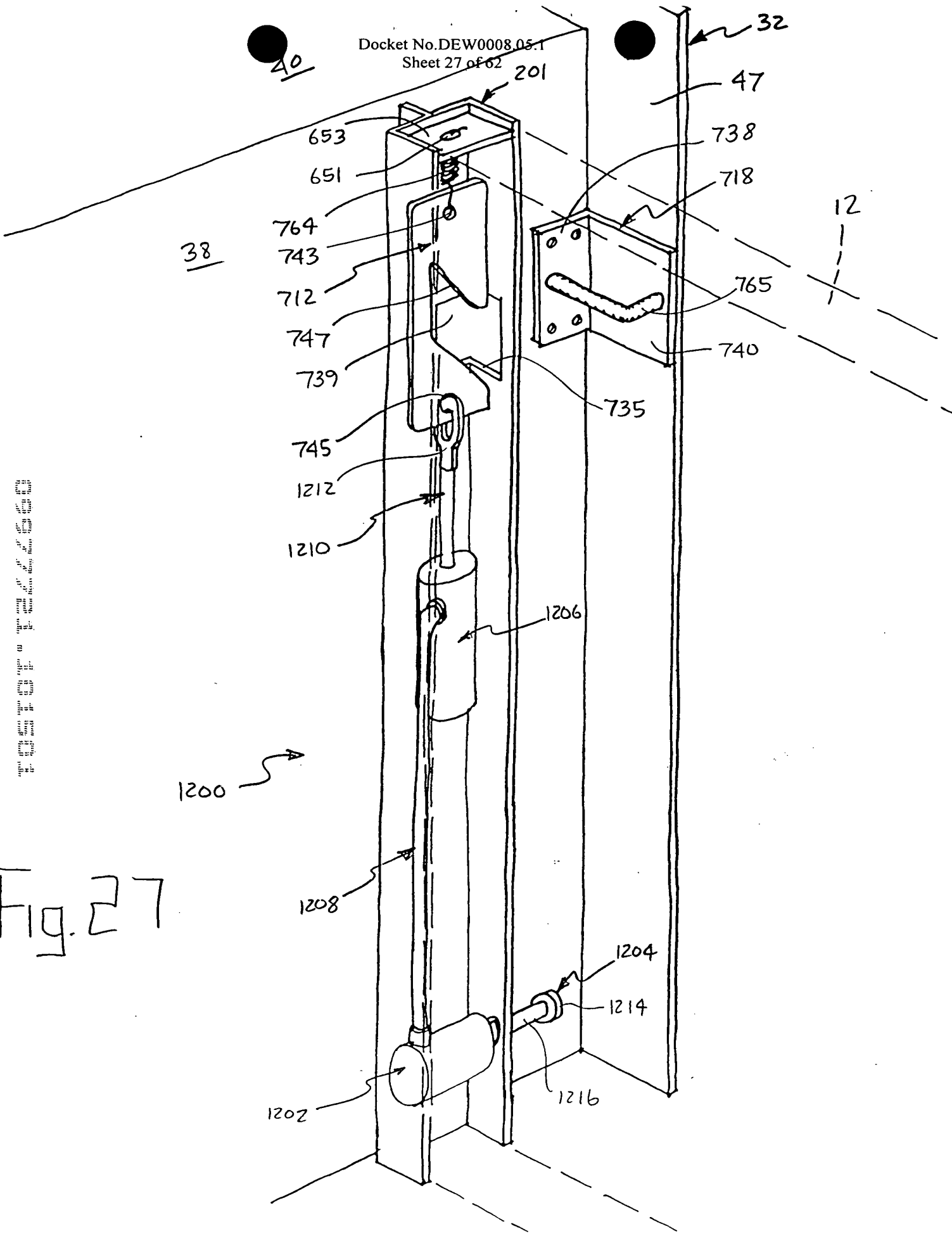


Fig. 26



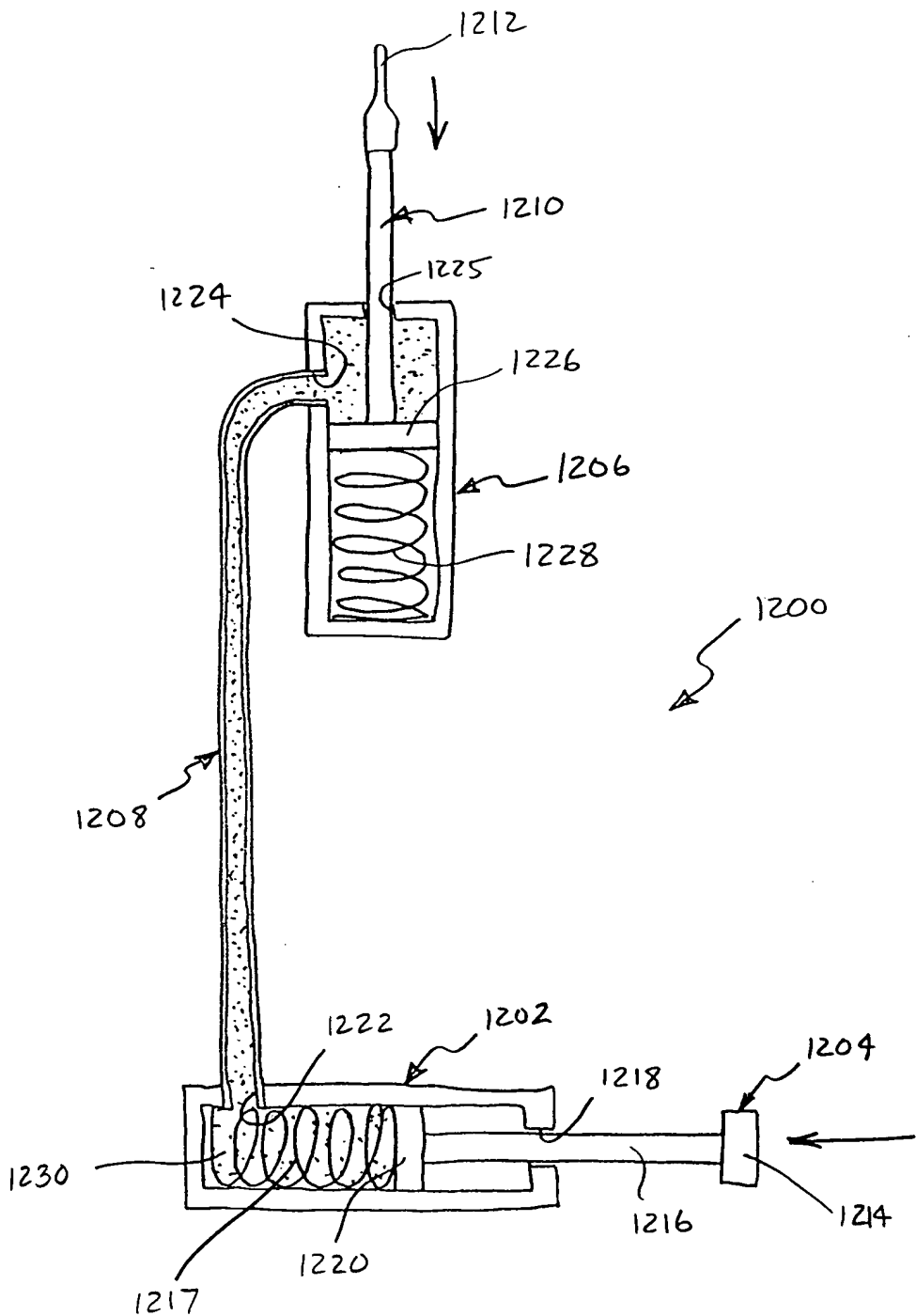


Fig. 28

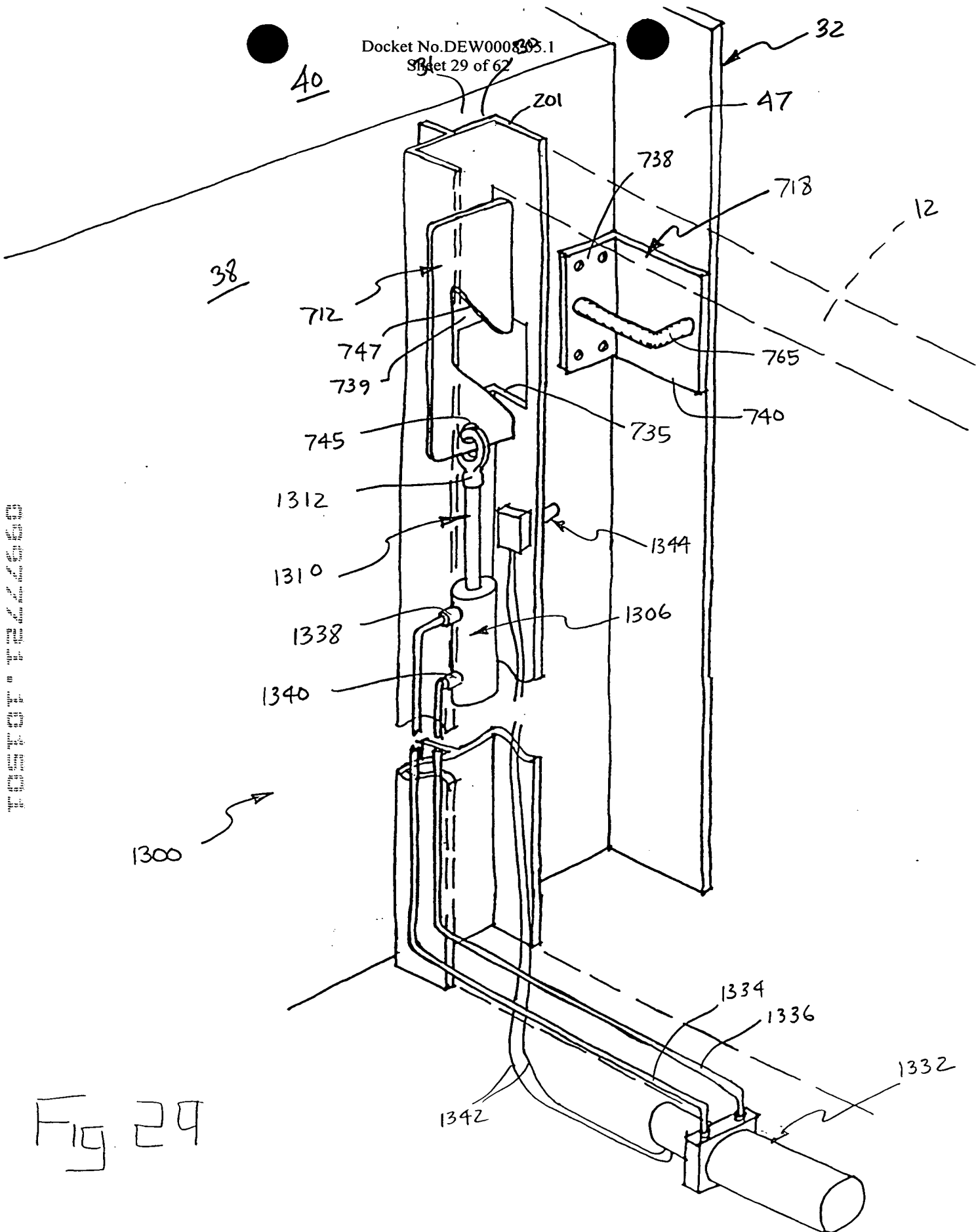


FIG 29

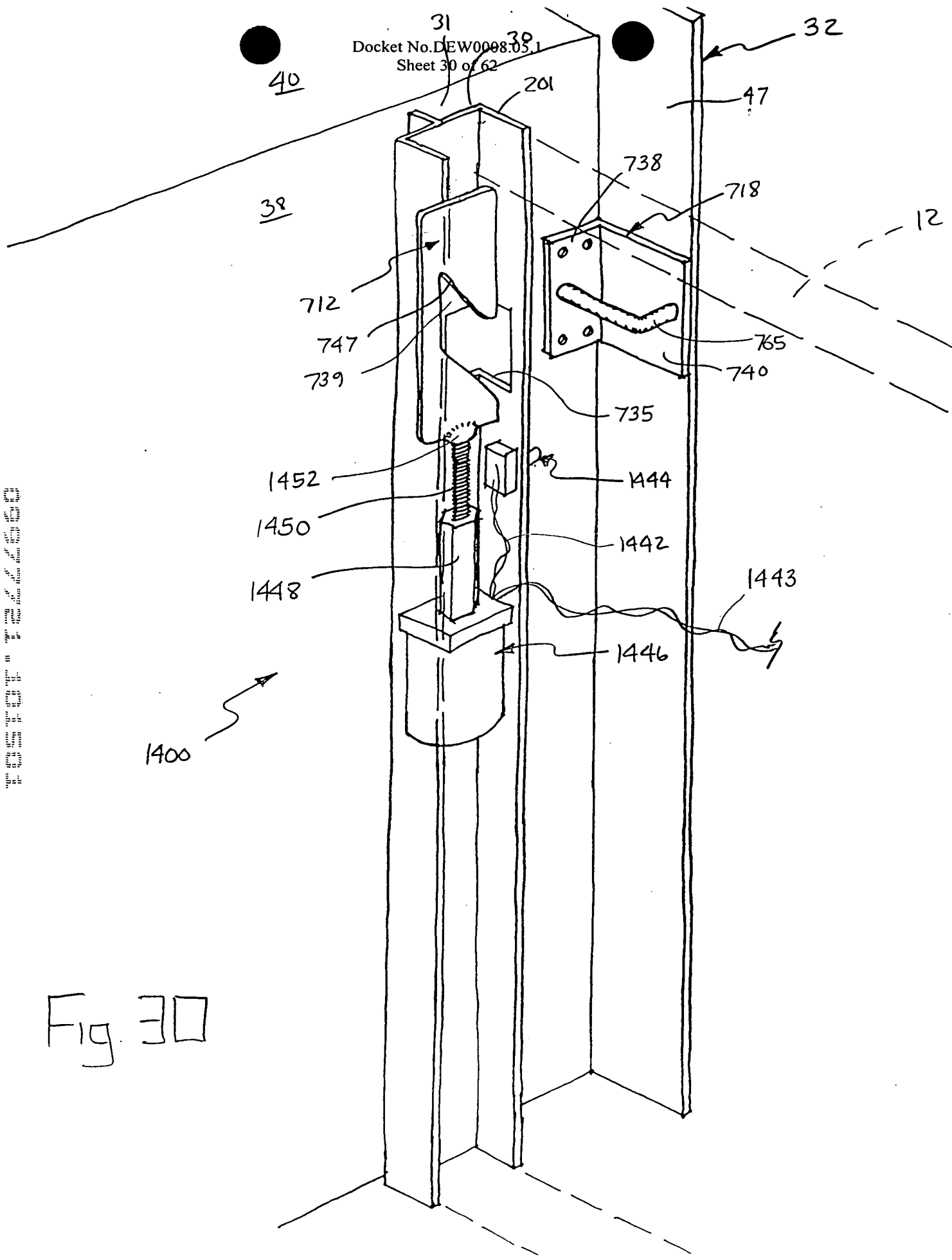
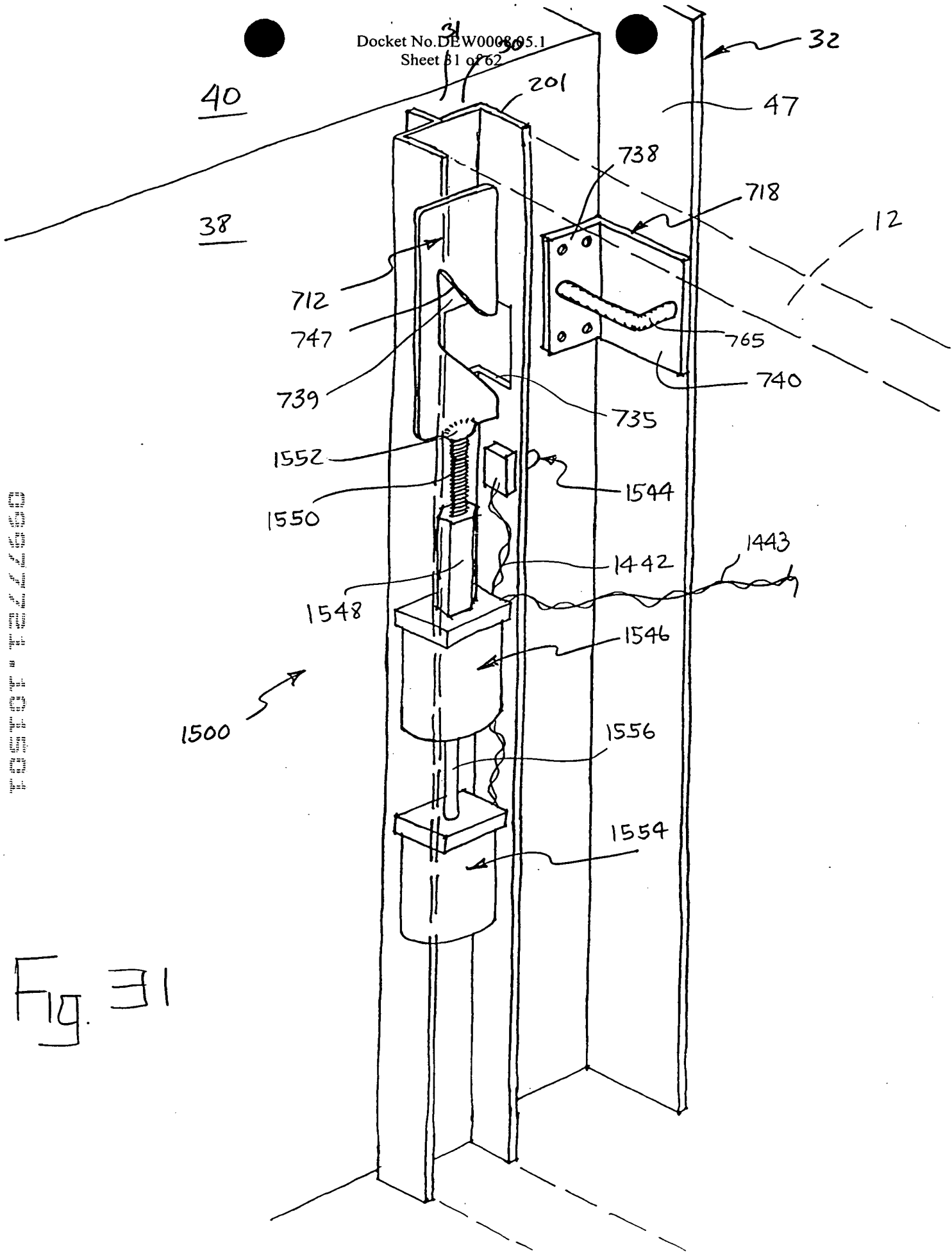
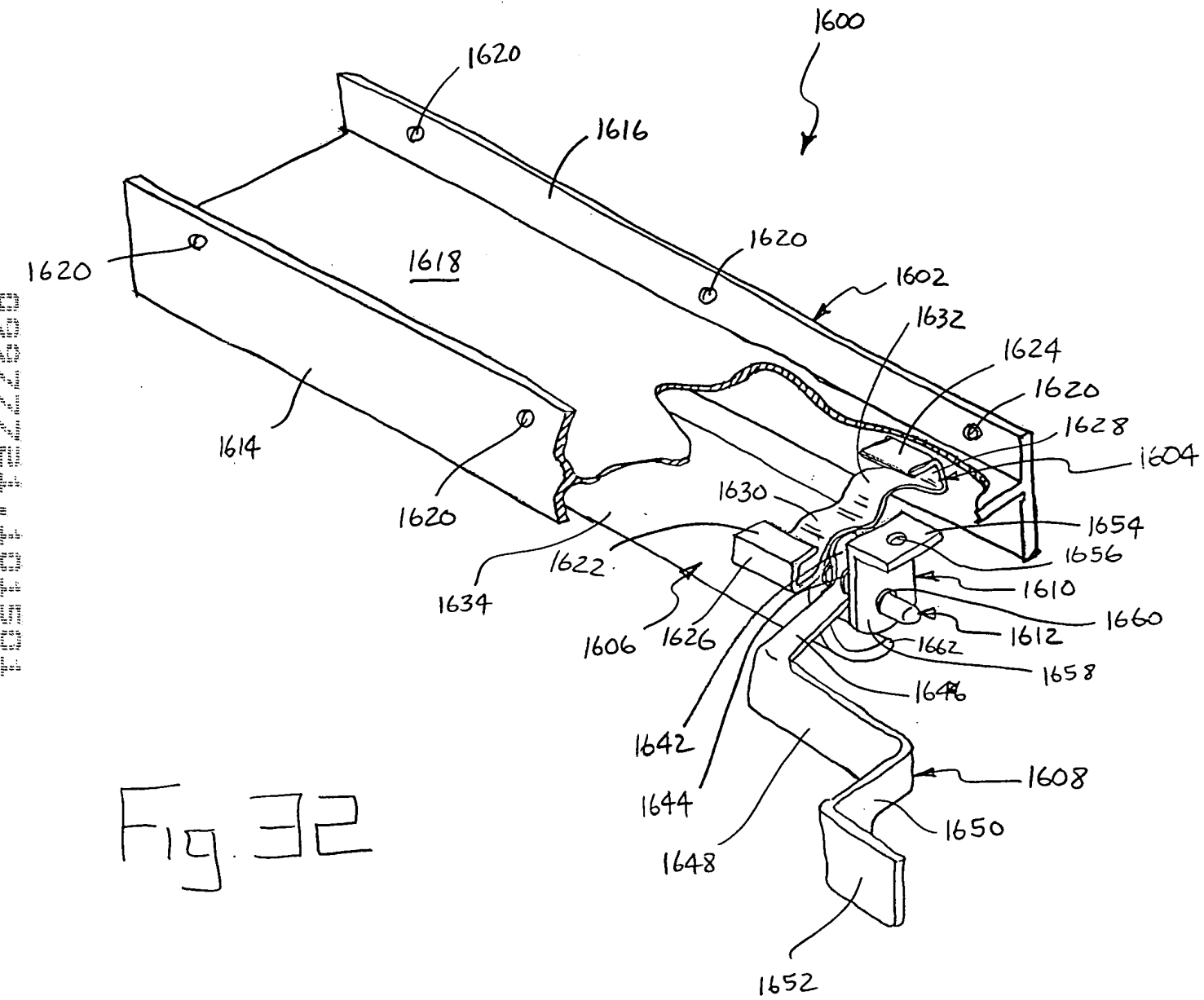


Fig. 30





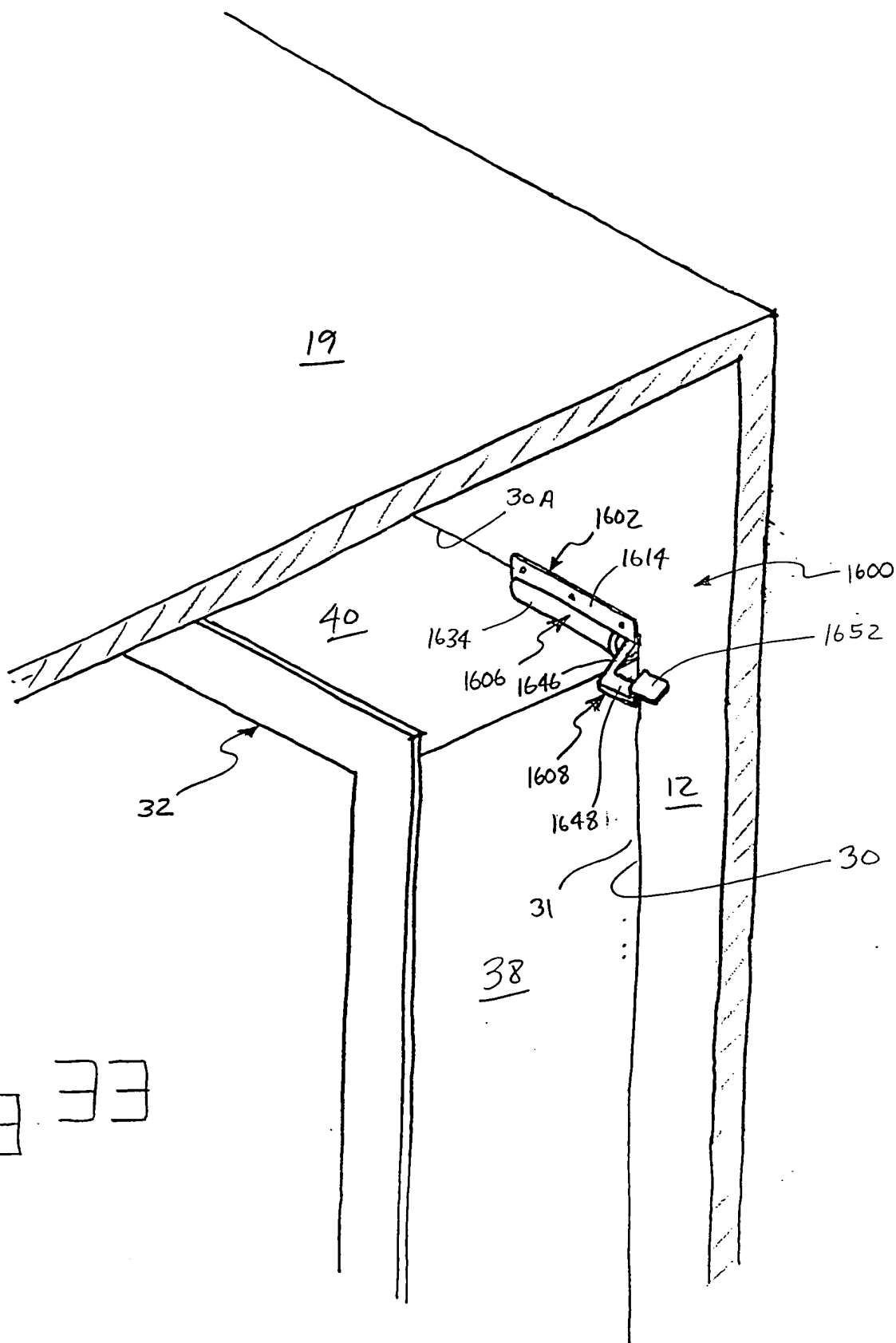
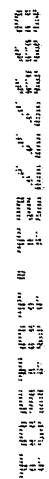


Fig. 33

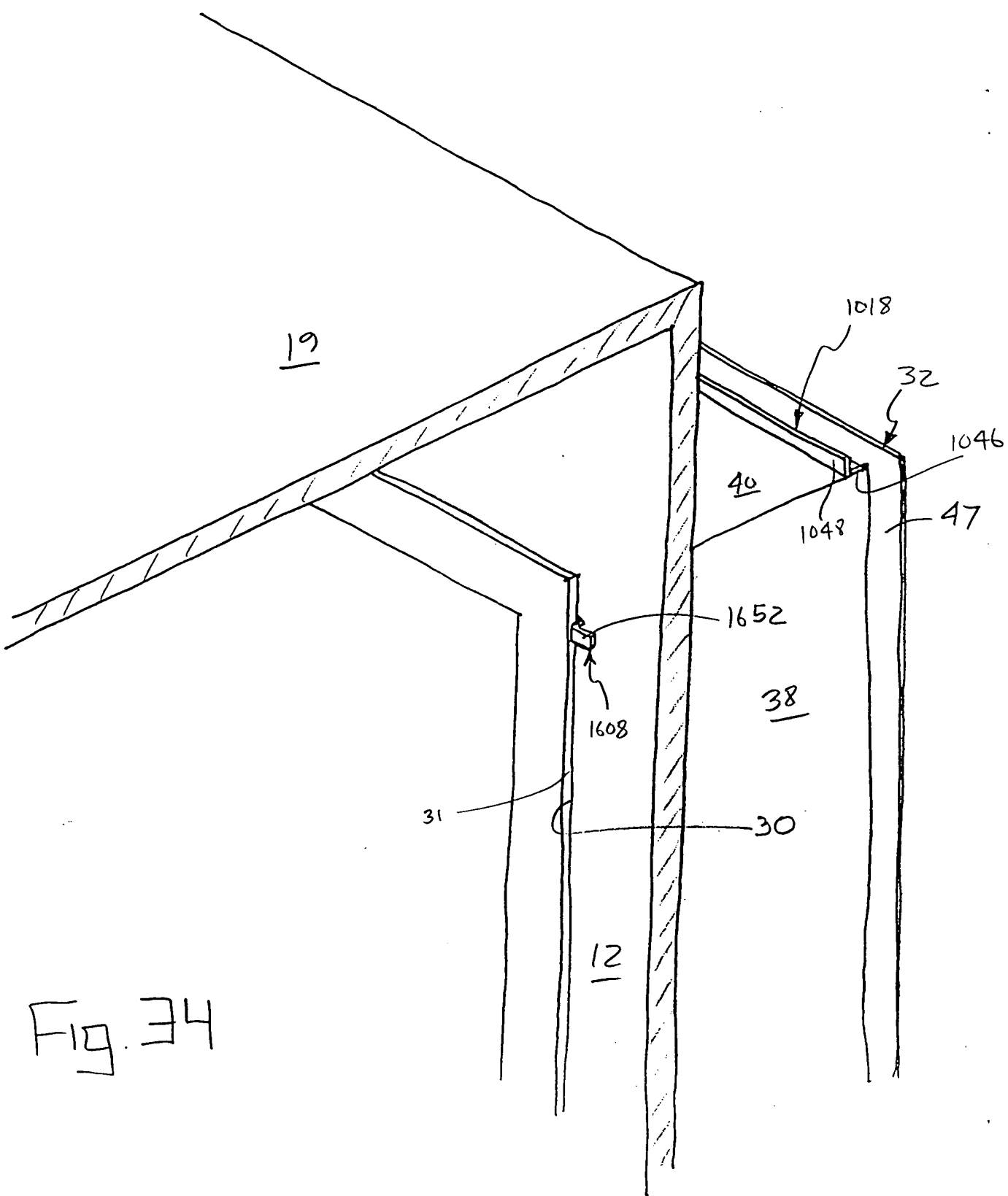


Fig. 34

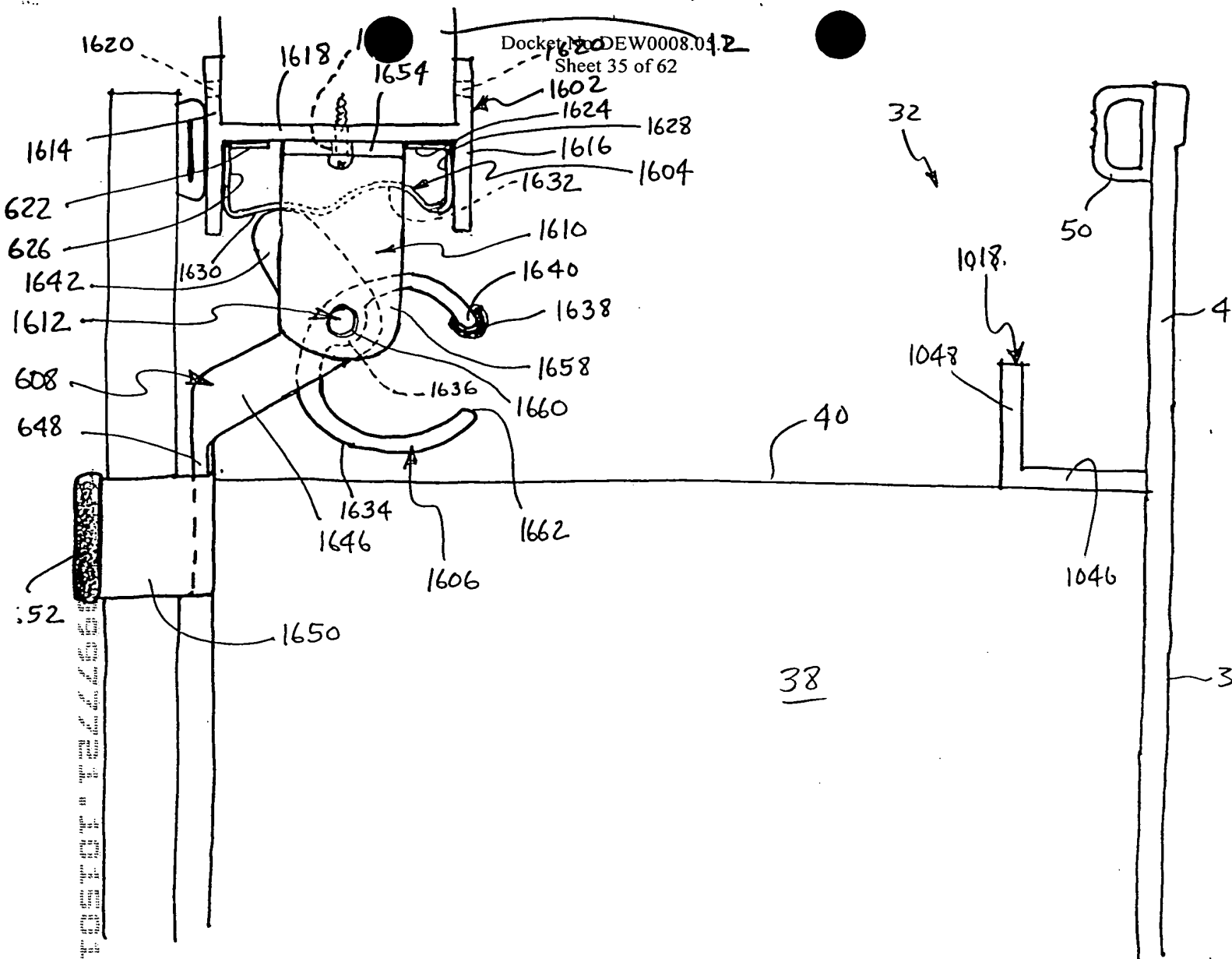


Fig. 35

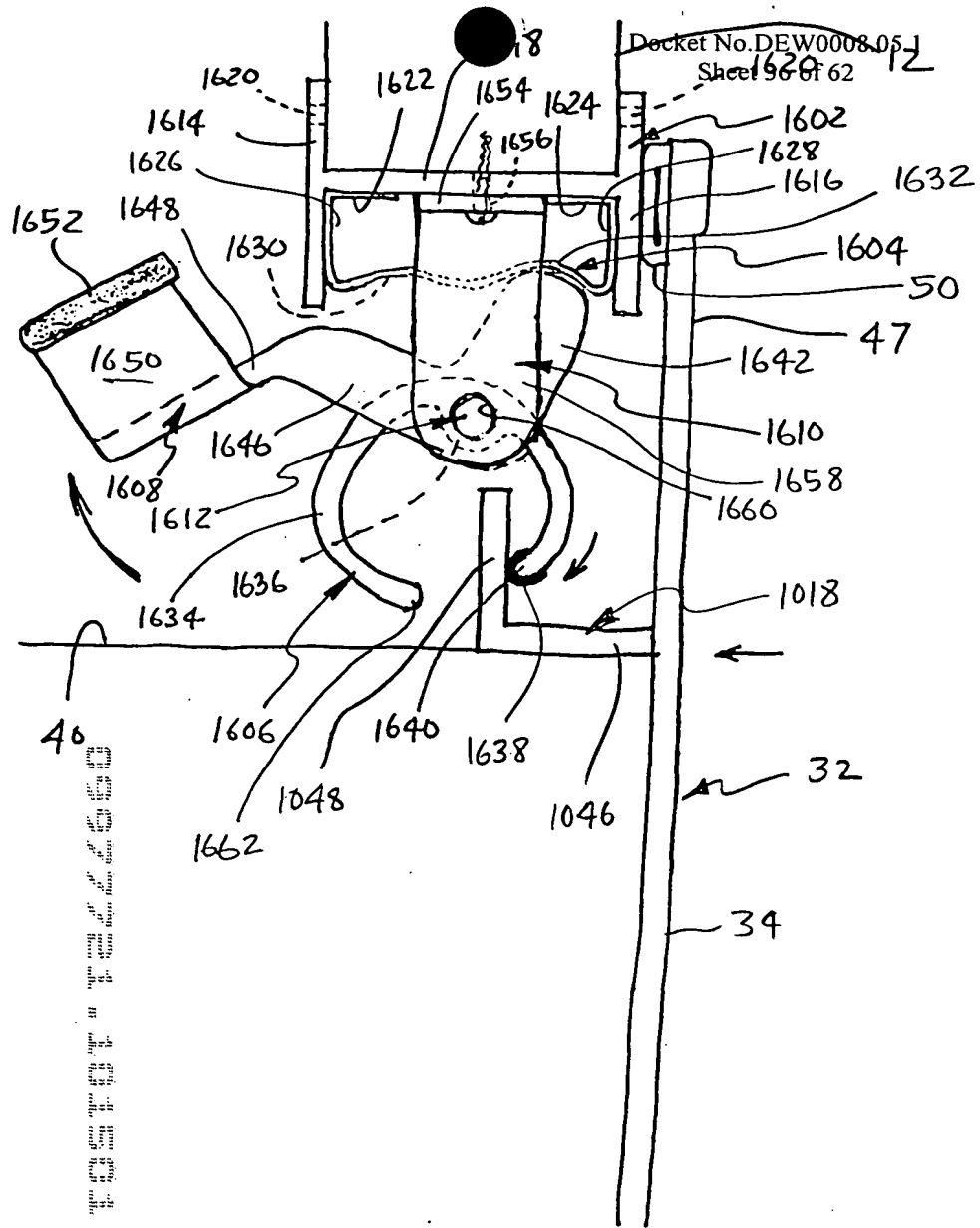


Fig. 35

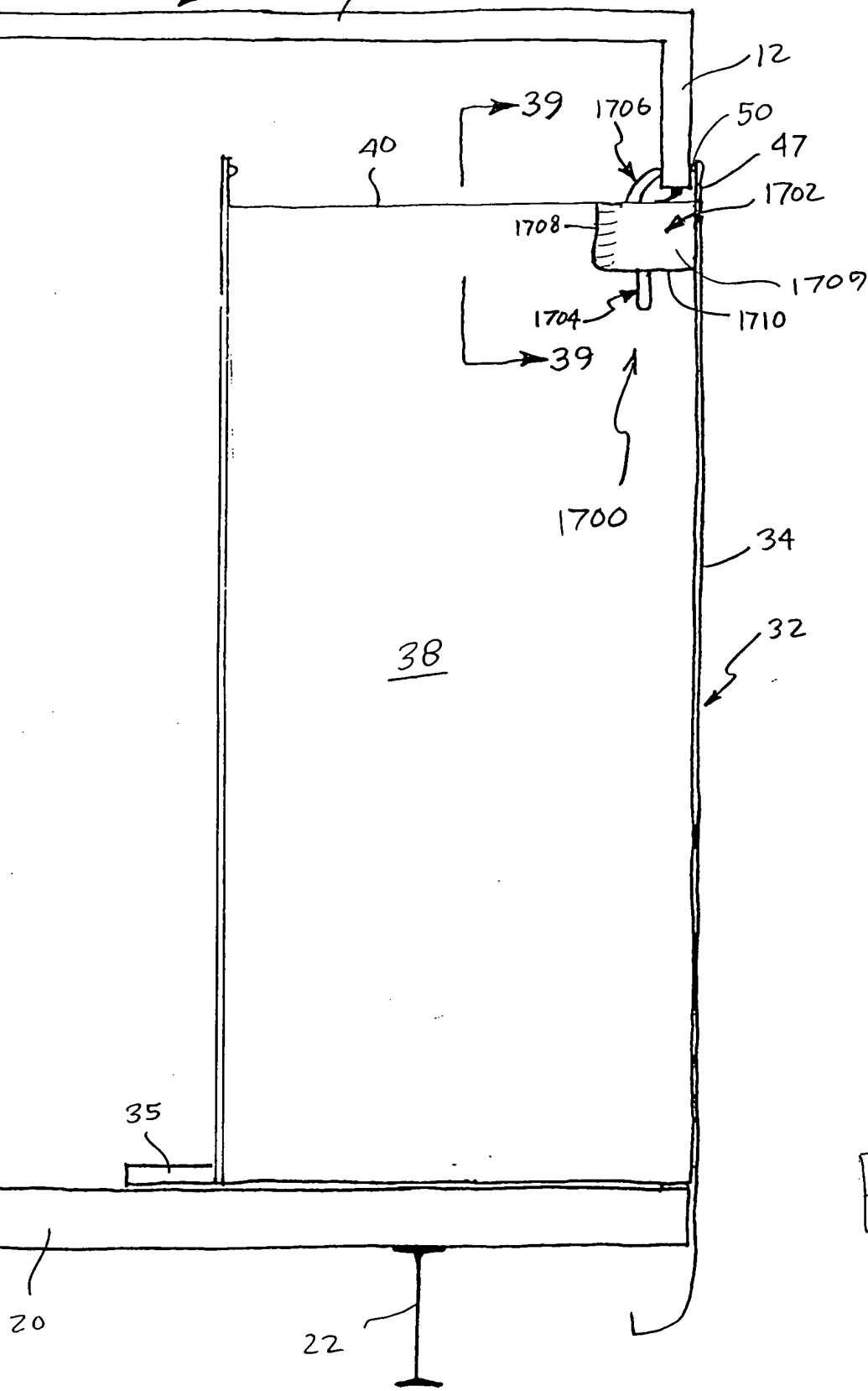


Fig. 37

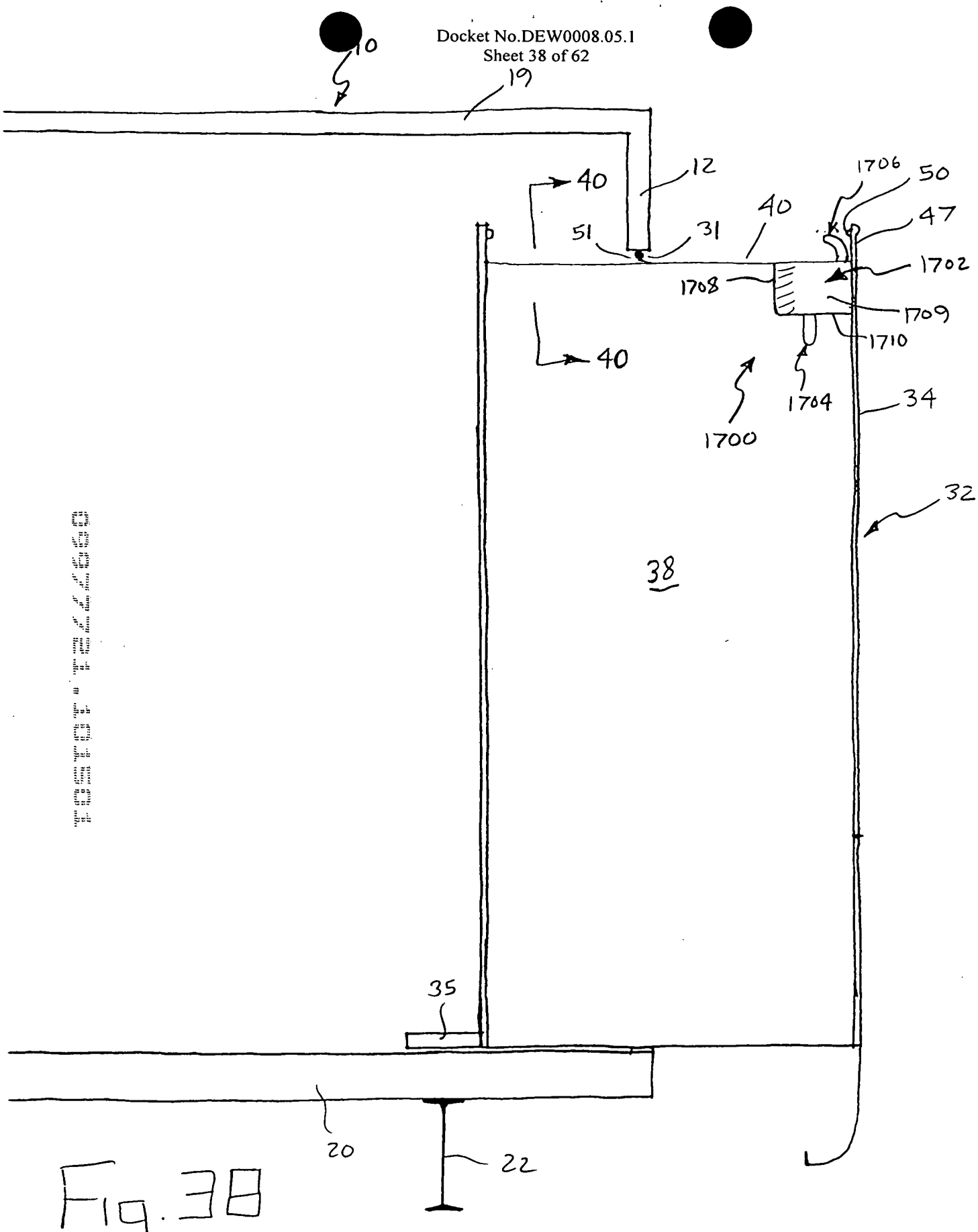


Fig. 38

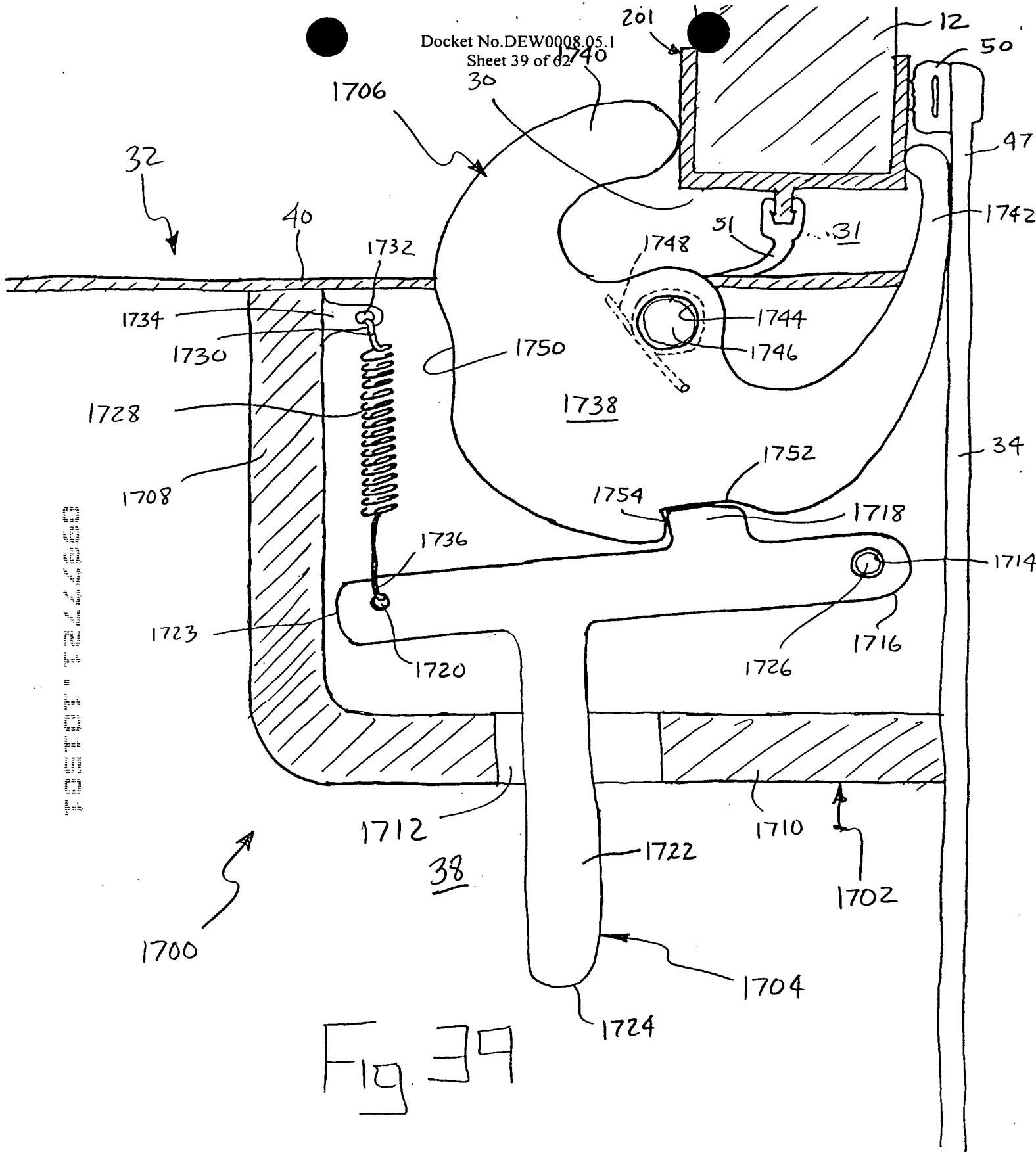
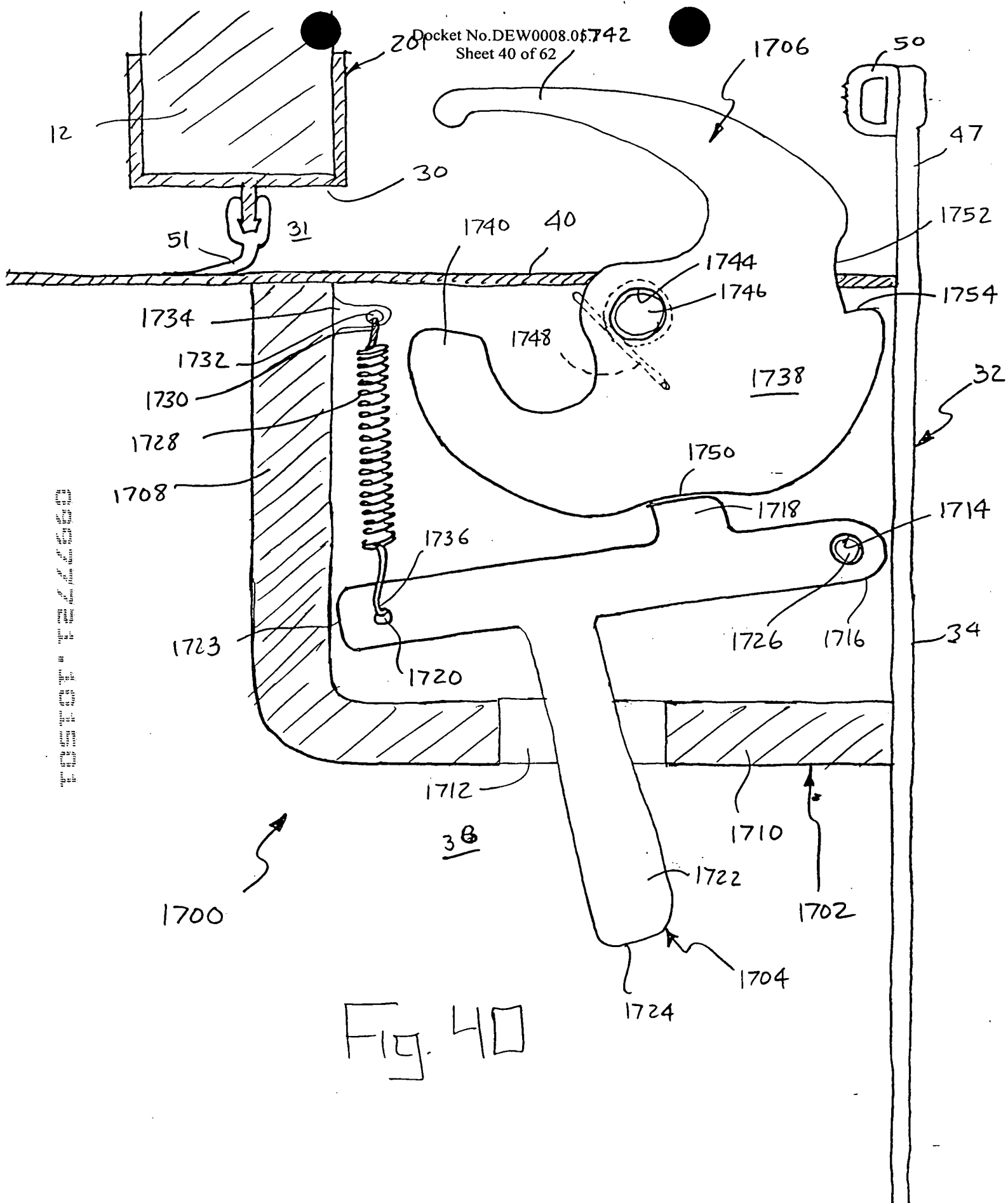
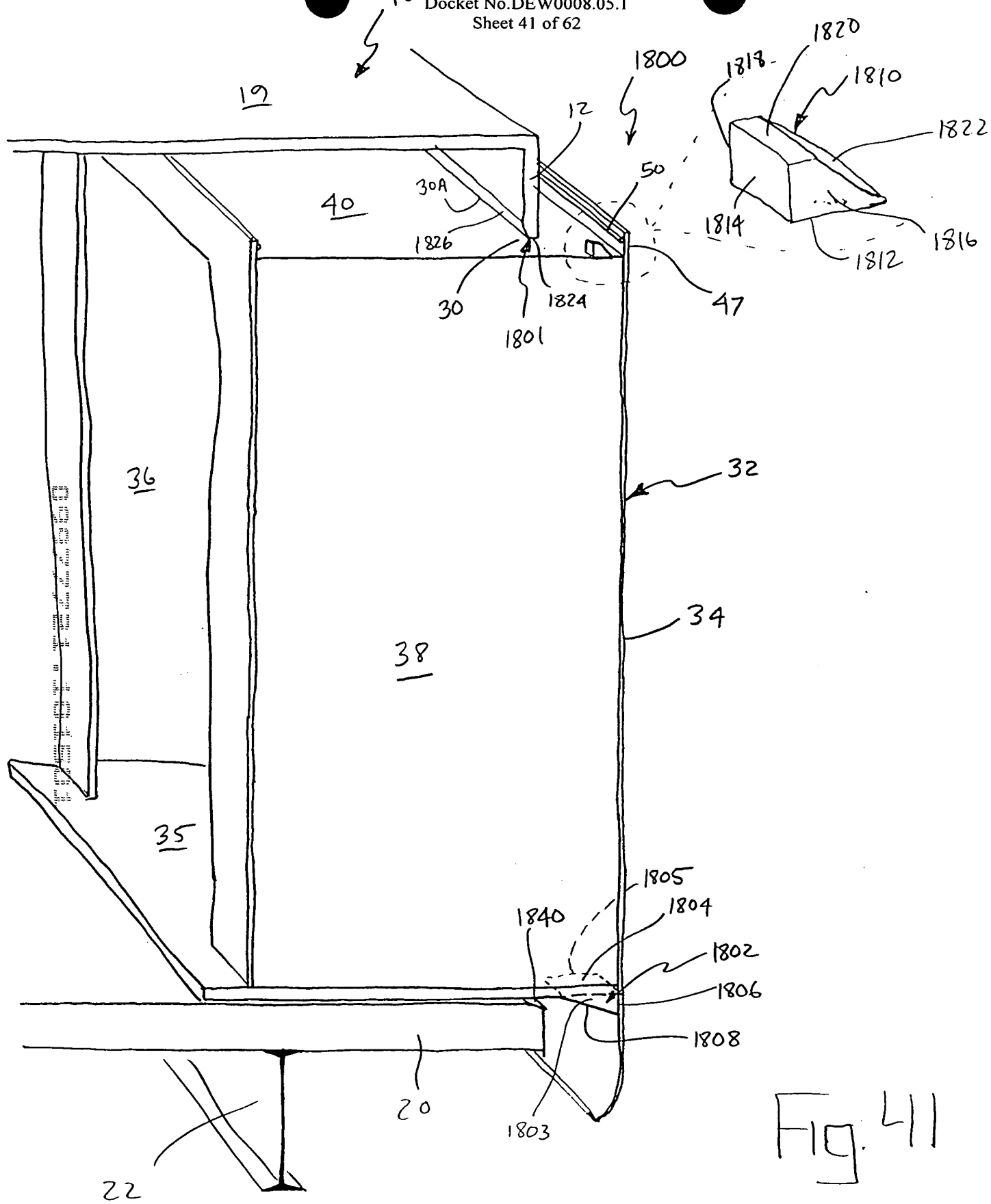


Fig. 39





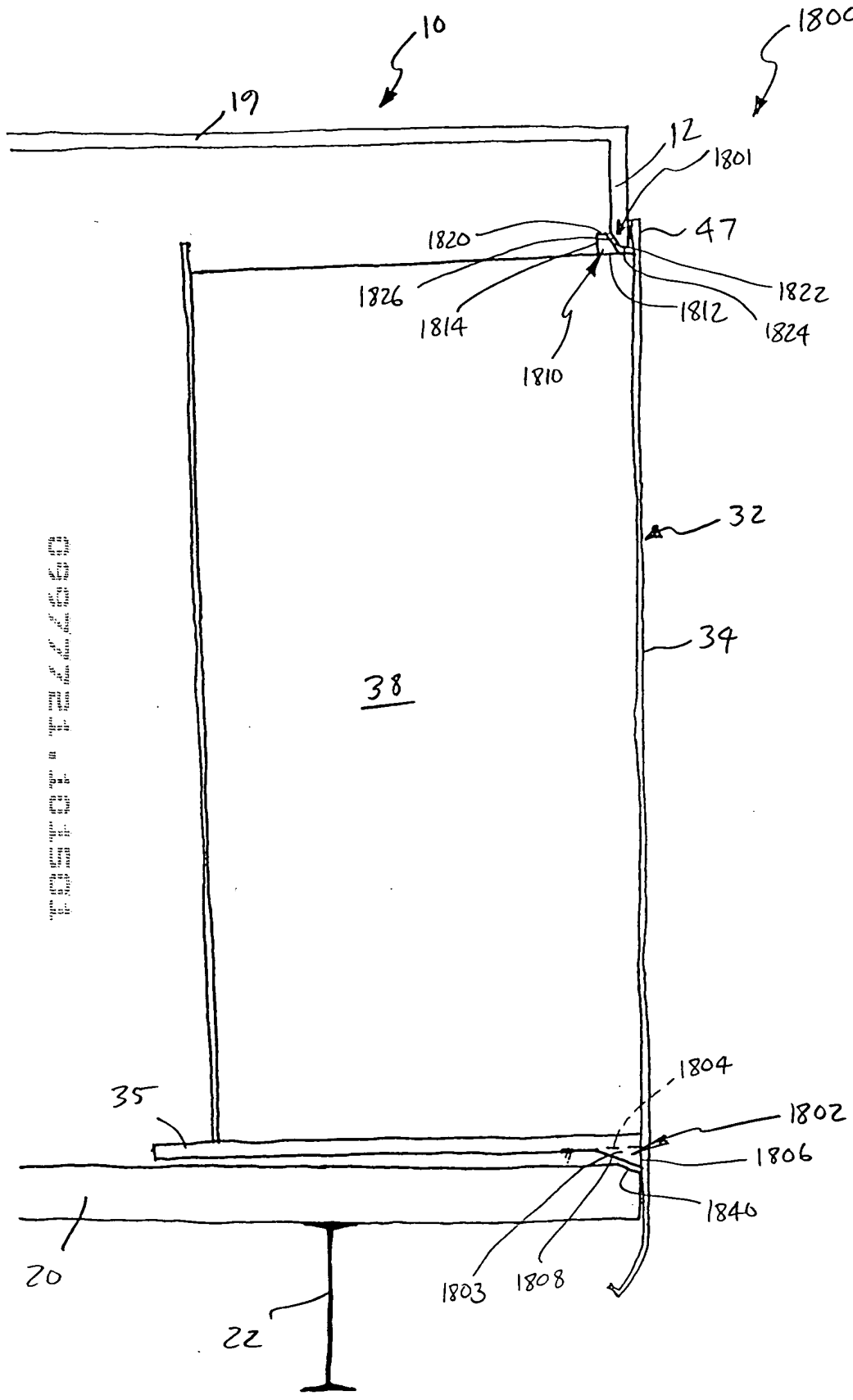


Fig. 42

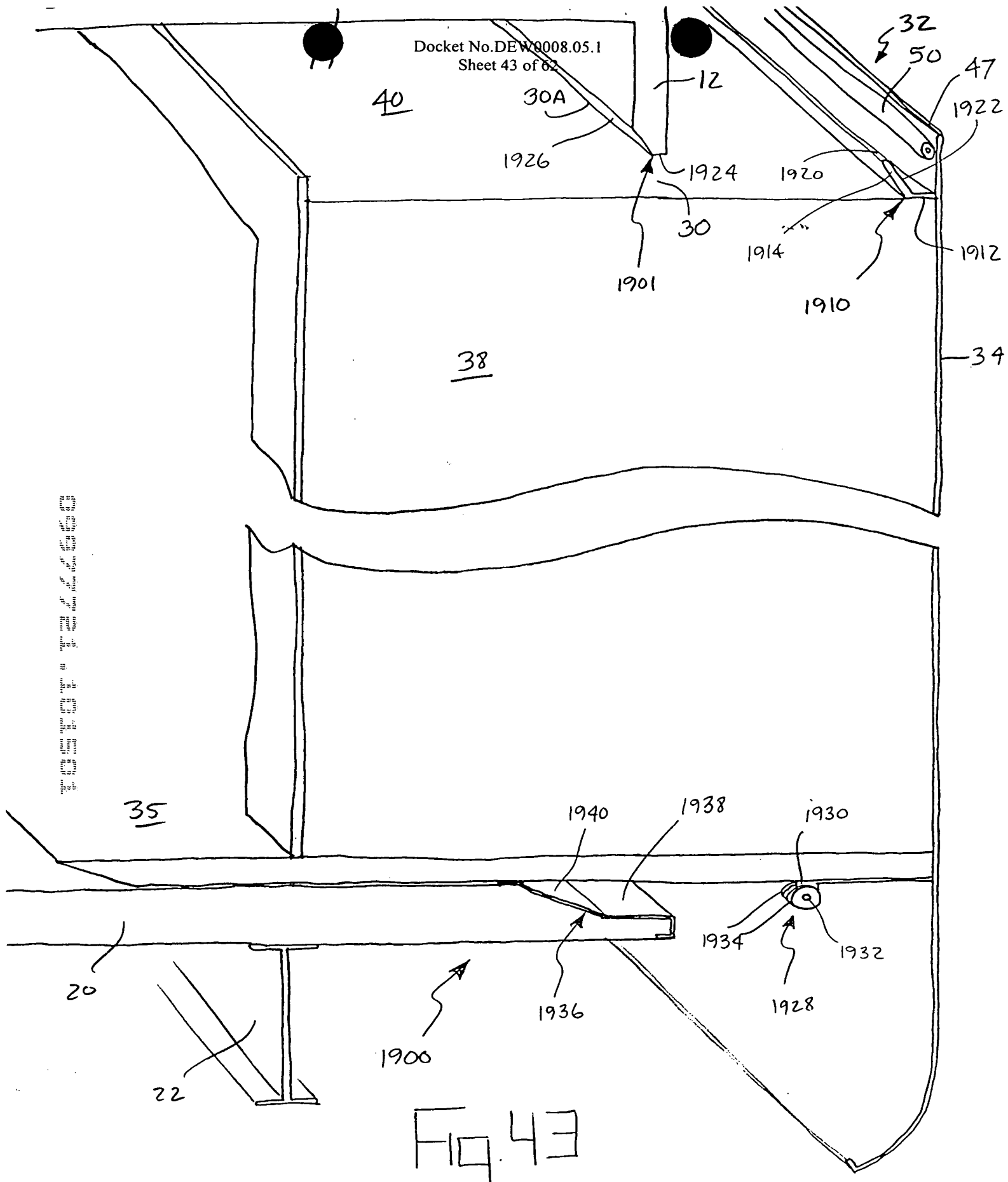


Fig. 43

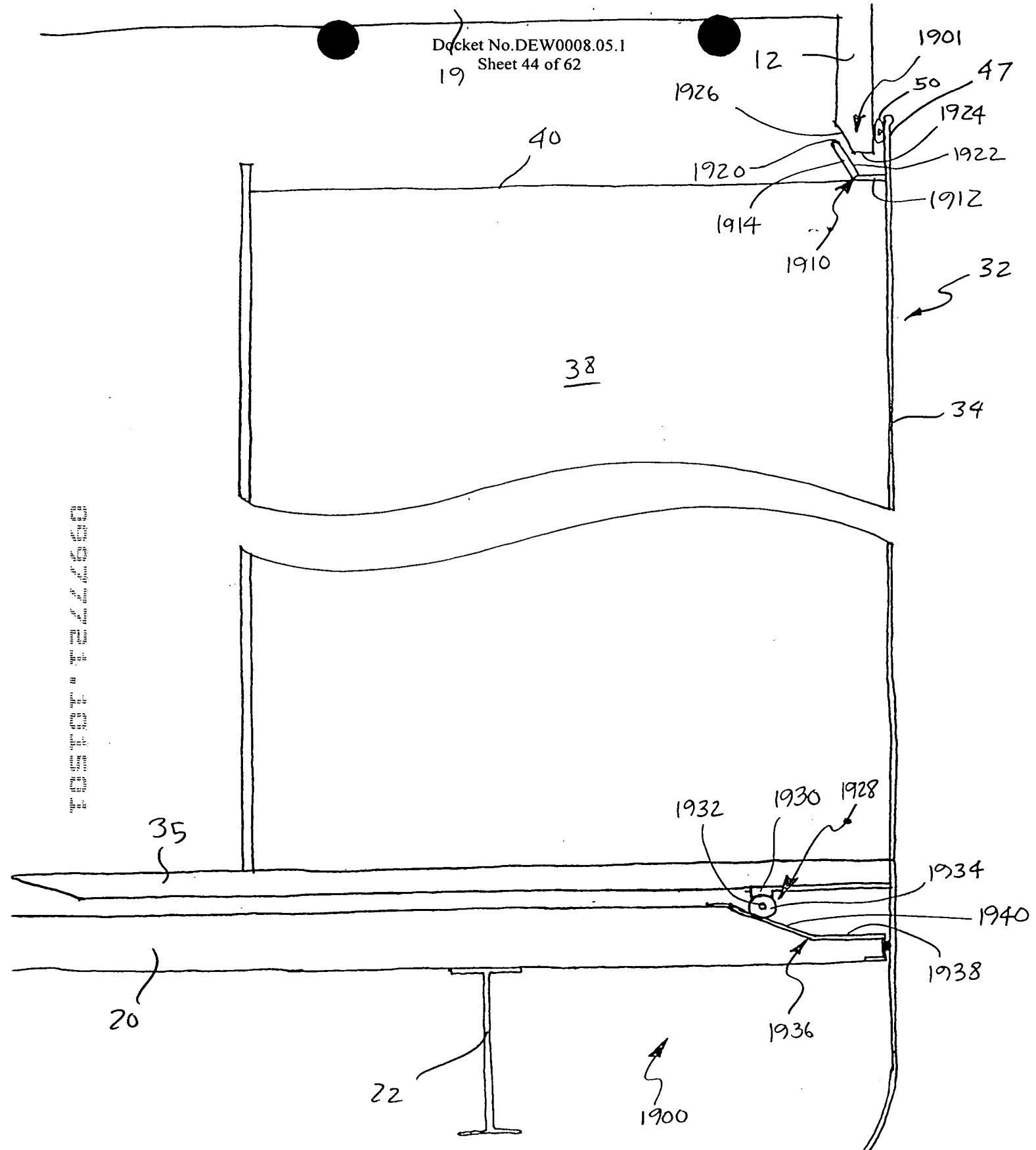


FIG. 44

40

2044

2048

51

31

38

30

2012

2014

34

50
2020

2022

2010

32

35

2040

2034

2030

2036

2038

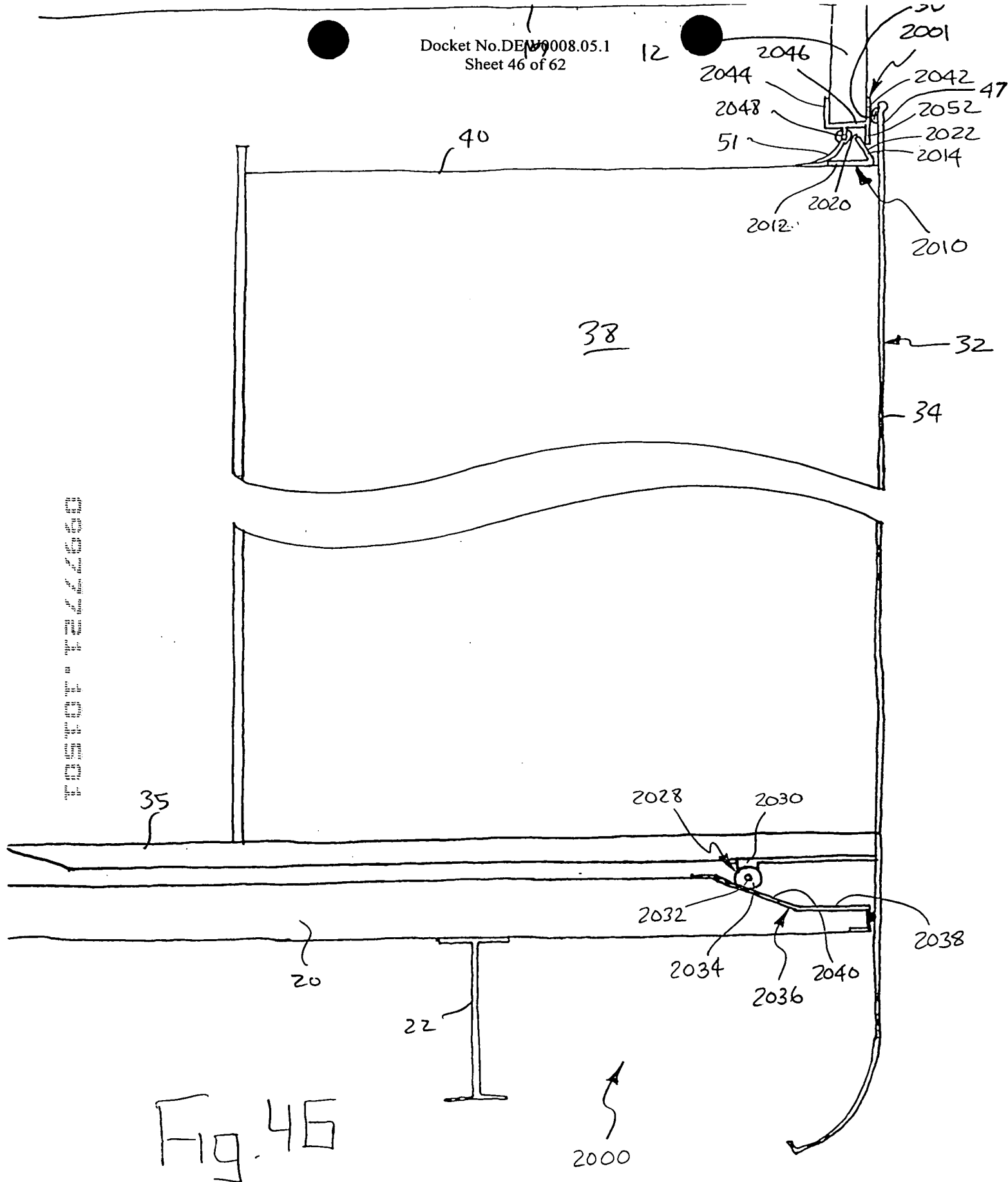
2028

20

22

FIG. 45

2000



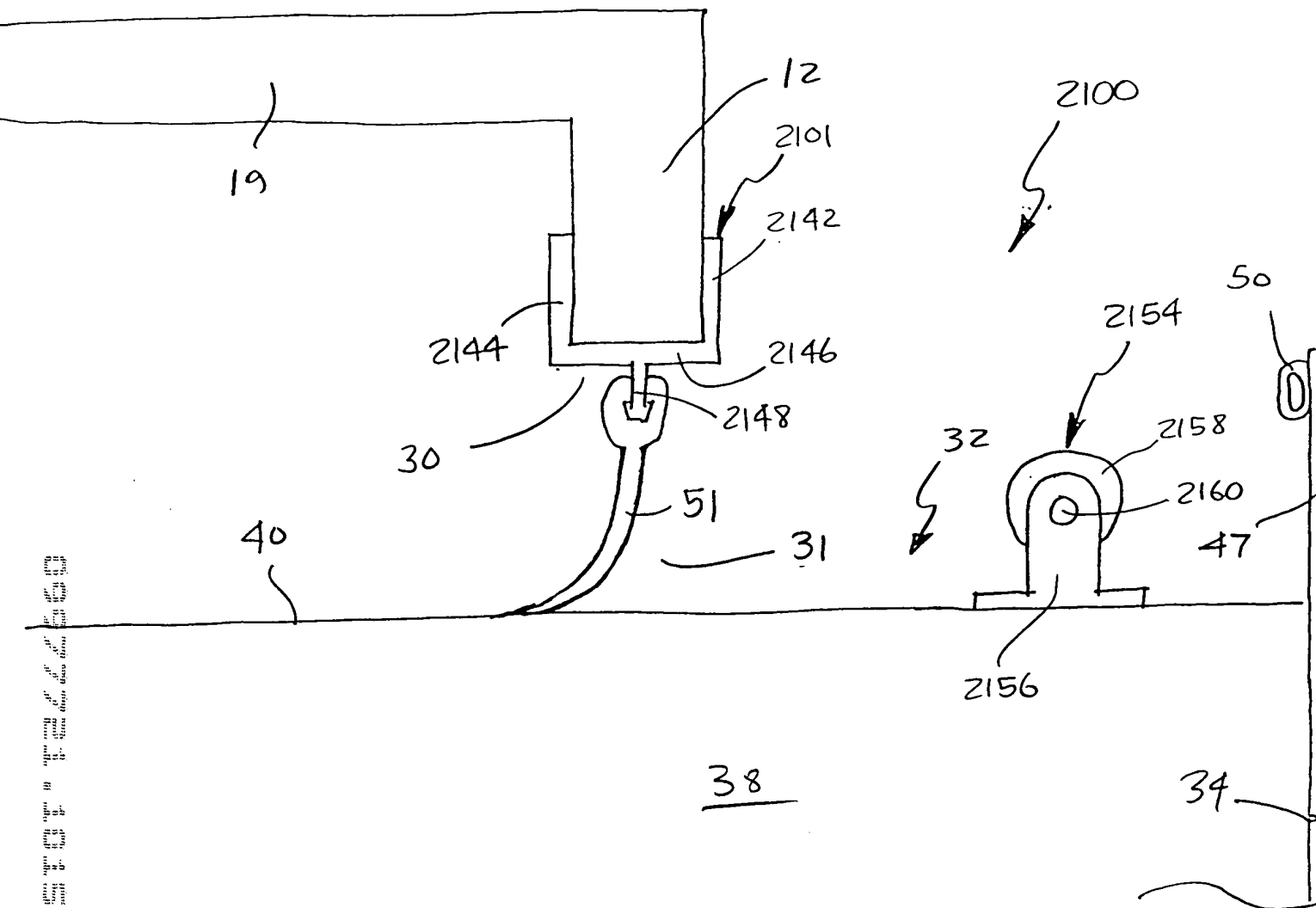
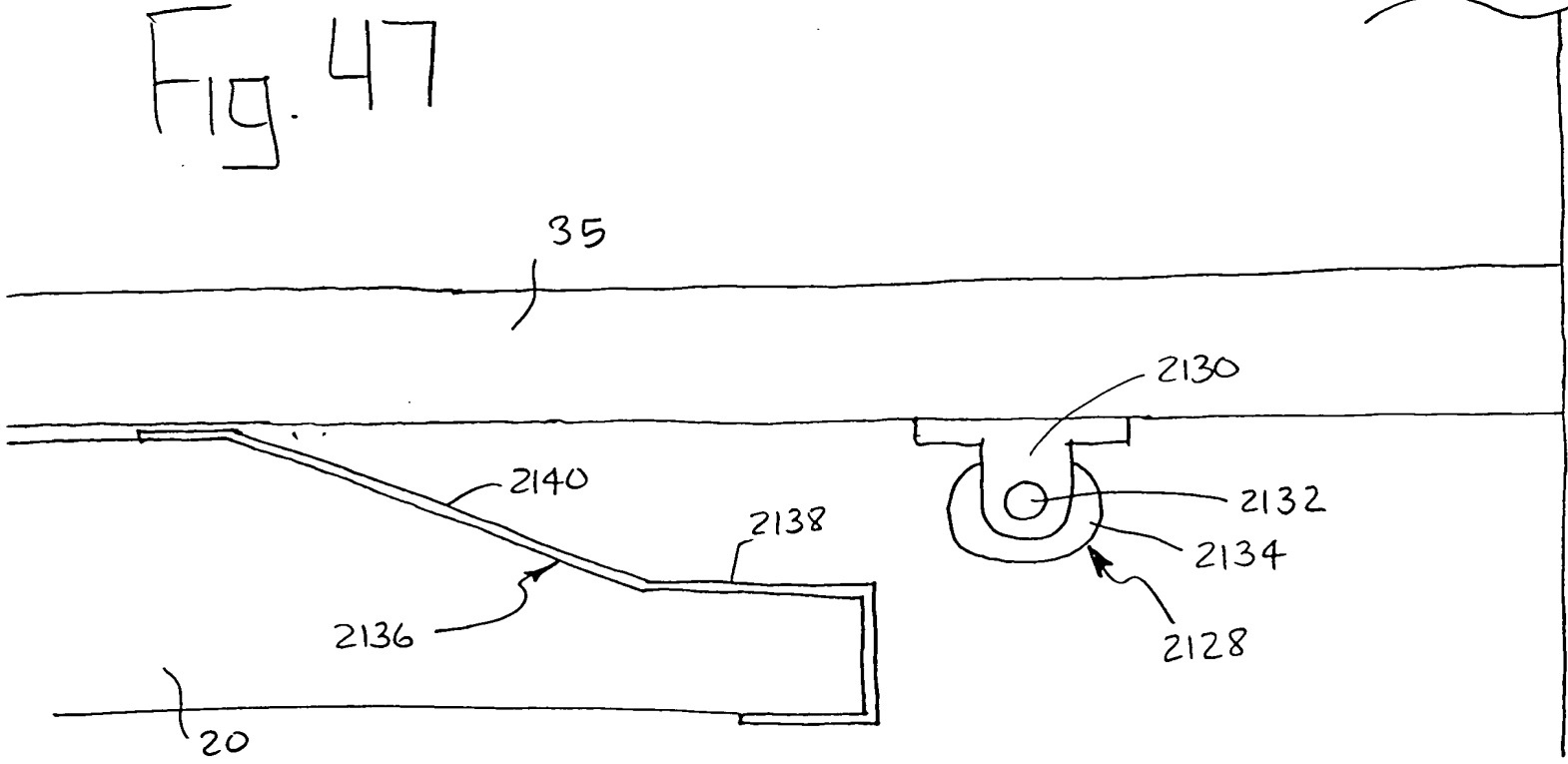


Fig. 47



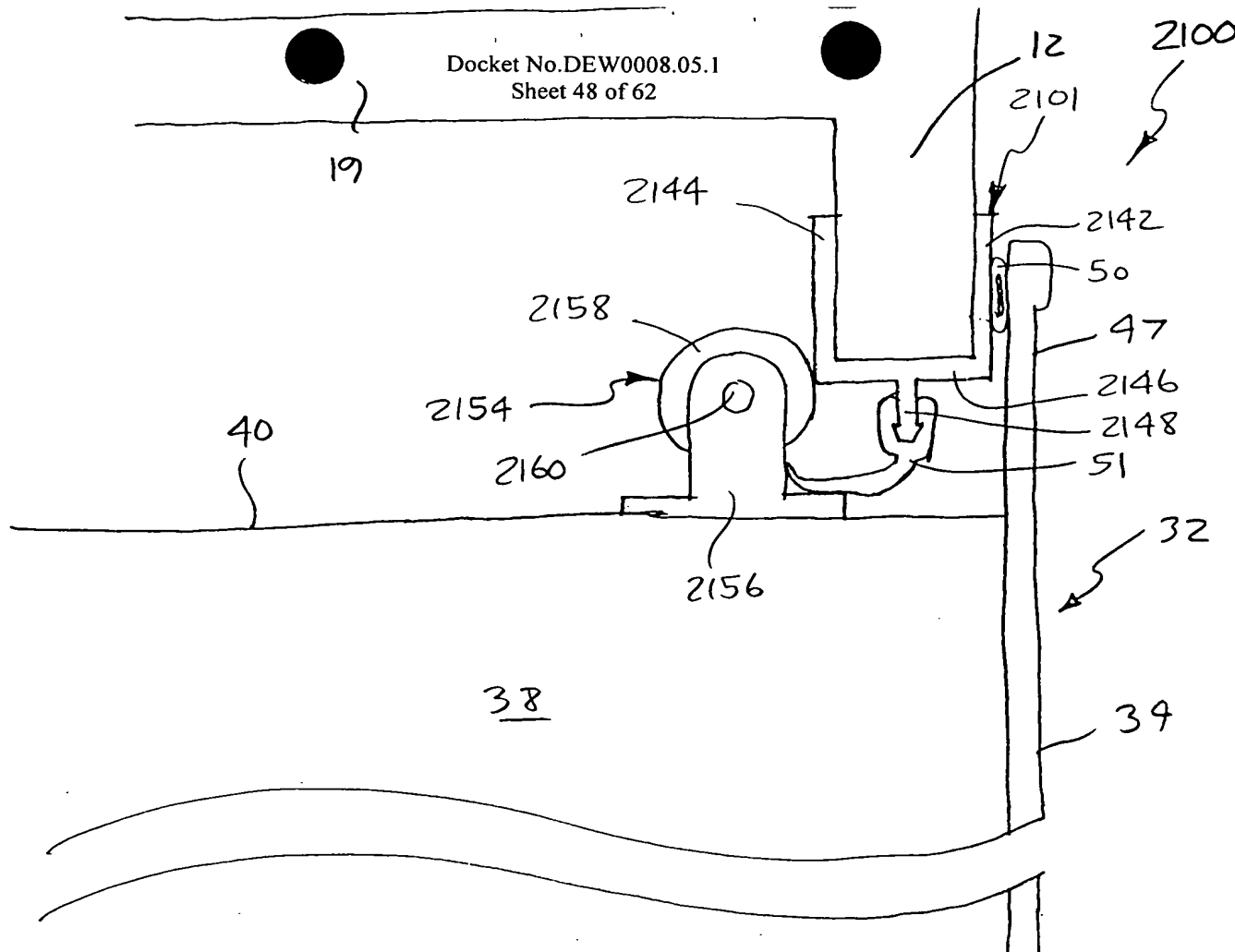
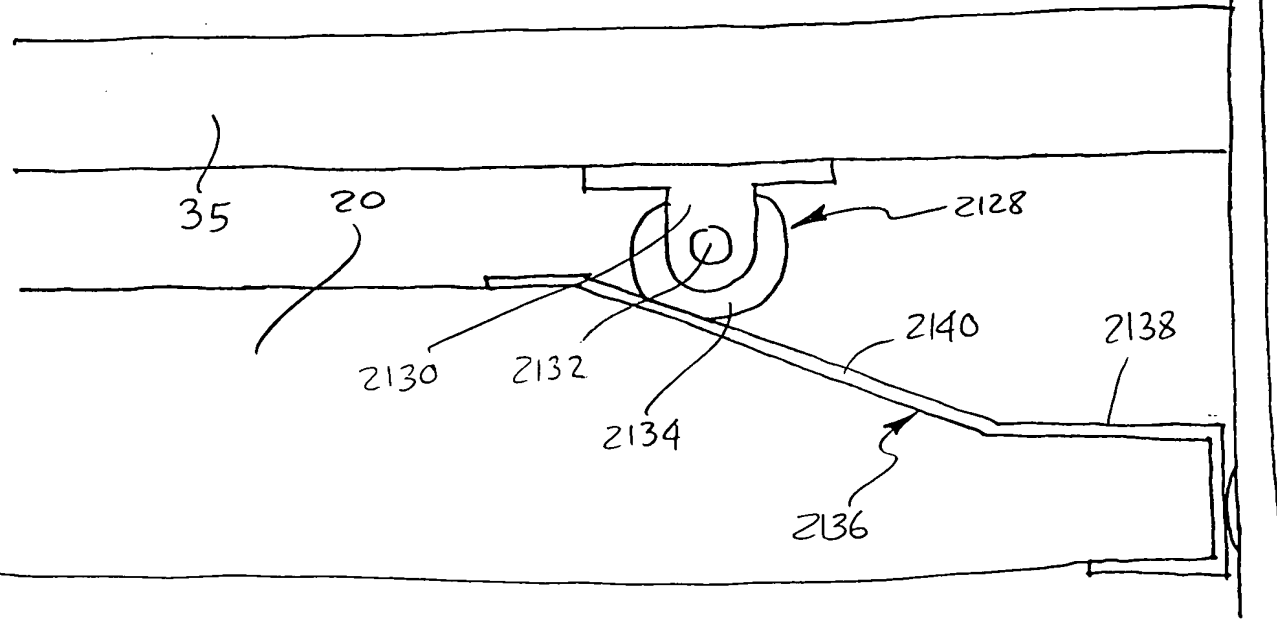


Fig 48



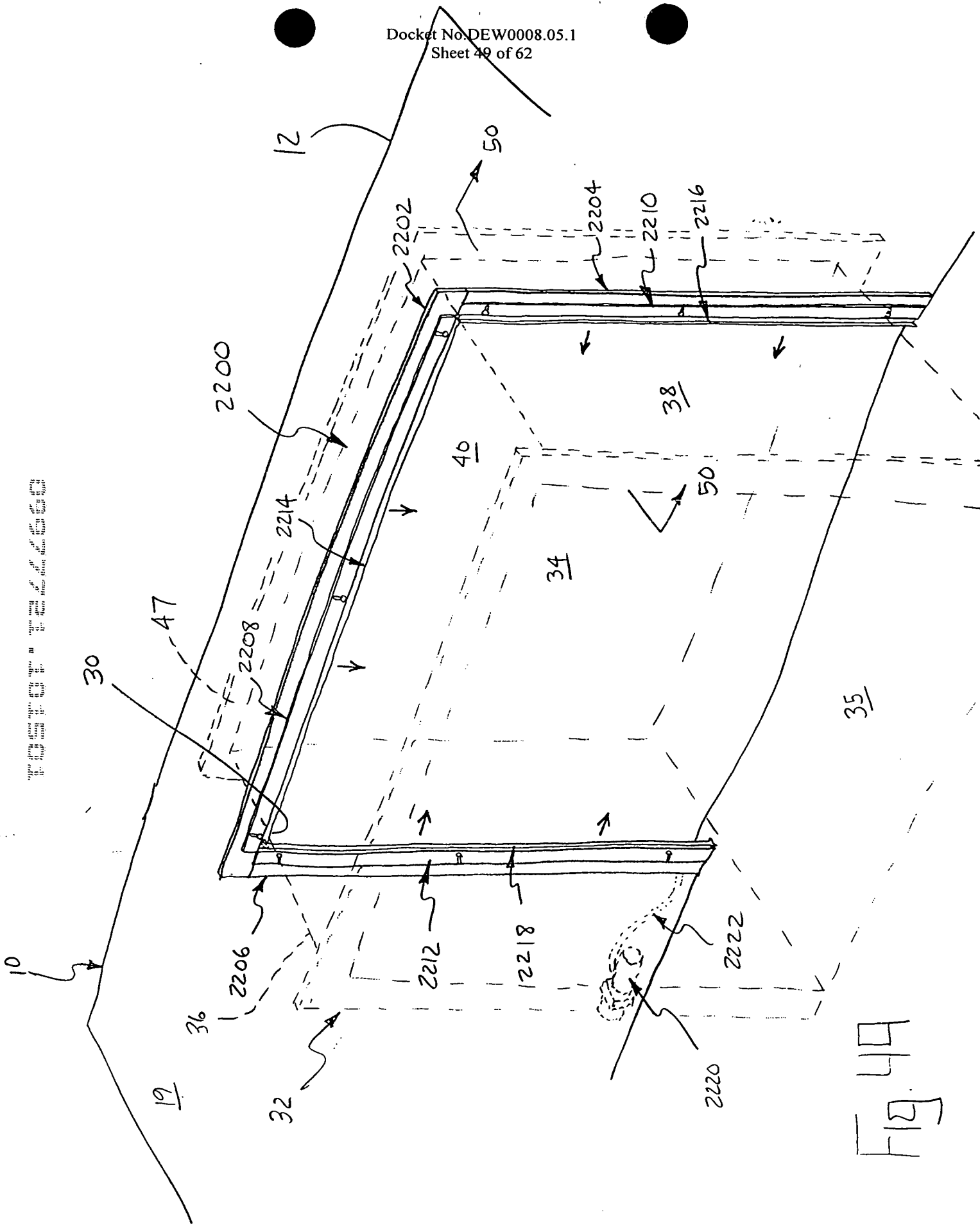


Fig. 4A

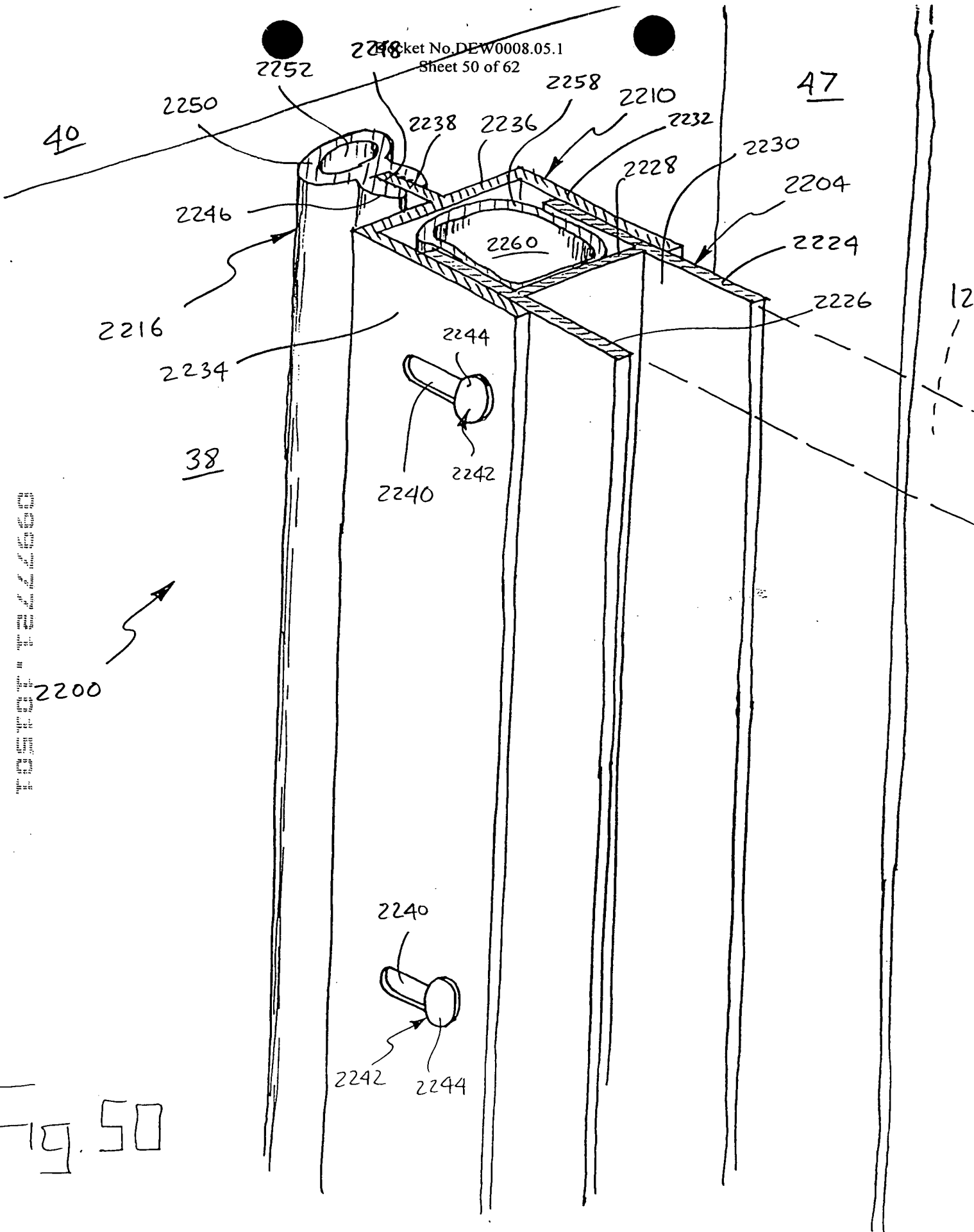
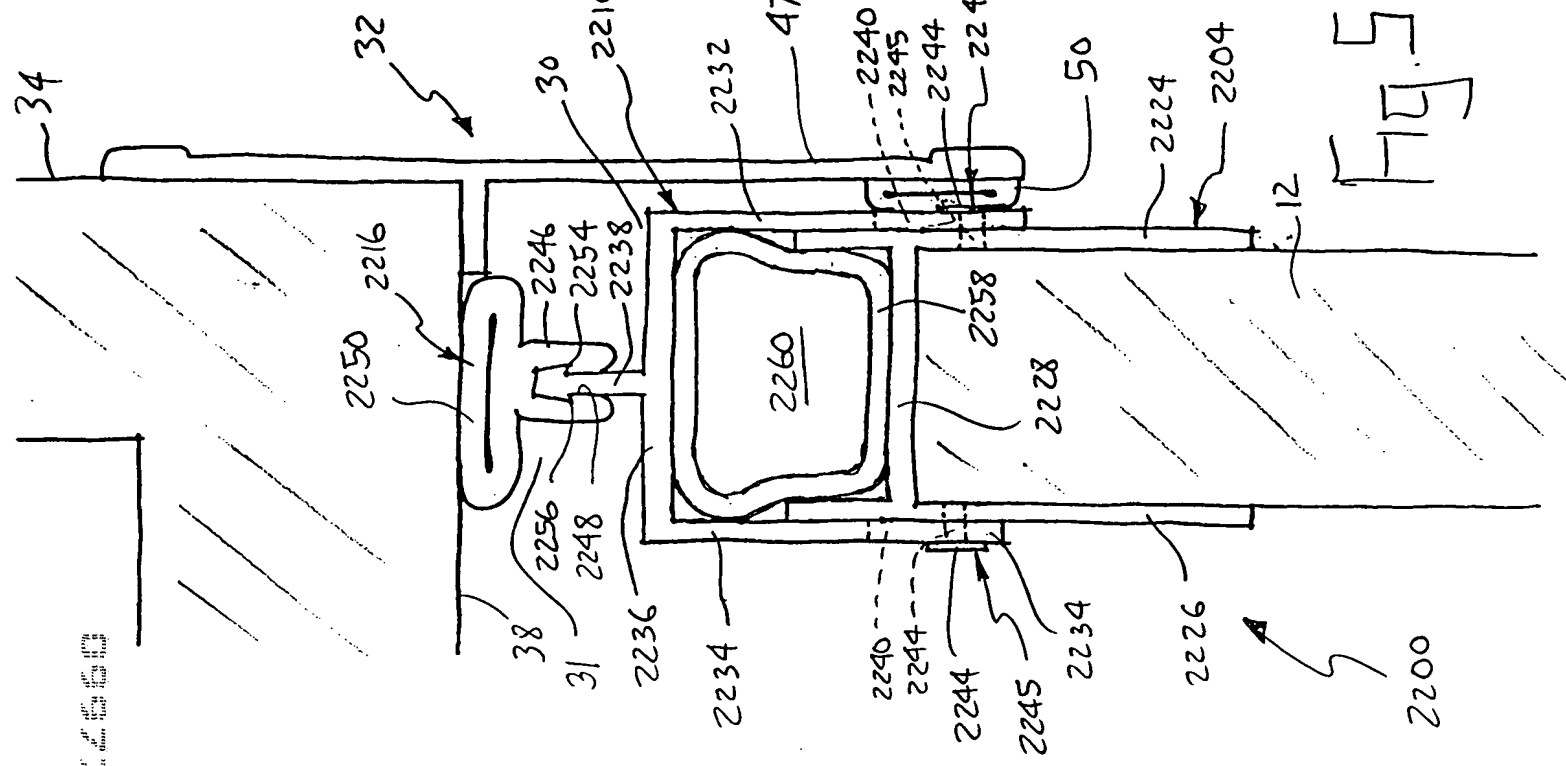


Fig. 50

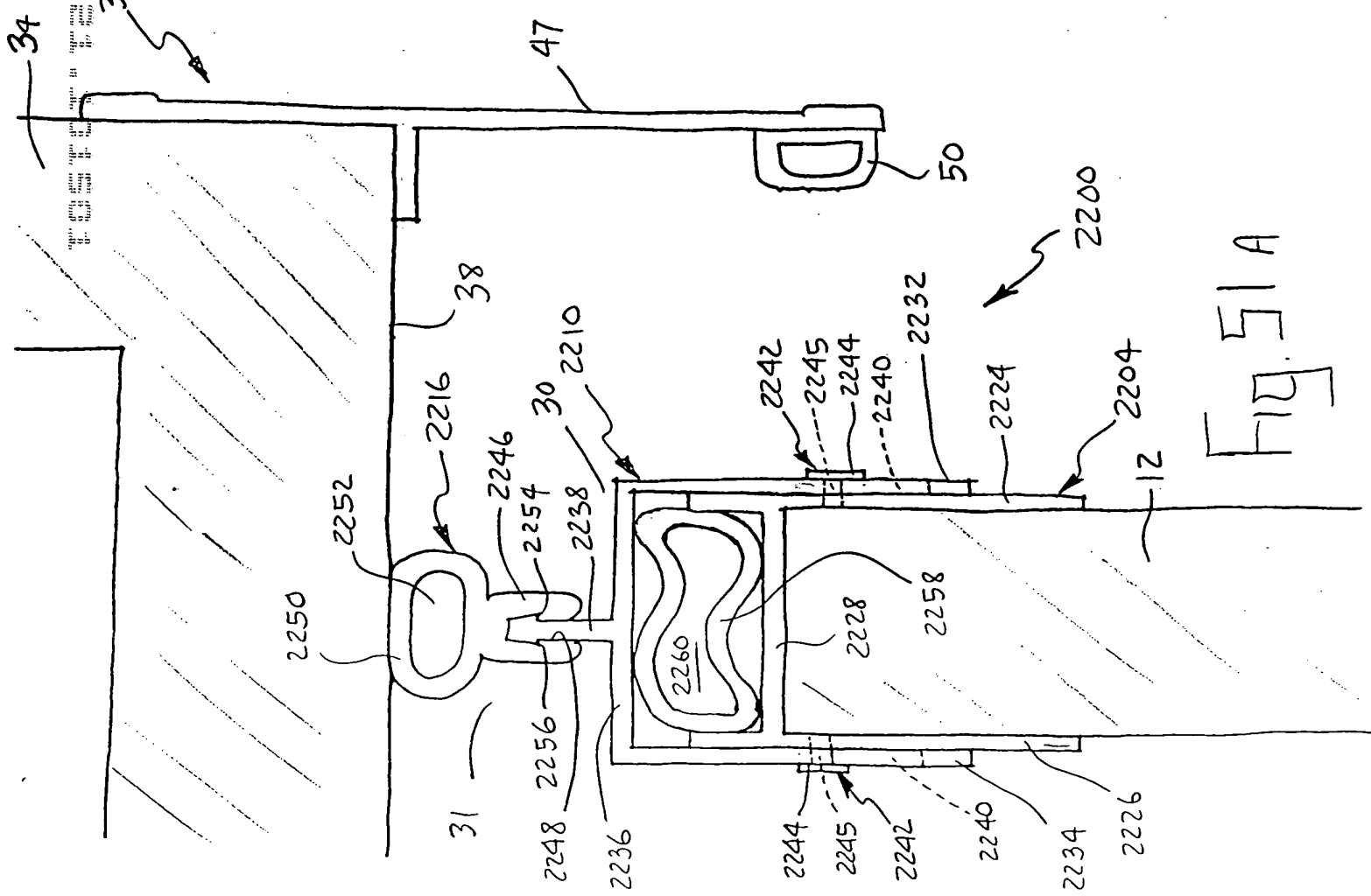
FIG. 51 B

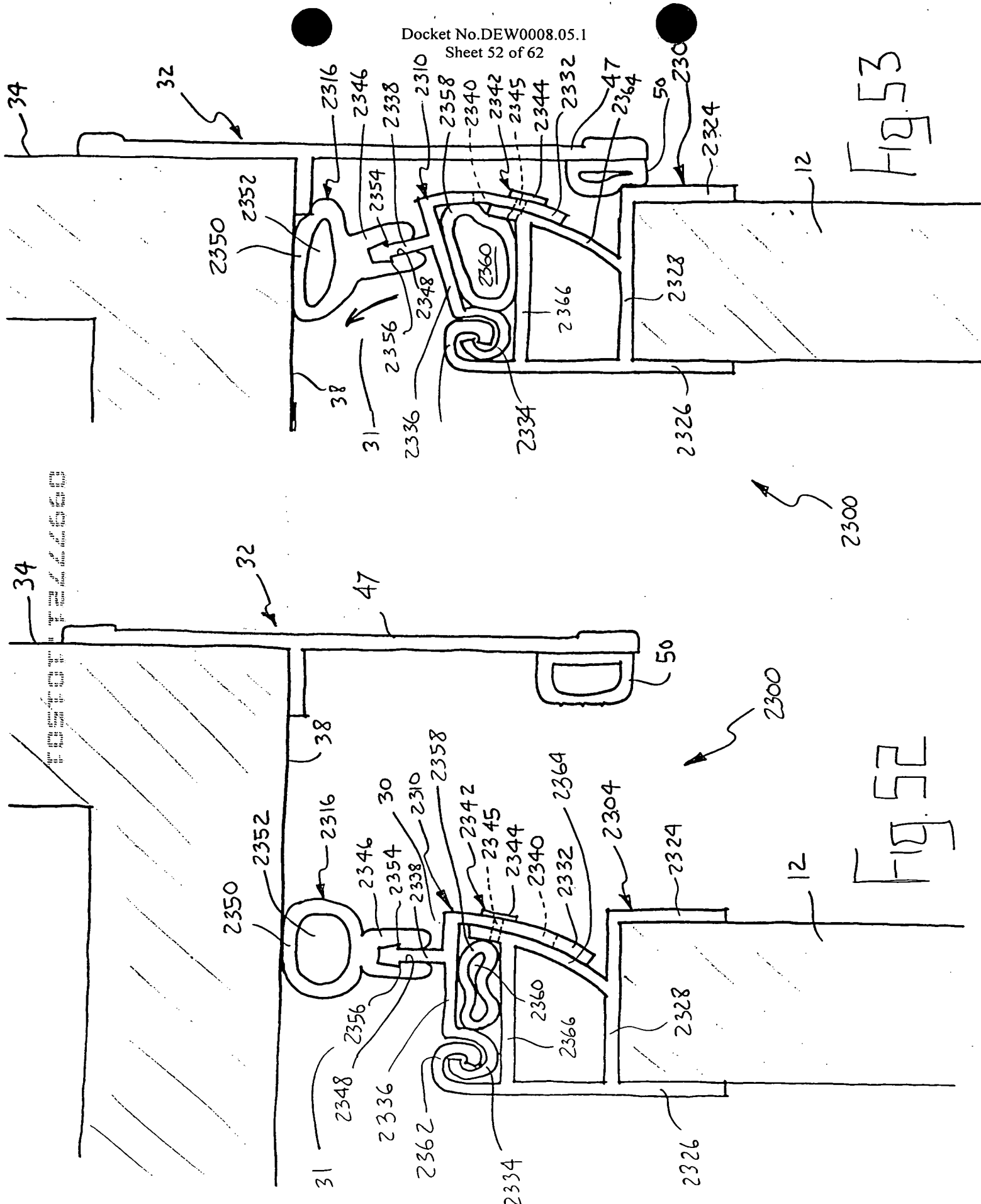


2200

2200

FIG. 51 A

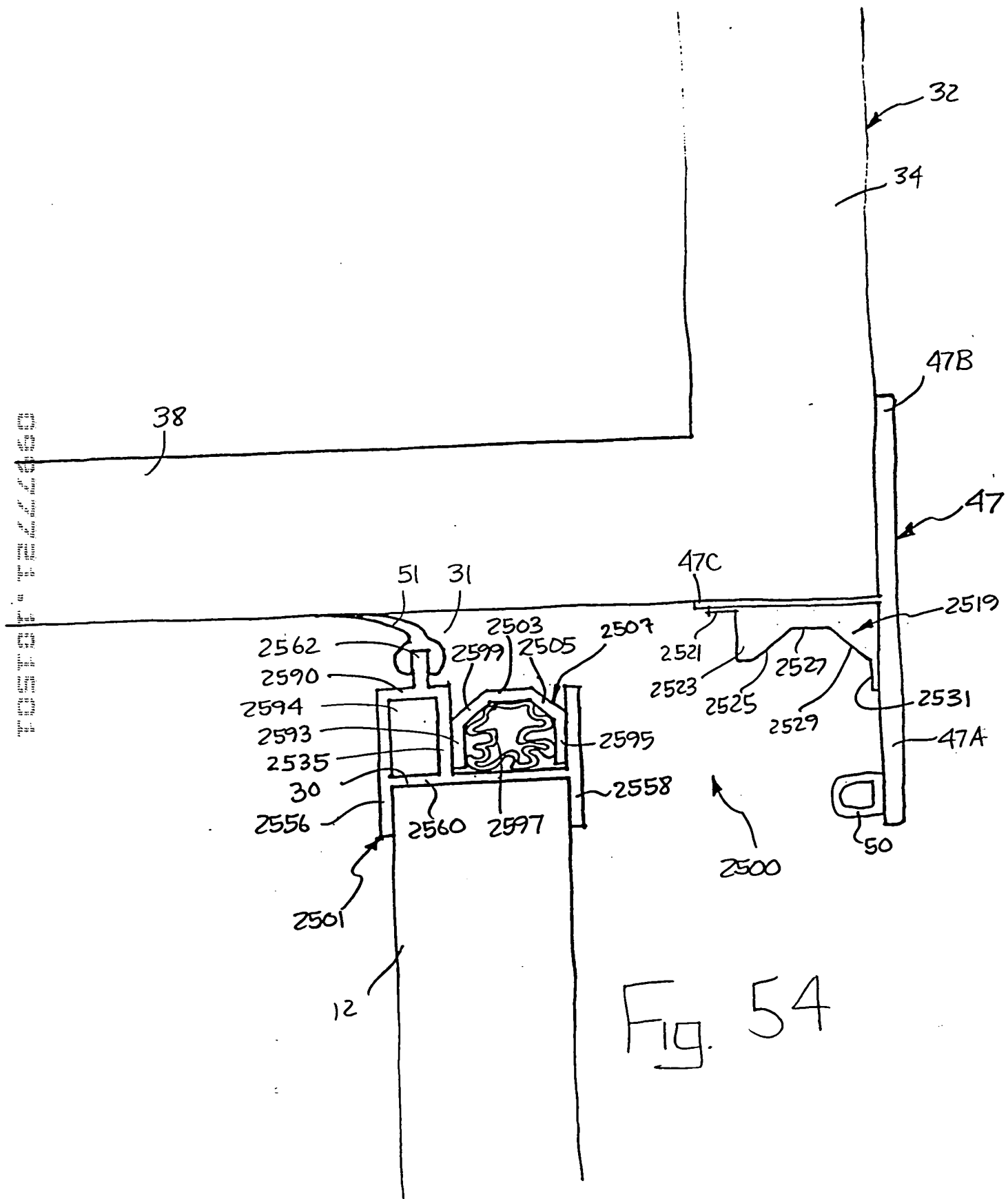




Docket No. DEW0008.05.1
Sheet 52 of 62

Sheet 52 of 62

Fig. 53



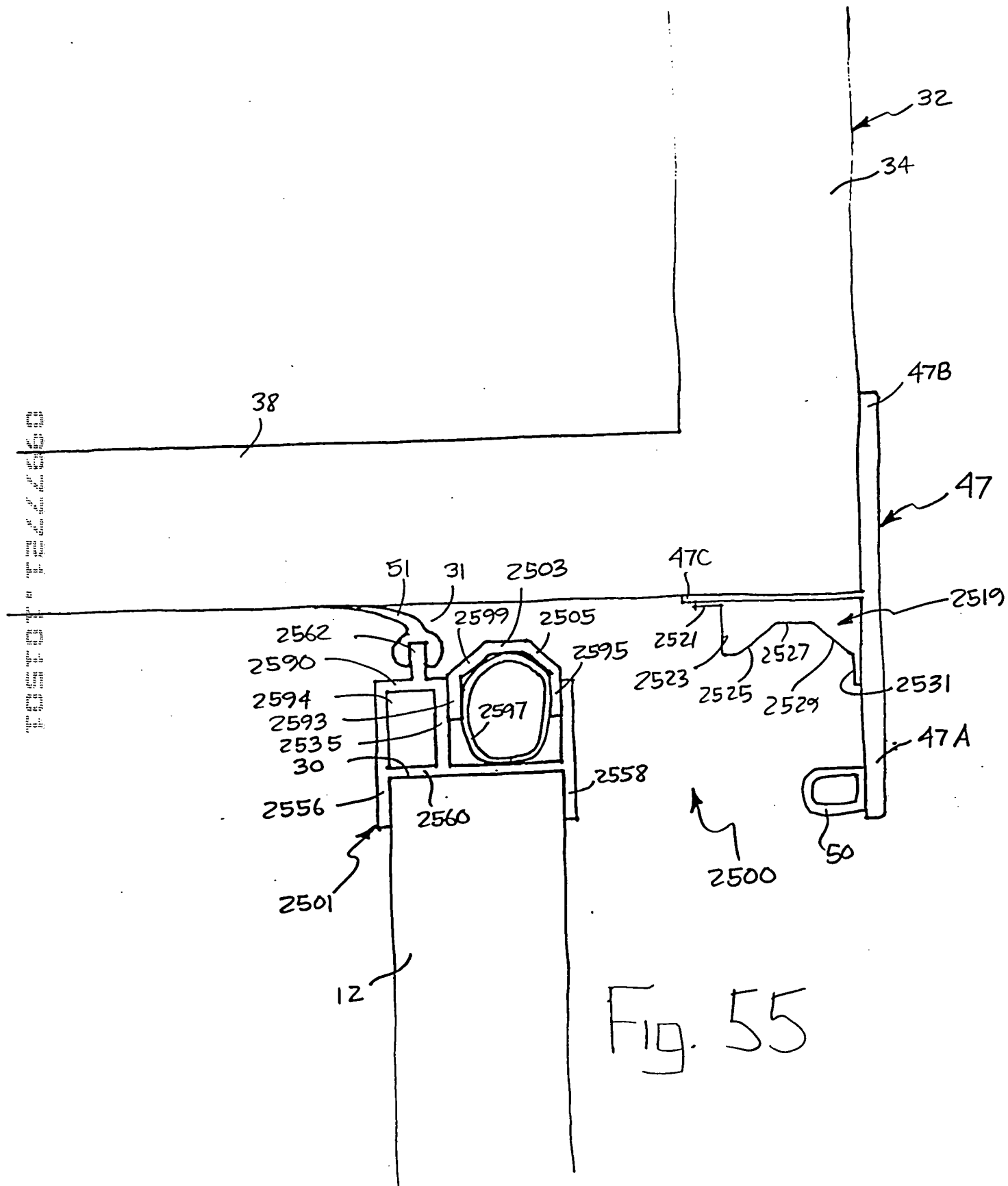


Fig. 55

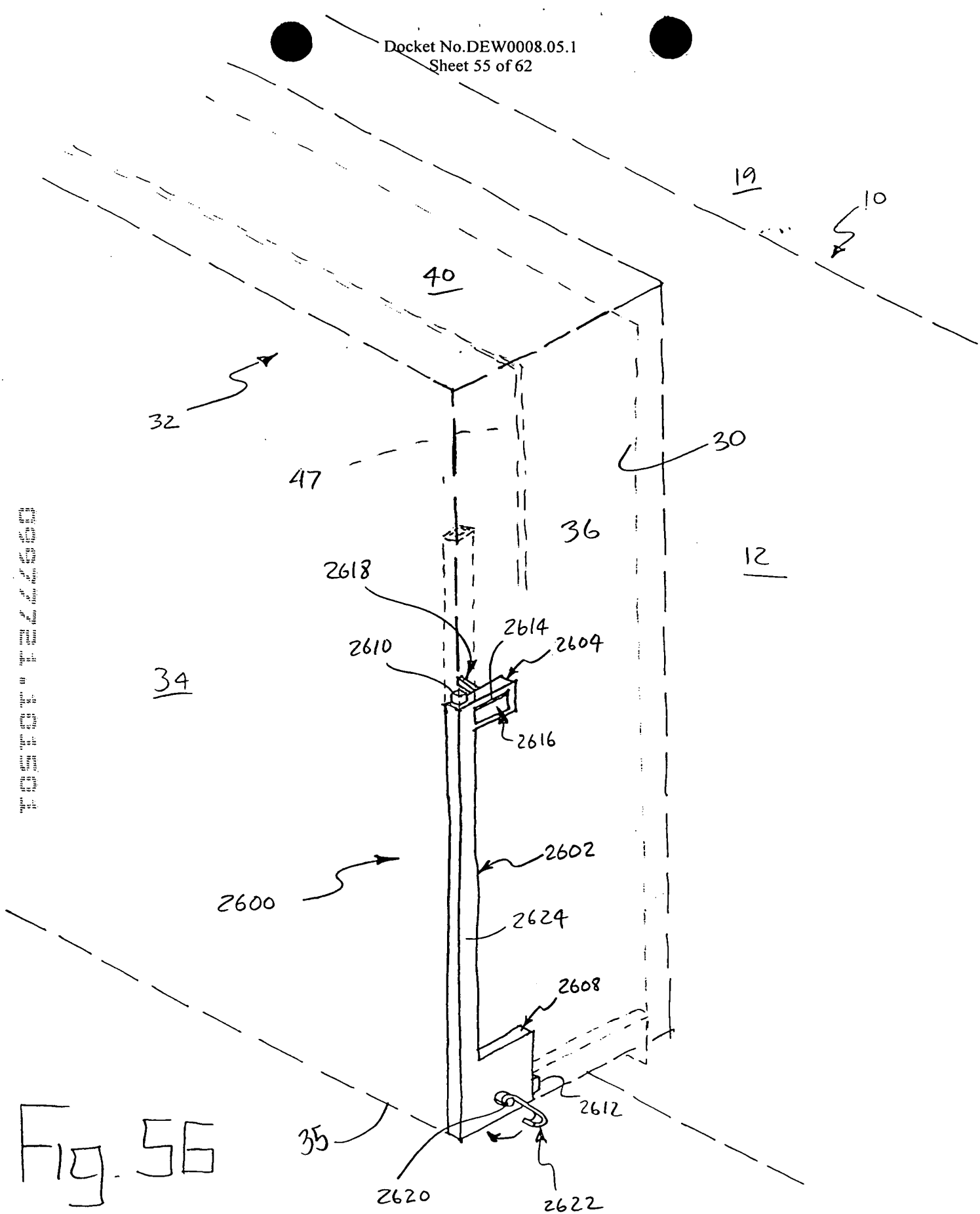


Fig. 56

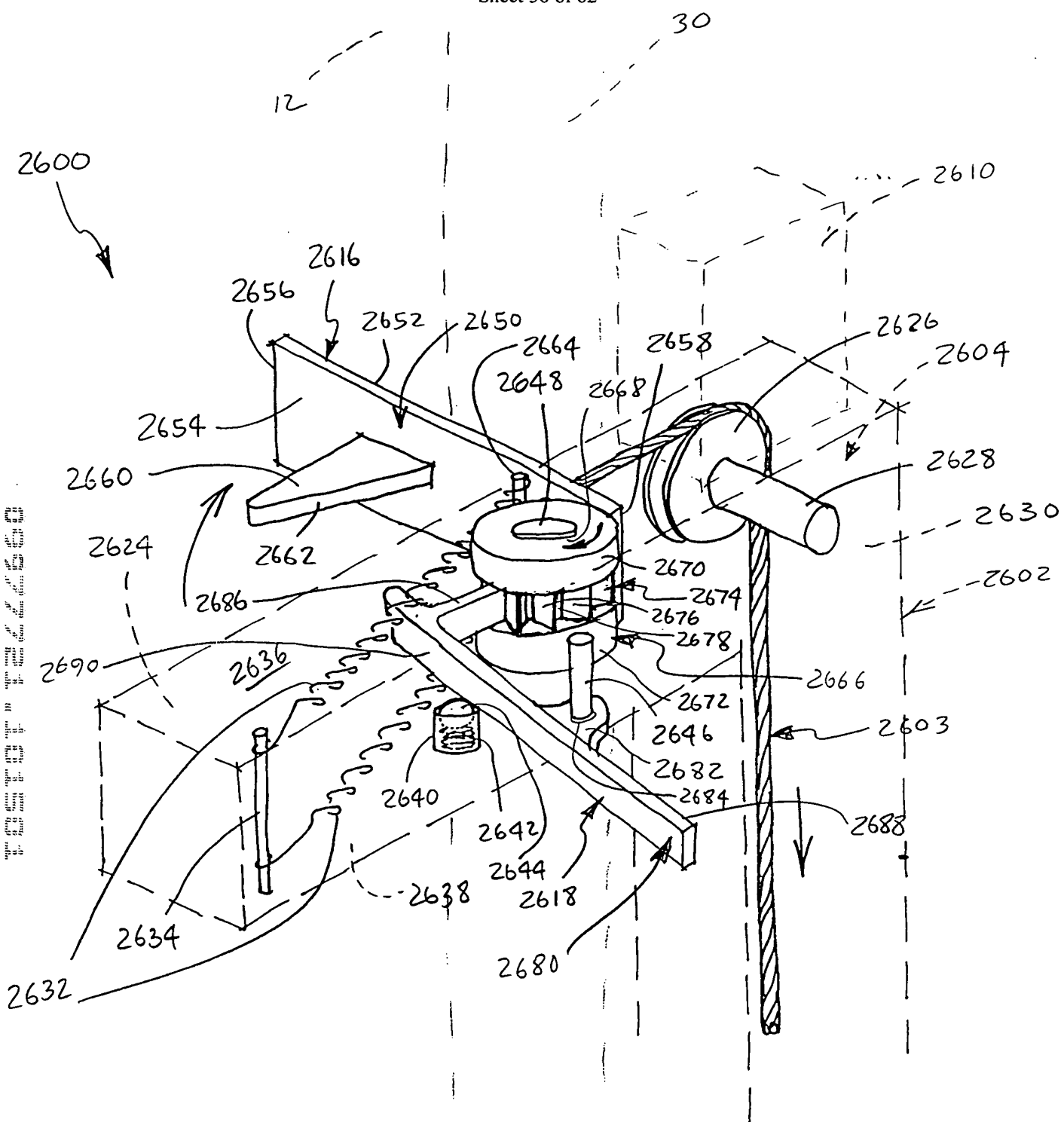


Fig. 57

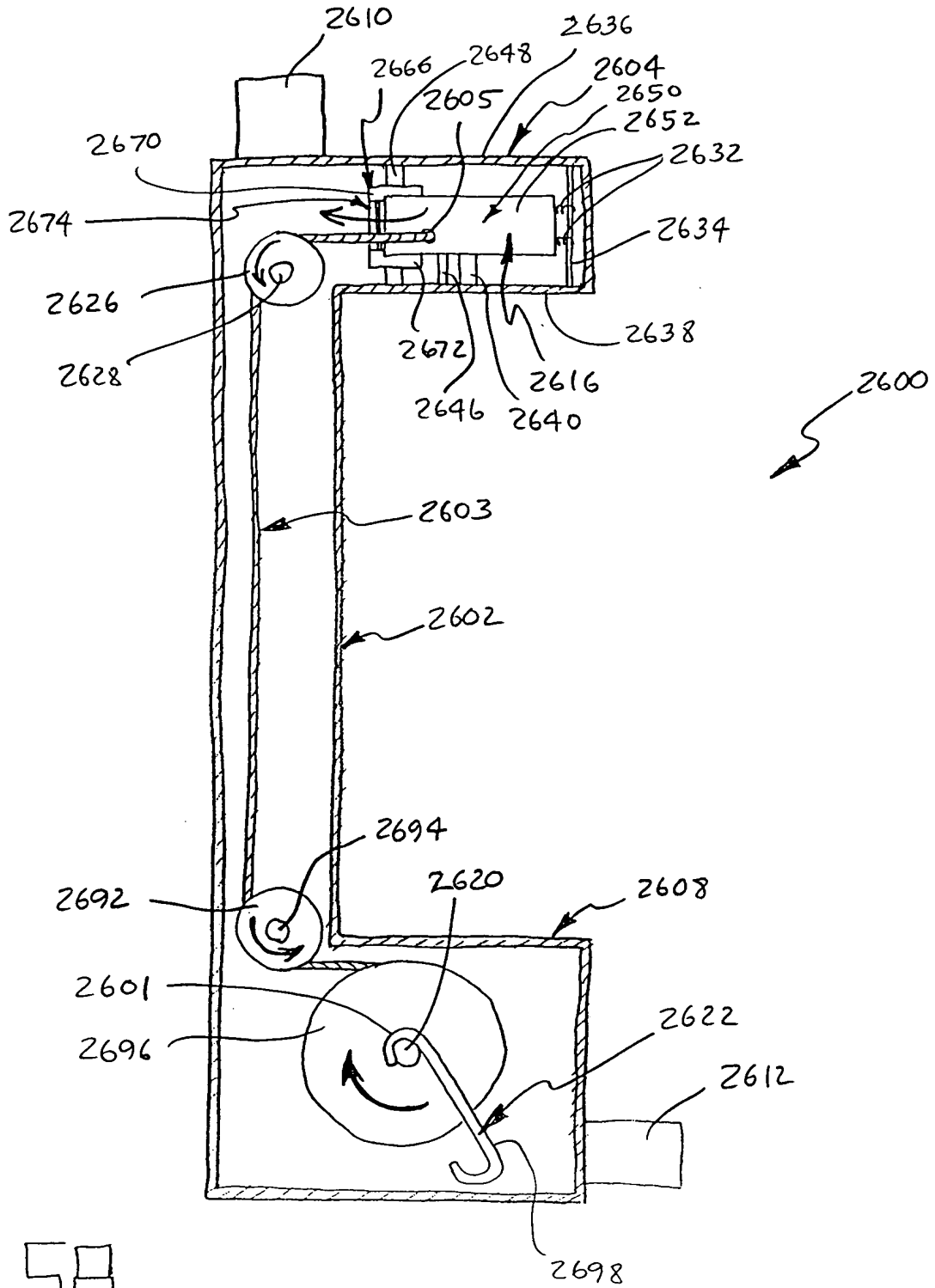


Fig. 58

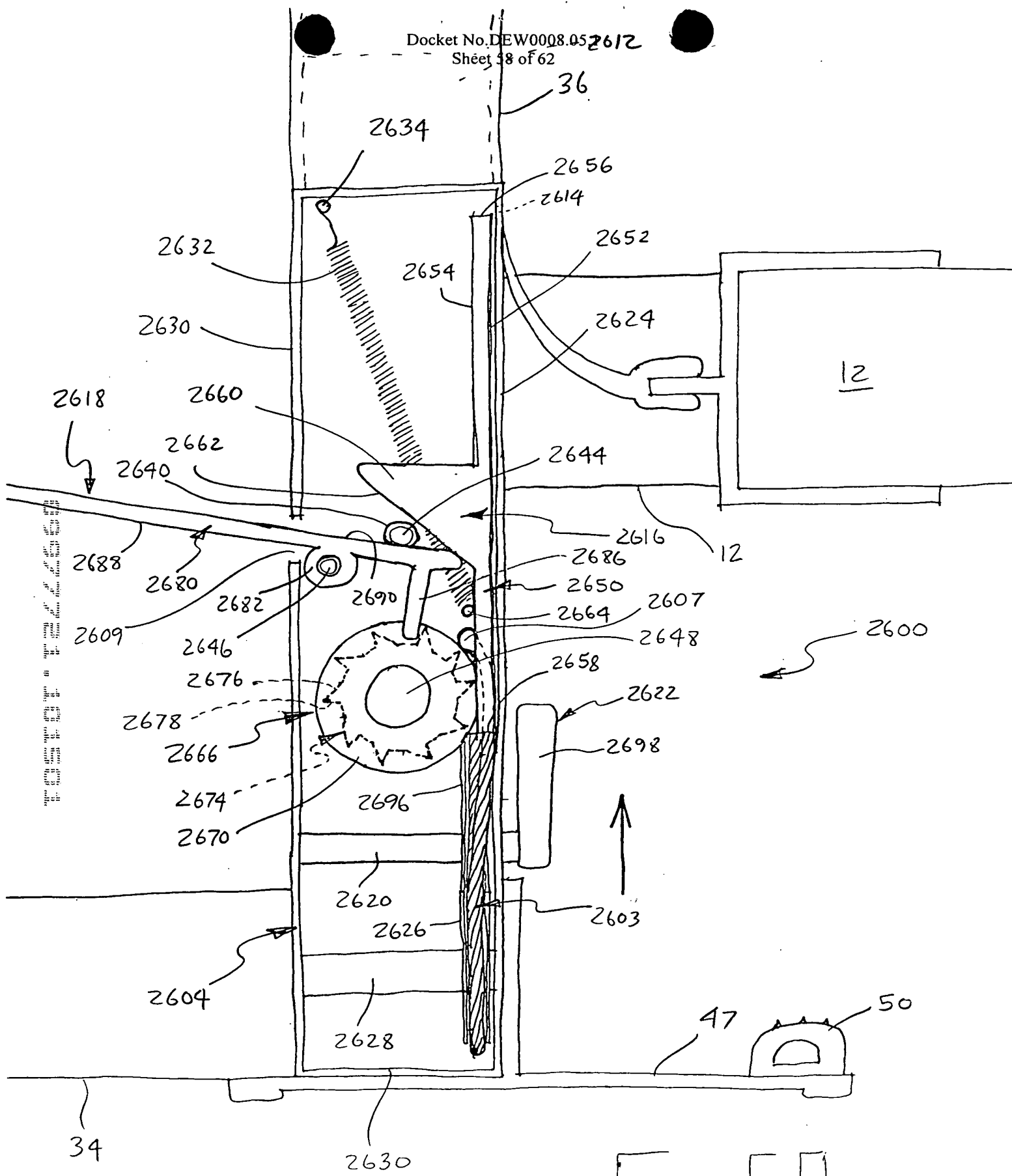


FIG. 59

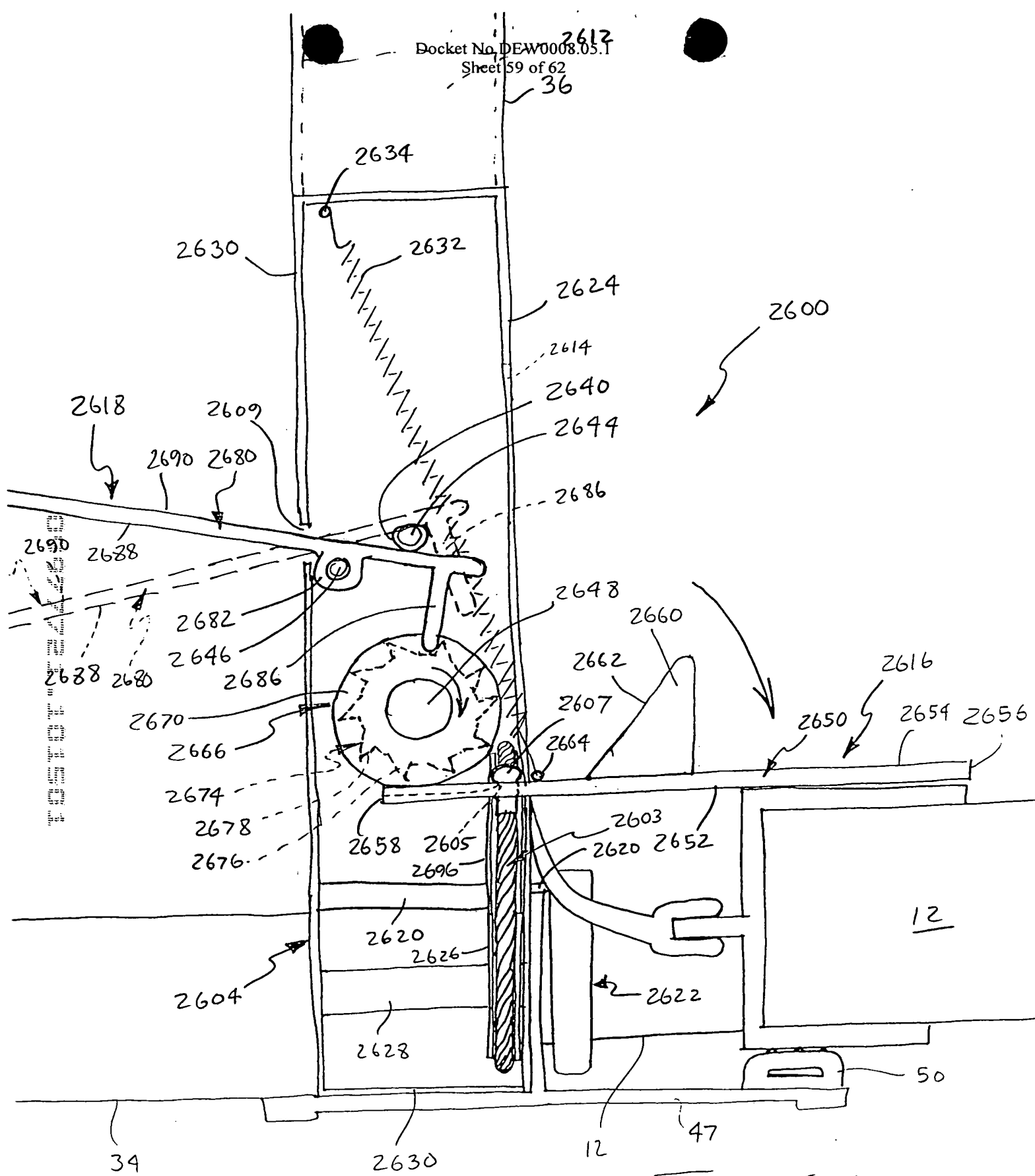


FIG 50

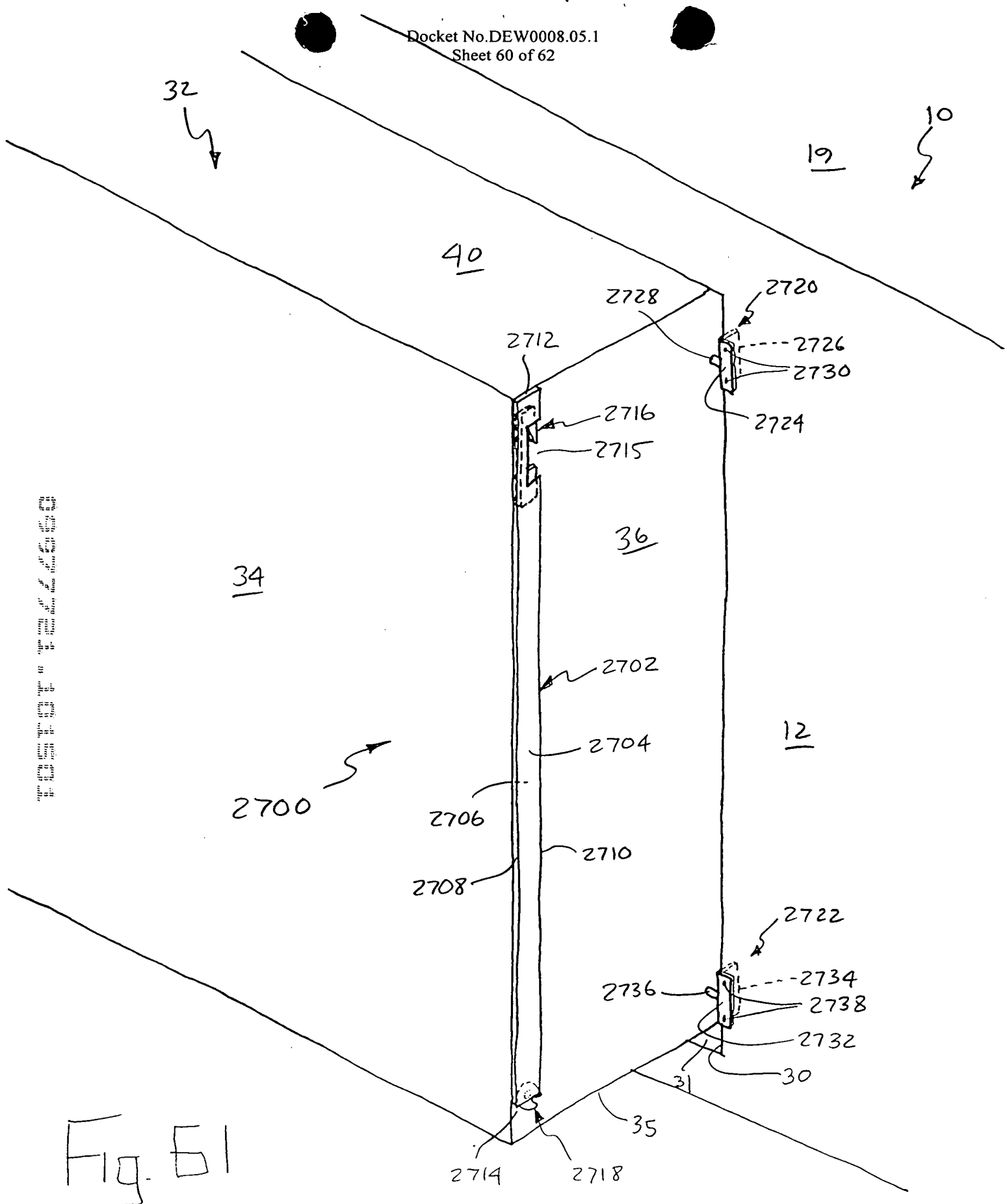


Fig. 51

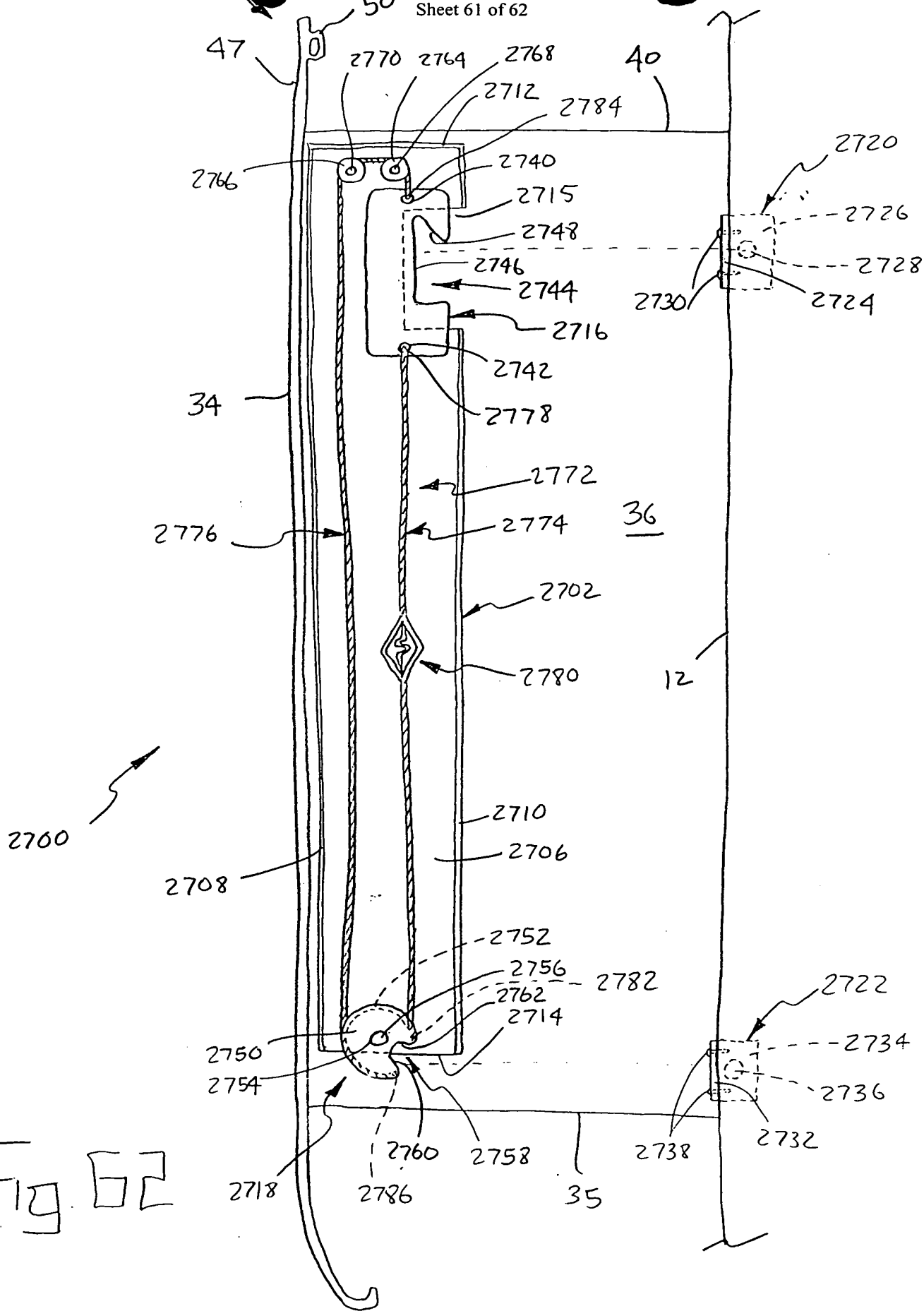


Fig. 62

10

19

40

2824

2830

2820

2816
2890

2888

12

34

36

2800

2872

2818

2832

2892

2838

30

35 31

2836

2822

Fig 63